



การเตรียมและพิสูจน์เอกสารกฤษณ์ของเส้นใย CA / PLA - PEG สำหรับขนส่งยา  
โดยเทคนิคการปั้นเส้นใยด้วยไฟฟ้าสถิตย์แบบร่วมแกน

โดย  
นายกรวีร์ วิชิตโชค

วิทยานิพนธ์นี้เป็นส่วนหนึ่งของการศึกษาตามหลักสูตรปริญญาวิศวกรรมศาสตรมหาบัณฑิต  
สาขาวิชาวิทยาการและวิศวกรรมพลังงานร่องรอย  
ภาควิชาวิทยาการและวิศวกรรมวัสดุ  
บัณฑิตวิทยาลัย มหาวิทยาลัยศิลปากร  
ปีการศึกษา 2554  
ลิขสิทธิ์ของบัณฑิตวิทยาลัย มหาวิทยาลัยศิลปากร

การเตรียมและพิสูจน์เอกสารลักษณ์ของเส้นใย CA / PLA - PEG สำหรับขนส่งยา  
โดยเทคนิคการปั้นเส้นใยด้วยไฟฟ้าสถิตย์แบบร่วมแกน

โดย  
นายกรวีร์ วิชิตโชค

วิทยานิพนธ์นี้เป็นส่วนหนึ่งของการศึกษาตามหลักสูตรปริญญาวิศวกรรมศาสตรมหาบัณฑิต  
สาขาวิชาวิทยาการและวิศวกรรมพลิเมอร์  
ภาควิชาวิทยาการและวิศวกรรมวัสดุ  
บัณฑิตวิทยาลัย มหาวิทยาลัยศิลปากร  
ปีการศึกษา 2554  
ลิขสิทธิ์ของบัณฑิตวิทยาลัย มหาวิทยาลัยศิลปากร

**PREPARATION AND CHARACTERIZATION OF CA / PLA - PEG FIBERS FOR  
DRUG DELIVERY APPLICATION BY COAXIAL ELECTROSPINNING TECHNIQUE**

**By**

**Koravee Vichitchote**

**A Thesis Submitted in Partial Fulfillment of the Requirements for the Degree**

**MASTER OF ENGINEERING**

**Department of Materials Science and Engineering**

**Graduate School**

**SILPAKORN UNIVERSITY**

**2011**

บัณฑิตวิทยาลัย มหาวิทยาลัยศิลปากร อนุมัติให้วิทยานิพนธ์เรื่อง “ การเตรียมและพิสูจน์ เอกลักษณ์ของเส้นใย CA / PLA - PEG สำหรับขนส่งยาโดยเทคนิคการปั่นเส้นไบค์วายไฟฟ้าสถิตย์แบบร่วมแกน ” เสนอโดย นายกรวี๊ วิชิตโขติ เป็นส่วนหนึ่งของการศึกษาตามหลักสูตรปริญญาวิศวกรรมศาสตรมหาบัณฑิต สาขาวิชาวิทยาการและวิศวกรรมผลิตเมอร์

.....  
(ผู้ช่วยศาสตราจารย์ ดร.ปานใจ สารทศนวงศ์)

คณบดีบัณฑิตวิทยาลัย  
วันที่ .....เดือน ..... พ.ศ. ....

อาจารย์ที่ปรึกษาวิทยานิพนธ์

1. ผู้ช่วยศาสตราจารย์ ดร.พูนทรัพย์ ศรีภพนาถกุล
2. อาจารย์ ดร.ศุภกิจ สุทธิเรืองวงศ์

คณะกรรมการตรวจสอบวิทยานิพนธ์

..... ประธานกรรมการ

(ผู้ช่วยศาสตราจารย์ ดร.ณัฐกาญจน์ วงศ์ศรีพันธ์)

...../...../.....

..... กรรมการ

(รองศาสตราจารย์ ดร.นพวรรณ ชนัญพาณิช)

...../...../.....

..... กรรมการ

(ผู้ช่วยศาสตราจารย์ ดร.พูนทรัพย์ ศรีภพนาถกุล)

...../...../.....

..... กรรมการ

(ดร.ศุภกิจ สุทธิเรืองวงศ์)

...../...../.....

51402247 : สาขาวิชาวิทยาการและวิศวกรรมพอลิเมอร์

คำสำคัญ : พอลิแลคติกแอสติด/เจนตามมัยซิน/การปั้นเส้นไยด้วยไฟฟ้าสถิตย์แบบร่วมแกน

กรวีญ์ วิชิตโชค : การเตรียมและพิสูจน์เอกลักษณ์ของเส้นไย CA / PLA - PEG สำหรับ  
ขนส่งยาโดยเทคนิคการปั้นเส้นไยด้วยไฟฟ้าสถิตย์แบบร่วมแกน อาจารย์ที่ปรึกษาวิทยานิพนธ์ :  
ผศ.ดร.พุนทรพย์ ตรีกพนาถกุล และ ดร.ศุภกิจ สุทธิเรืองวงศ์ 72 หน้า.

งานวิจัยนี้ได้ศึกษาการปรับปรุงการนำส่งยา Jenตามมัยซิน (GS) และสมบัติเชิงกลของ  
แผ่นเส้นไยพอลิแลคติกแอสติด (PLA) ด้วยวิธีการปั้นเส้นไยด้วยไฟฟ้าสถิตย์แบบร่วมแกน โดยใช้  
เซลลูโลสอะซิเตต (CA) ผสม PLA เป็นตัวห่อหุ้มเส้นไย เพื่อควบคุมการนำส่งยา และช่วยปรับปรุง  
แผ่นเส้นไยให้มีความเหนียว ทนแรงดึงดีด และใช้พอลิเอทิลีนไอกล็อกอล (PEG) ผสมยา GS เป็นแกน  
ในของเส้นไย เพื่อเพิ่มความสามารถในการปิดปล๊อยยา

จากการศึกษาแผ่นเส้นไย PLA แบบร่วมแกน พบว่า การผสม CA เพิ่มขึ้น ส่งผลให้การ  
นำส่งยา GS มีเปอร์เซ็นต์การปิดปล๊อยยาลดลง และการเพิ่มปริมาณ CA ทำให้ความด้านทานแรง  
ดึงสูงสุดมีแนวโน้มเพิ่มขึ้น ขณะที่มอคูลัสแรงดึงมีแนวโน้มลดลง ในการเปรียบเทียบระหว่างแผ่น  
เส้นไย PLA แบบจ่ายกับแผ่นเส้นไย PLA แบบร่วมแกน พบว่า การปิดปล๊อยยา GS ในแผ่นเส้นไย  
แบบร่วมแกนสามารถควบคุมการปิดปล๊อยยาจากตัวห่อหุ้มเส้นไย ขณะที่แผ่นเส้นไยแบบจ่ายมี  
การควบคุมการปิดปล๊อยยาโดยการผสม PEG ที่นำน้ำนักโอมเลกุลต่ำ

51402247 : MAJOR : POLYMER SCIENCE AND ENGINEERING

KEY WORD : POLYLACTIC ACID/GENTAMICIN/COAXIAL ELECTROSPINNING

KORAVEE VICHITCHOTE : PREPARATION AND CHARACTERIZATION OF CA / PLA - PEG FIBERS FOR DRUG DELIVERY APPLICATION BY COAXIAL ELECTROSPINNING TECHNIQUE. THESIS ADVISORS: ASST. PROF. POONSUB THREEPOPNAKUL, D. ENG. AND SUPAKIJ SUTTIRUENGWONG, DR. ING 72 pp.

In this research, improvement of gentamicin (GS) delivery and mechanical properties of polylactic acid (PLA) fiber mats has been investigated by coaxial electrospinning technique. PLA blended with cellulose acetate (CA) as shell fiber for controlling drug delivery and improving mechanical properties. Polyethylene glycol (PEG) mixed GS as core fiber for increasing ability of drug release.

From the results, the study of core-shell electrospun PLA fibers showed that increased CA content the percentage of GS release from fibers decreased. In addition of ultimate tensile strength showed the tendency to increase while young's modulus decreased with increasing CA content. In a comparison of electrospun PLA fiber mats with core-shell electrospun PLA fiber mats showed that the GS release of core-shell electrospun fiber mats could be controlled drug release from shell fibers. While electrospun fiber mats would be controlled drug release by mixture PEG at low molecular weight.

---

Department of Materials Science and Engineering Graduate School, Silpakorn University Academic Year 2011

Student's signature .....

Thesis Advisors' signature 1. .... 2. ....

## กิตติกรรมประกาศ

งานวิจัยและวิทยานิพนธ์ฉบับนี้สำเร็จลุล่วงไปได้ด้วยดี โดยความช่วยเหลือจากผู้ช่วยศาสตราจารย์ ดร.พูนทรัพย์ ตรีกพนาถกุล อาจารย์ที่ปรึกษางานวิจัย และอาจารย์ ดร.ศุภกิจ สุทธิเรืองวงศ์ อาจารย์ที่ปรึกษาร่วม ผู้ช่วยที่ปรึกษา รวมถึงชีวันวิชีการวิเคราะห์ผลที่ได้จากการทำการวิจัยมาโดยตลอด จนถึงการตรวจสอบแก้ไขความเรียบร้อยของวิทยานิพนธ์ฉบับนี้อย่างละเอียดถี่ถ้วน รวมไปถึงขอขอบพระคุณอาจารย์ทุกท่านที่ได้เคยสั่งสอนข้าพเจ้ามาตั้งแต่อดีตจนถึงปัจจุบัน

ขอขอบคุณภาควิชาวิทยาการและวิศวกรรมวัสดุ คณะวิศวกรรมศาสตร์และเทคโนโลยีอุตสาหกรรม มหาวิทยาลัยศิลปากร ที่ให้ความอนุเคราะห์สถานที่ทำการวิจัยและเครื่องมือทดสอบ และศูนย์ความเป็นเลิศแห่งชาติด้านปีโตรเคมี ปีโตรเคมีและวัสดุขั้นสูง ที่ให้ความอนุเคราะห์ทุนการศึกษาและเงินทุนสนับสนุนในการทำการวิจัย

ขอขอบคุณคุณพินิจ เจียนระลีก นักวิทยาศาสตร์ประจำภาควิชาวิทยาการและวิศวกรรมวัสดุ คุณไฟ ใจรุจัน ตั้งศุภชวัช นายช่างเทคนิคประจำภาควิชาวิทยาการและวิศวกรรมวัสดุ สำหรับการอำนวยความสะดวกเรื่องเครื่องมือและเครื่องจักรที่ใช้ในการทำการวิจัยครั้งนี้ รวมไปถึงเจ้าหน้าที่สำนักงานภาควิชาที่อำนวยความสะดวกทางด้านการเงินและเอกสารต่างๆ

ขอบคุณสราช ศิรากุล รวมถึงเพื่อนปริญญาโทและรุ่นน้องปริญญาตรีทุกคน ที่ให้ความช่วยเหลือ คำปรึกษา ตลอดจนมิตรภาพและความสนับสนานที่ดีเสมอมา

สุดท้ายนี้งานวิจัยนี้จะเกิดขึ้นไม่ได้เลย ถ้าขาดบุคคลสองท่านนี้ ขอกราบขอบพระคุณบิดา และมารดา ที่ส่งเสียงเลี้ยงดูผู้ทำงานวิจัยมาเป็นอย่างดี ทำให้การศึกษาและการทำงานวิจัย ณ ที่แห่งนี้เป็นไปได้ด้วยดี

สารบัญ	หน้า
บทคัดย่อภาษาไทย .....	๑
บทคัดย่อภาษาอังกฤษ .....	๒
กิตติกรรมประกาศ .....	๓
สารบัญตาราง .....	๔
สารบัญภาพ .....	๕
<b>บทที่</b>	
<b>1 บทนำ</b> .....	<b>1</b>
ความเป็นมาและความสำคัญของปัญหา .....	1
วัตถุประสงค์ของงานวิจัย .....	2
แนวคิดงานวิจัย .....	2
ขอบเขตของการศึกษาและข้อจำกัดของงานวิจัย.....	3
ขั้นตอนการดำเนินงานวิจัย .....	3
ประโยชน์ที่คาดว่าจะได้รับจากการวิจัย.....	4
<b>2 เอกสารและงานวิจัยที่เกี่ยวข้อง</b> .....	<b>5</b>
พอลิแลคติกแอสิด (Polylactic acid; PLA).....	5
พอลิเอทธิลีนไอกลคอล (Polyethylene glycol; PEG) .....	7
เซลลูโลสอะซิตेट (Cellulose acetate; CA).....	7
ยาเจนตามัยซินหรือเจนตามัยซินซัลฟे�ต (Gentamicin sulphate; GS) .....	8
การปั่นเส้นไขด้ายไฟฟ้าสถิตย์ (Electrospinning) .....	9
การปั่นเส้นไขด้ายไฟฟ้าสถิตย์แบบร่วมแกน (Coaxial-Electrospinning) .....	11
การทดสอบการยับยั่งเชื้อแบคทีเรียด้วยวิธี Disc diffusion.....	12
งานวิจัยที่เกี่ยวข้อง .....	13
<b>3 วิธีการดำเนินงานวิจัย</b> .....	<b>17</b>
อุปกรณ์ที่สำคัญในงานวิจัย .....	17
เครื่องมือวิเคราะห์ .....	17
สารเคมีที่สำคัญที่ใช้ในงานวิจัย .....	18
พอลิแลคติกแอสิด .....	18
พอลิเอทธิลีนไอกลคอล .....	18

บทที่		หน้า
	เซลลูโลสอะซิเตต .....	18
	สารละลายยาเจนตามัยชินชัลเฟต .....	18
	ตัวทำละลายไดคลอโรเมเทน (Dichloromethane; DCM).....	18
	ตัวทำละลายไดเมทธิลฟอร์มาไมด์ (Dimethylformamide; DMF) .....	18
	นินไฮดริน (Ninhydrin).....	19
	วิธีการทดลอง .....	19
	การเตรียมสารละลายพอลิเมอร์ที่ไม่มียาเพื่อปั่นเส้นโดยด้วยไฟฟ้าสถิตย์ .....	19
	การเตรียมสารละลายพอลิเมอร์ที่มียาเพื่อปั่นเส้นโดยด้วยไฟฟ้าสถิตย์.....	20
	การทดสอบสมบัติของสารละลายพอลิเมอร์ .....	21
	การปั่นเส้นโดยด้วยไฟฟ้าสถิตย์ .....	21
	การตรวจสอบสัณฐานวิทยา.....	22
	การทดสอบสมบัติเชิงกลและการทดสอบความต่ำงจำเพาะ .....	22
	การทดสอบการปลดปล่อยยา.....	23
	การทดสอบกาสบยัง เชือแบคทีเรีย.....	24
	การเตรียมสารละลายพอลิเมอร์ที่ไม่มียาเพื่อปั่นเส้นโดยด้วยไฟฟ้าสถิตย์	
	แบบร่วมแกน .....	25
	การเตรียมสารละลายพอลิเมอร์ที่มียาเพื่อปั่นเส้นโดยด้วยไฟฟ้าสถิตย์	
	แบบร่วมแกน .....	25
	การปั่นเส้นโดยด้วยไฟฟ้าสถิตย์แบบร่วมแกน .....	26
4	ผลการทดลองและวิจารณ์ผลการทดลอง .....	28
	การศึกษาแผ่นเส้นใย PLA ที่ได้จากการปั่นเส้นโดยด้วยไฟฟ้าสถิตย์แบบง่าย .....	29
	ปริมาณ CA ต่อสมบัติเชิงกล.....	29
	ปริมาณ CA และ PEG ต่อความสามารถในการขนส่งยาและยับยั้งเชื้อ	
	แบบที่เรียบ .....	33
	การศึกษาแผ่นเส้นใย sPLA/CA-cPEG ที่ได้จากการปั่นเส้นโดยด้วยไฟฟ้าสถิตย์	
	แบบร่วมแกน .....	39
	การเตรียมเส้นใย sPLA/CA-cPEG.....	39
	ผลงานความต่างสักยีไฟฟ้าต่อสัณฐานวิทยา .....	40
	ผลงานอัตราการไหลของสารละลายที่ใช้เป็นแกนในต่อสัณฐานวิทยา.....	42

บทที่	หน้า
ผลของปริมาณ CA ต่อสัณฐานวิทยา.....	43
สมบัติของเส้นใย sPLA/CA-cPEG .....	45
ปริมาณ CA ที่ใช้เป็นตัวห่อหุ้มเส้นใยต่อสมบัติเชิงกล .....	45
ปริมาณ CA ที่ใช้เป็นตัวห่อหุ้มเส้นใยต่อความสามารถในการขนส่งยา และยับยั่งเชื้อแบคทีเรีย.....	47
<b>5 สรุปผลการทดลองและข้อเสนอแนะ .....</b>	<b>51</b>
<b>สรุปผลการทดลอง.....</b>	<b>51</b>
<b>ข้อเสนอแนะ .....</b>	<b>52</b>
บรรณานุกรม .....	53
ภาคผนวก .....	61
ภาคผนวก ก ตัวอย่างการคำนวณการเตรียมสารละลายพอลิเมอร์.....	62
ภาคผนวก ข ข้อมูลการทดลอง .....	64
ภาคผนวก ค ตัวจับยึดเข็มฉีดยาโลหะ (Coaxial holder) .....	70
ประวัติผู้จัด .....	72

## สารบัญตาราง

ตารางที่		หน้า
2.1	คุณสมบัติทางกายภาพของ PLA.....	5
2.2	ปริมาณการหมุน acetyl ในเซลลูโลสอะซิเตต์อความสามารถใน การละลาย.....	8
2.3	ตัวอย่างพอลิเมอร์ที่ใช้เทคนิคการปั๊มเส้นไขด้วงไฟฟ้าสถิตย์และการนำ ไปใช้ .....	10
3.1	การเตรียมสารละลาย PLA และ PLA ผสม PEG .....	20
3.2	การเตรียมสารละลาย PLA ผสม CA .....	20
3.3	สภาวะที่ใช้ในการทดสอบสมบัติเชิงกล .....	22
3.4	การเตรียมสารละลายน้ำฟเฟอร์ฟอสเฟต pH 7.4 ปริมาณ 200 ml.....	24
3.5	เวลาไปเปตสารละลายในการทดสอบการปลดปล่อยยา GS .....	24
3.6	การเตรียมสารละลาย PLA, PLA ผสม CA เมื่อตัวห่อหุ้ม และ PEG ผสมน้ำเป็นแกนใน .....	25
3.7	การเตรียมสารละลาย PLA, PLA ผสม CA เมื่อตัวห่อหุ้ม และ PEG ผสมยาเป็นแกนใน.....	26
3.8	สภาวะที่ใช้ปั๊มเส้นไขด้วงไฟฟ้าสถิตย์แบบร่วมแกน.....	26
4.1	การเกิด burst release ของแผ่นเส้นไข PLA/GS, PLA/20-PEG1500/GS, PLA/20-PEG600/GS, PLA/CA1/GS และ PLA/CA3/GS .....	34
4.2	Clear zone ของแผ่นเส้นไข PLA, PLA ผสม PEG และ PLA ผสม CA ที่เติมและไม่เติมยา GS .....	36
4.3	Clear zone diameter ของยาในกลุ่ม Aminoglycosides ต่อการต้าน แบคทีเรีย .....	37
4.4	อัตราส่วนสารละลายพอลิเมอร์เมื่อเติมยา GS 0.1 wt.% ของสาร ละลายพอลิเมอร์ทั้งหมด.....	38
4.5	Clear zone ของแผ่นเส้นไขแบบร่วมแกนที่มีการเพิ่มปริมาณยา GS.....	50
Х.1	ค่าความหนืดของสารละลาย PLA และ PLA ผสม CA ที่ปริมาณ 1, 3, 5, 7, 10, 20, 30 และ 40 wt.% ที่ไม่มีการเติมยา GS .....	65
Х.2	ค่าความหนืดของสารละลาย PLA และ PLA ผสม CA ที่ปริมาณ 1 และ 3 wt.% ที่มีการเติมยา GS .....	65

ตารางที่		หน้า
ช.3	ค่าการนำไฟฟ้าของสารละลาย PLA และ PLA ผสม CA ที่ปริมาณ 1, 3, 5, 7, 10, 20, 30 และ 40 wt.% ที่ไม่มีการเติมยา GS .....	65
ช.4	ค่าการนำไฟฟ้าของสารละลาย PLA และ PLA ผสม CA ที่ปริมาณ 1 และ 3 wt.% ที่มีการเติมยา GS .....	66
ช.5	เส้นผ่านศูนย์กลางเฉลี่ยของแผ่นเส้นใย PLA และ PLA ผสม CA ที่ ปริมาณ 1, 3, 5, 7, 10, 20, 30 และ 40 wt.% ที่ไม่มีการเติมยา GS	66
ช.6	เส้นผ่านศูนย์กลางเฉลี่ยของแผ่นเส้นใย PLA และ PLA ผสม CA ที่ ปริมาณ 1 และ 3 wt.% ที่มีการเติมยา GS.....	66
ช.7	ความหนาเฉลี่ยของแผ่นเส้นใย PLA และ PLA ผสม CA ที่ปริมาณ 1, 3 และ 5 wt.% .....	67
ช.8	ค่าความถ่วงจำเพาะของแผ่นเส้นใย PLA และ PLA ผสม CA ที่ปริมาณ 1, 3 และ 5 wt.% .....	67
ช.9	สมบัติเชิงกลของแผ่นเส้นใย PLA และ PLA ผสม CA ที่ปริมาณ 1, 3 และ 5 wt.% .....	67
ช.10	ความหนาเฉลี่ยของแผ่นเส้นใย sPLA-cPEG, sPLA/CA1-cPEG และ sPLA/CA3-cPEG.....	68
ช.11	ค่าความถ่วงจำเพาะของแผ่นเส้นใย sPLA-cPEG, sPLA/CA1-cPEG และ sPLA/CA3-cPEG .....	69
ช.12	สมบัติเชิงกลของแผ่นเส้นใย sPLA-cPEG, sPLA/CA1-cPEG และ sPLA/CA3-cPEG .....	69

## สารบัญภาพ

ภาพที่		หน้า
2.1	โครงสร้างทางเคมีของ PLA .....	5
2.2	โครงสร้างทางเคมีของ PEG .....	7
2.3	โครงสร้างทางเคมีของ CA .....	7
2.4	โครงสร้างทางเคมีของยา GS.....	8
2.5	(ซ้าย) แผนภาพการจัดระบบหัวฉีดสำหรับการปั้นเส้นโดยด้วยไฟฟ้าสถิตย์ แบบร่วมแกน (ขวา) ระบบหัวฉีดสำหรับใช้ในห้องปฏิบัติการ ..	12
2.6	(ซ้าย) ปลายหัวฉีดแบบแกนใน-เปลือกนอก และ (ขวา) เส้นใยผสมแบบ แกนใน-เปลือกนอกของ Polyvinylidene fluoride (PVDF) (แกน ใน) และ polycarbonate (PC) (เปลือกนอก) .....	12
3.1	การจัดตั้งอุปกรณ์ในการปั้นเส้นโดยด้วยไฟฟ้าสถิตย์ .....	21
3.2	ลักษณะการตัดตัวอย่างเพื่อทดสอบสมบัติเชิงกลและความถ่วงจำเพาะ..	22
3.3	ตัวจับยึดเข็มฉีดยาโลหะที่มีและไม่มีเข็มโลหะ .....	27
3.4	การจัดตั้งอุปกรณ์ในการปั้นเส้นโดยด้วยไฟฟ้าสถิตย์แบบร่วมแกน .....	27
4.1	กราฟเส้นผ่านศูนย์กลางเฉลี่ยของแผ่นเส้นโดย PLA, PLA/CA1, PLA/CA3 และ PLA/CA5 .....	30
4.2	SEM micrographs ของเส้นใย ก) PLA, ข) PLA/CA1 ค), PLA/CA3 และ ง) PLA/CA5 ที่กำลังขยาย 3,500 เท่า .....	30
4.3	กราฟความถ่วงจำเพาะของแผ่นเส้นโดย PLA, PLA/CA1, PLA/CA3 และ PLA/CA5 .....	31
4.4	กราฟค่ามอคูลัสแรงดึงของแผ่นเส้นโดย PLA, PLA/CA1, PLA/CA3 และ PLA/CA5 .....	31
4.5	กราฟความต้านทานแรงดึงสูงสุดของแผ่นเส้นโดย PLA, PLA/CA1, PLA/CA3 และ PLA/CA5 .....	32
4.6	กราฟ DSC ของแผ่นเส้นโดย PLA, CA, PLA/CA1, PLA/CA3 และ PLA/CA5 .....	32
4.7	เปอร์เซ็นต์การปลดปล่อยยา GS ของแผ่นเส้นโดย PLA/GS, PLA/2θ PEG1500/GS, PLA/20-PEG600/GS, PLA/CA1/GS และ PLA/CA3/GS .....	33

ภาพที่		หน้า
4.8	กราฟการนำไฟฟ้าของสารละลายน PLA, PLA/20-PEG600, PLA/20-PEG1500, PLA/CA1 และ PLA/CA3 ที่มีและไม่มีการ เติมยา GS.....	34
4.9	Clear zone ที่เกิดจากแบคทีเรีย P.aeruginosa และ S.aureus ของ แผ่นเส้นใย PLA/20-PEG600/GS .....	37
4.10	Clear zone ที่เกิดจากแบคทีเรีย P.aeruginosa และ S.aureus ของ แผ่นเส้นใยPLA/CA3/GS .....	37
4.11	แบบจำลองลักษณะเส้นใยแบบร่วมแกน ก) ไม่มีการเติม ข) มีการเติม ยา GS.....	40
4.12	SEM micrographs ของเส้นใย sPLA-cPEG ที่ความต่างศักย์ไฟฟ้า ก) 12 ข) 13 ค) 14 และ ง) 15 kV ที่กำลังขยาย 2,000 เท่า .....	41
4.13	กราฟเส้นผ่านศูนย์กลางเฉลี่ยของเส้นใย sPLA-cPEG ที่ความต่างศักย์ 12, 13, 14 และ 15 kV .....	41
4.14	SEM micrographs ของเส้นใย sPLA-cPEG ที่อัตราการไหลของสาร ละลายนใน ก) 0.001 ข), 0.01 และ ค) 0.1 ml/hr ที่กำลังขยาย 2,000 เท่า .....	42
4.15	กราฟเส้นผ่านศูนย์กลางเฉลี่ยของเส้นใยเส้นใย sPLA-cPEG ที่อัตรา <sup>การ</sup> การไหลของแกนใน 0.001, 0.01 และ 0.1 ml/hr .....	43
4.16	กราฟความหนืดของสารละลายน PLA, PLA/CA1 และ PLA/CA3 .....	44
4.17	TEM micrographs ของเส้นใยแบบร่วมแกน sPLA-cPEG, sPLA/CA1-cPEG และ sPLA/CA3-cPEG ที่กำลังขยาย 30,000 เท่า .....	44
4.18	กราฟเส้นผ่านศูนย์กลางเฉลี่ยของเส้นใยแบบร่วมแกนที่มีและไม่มีการ เติมยา GS.....	44
4.19	SEM micrographs ของเส้นใยแบบร่วมแกน sPLA-cPEG และ sPLA/CA-cPEG ที่เติมและไม่เติมยา GS ที่กำลังขยาย 2,000 เท่า .....	45
4.20	แบบจำลองลักษณะการเกิดเส้นใยเดี่ยวบนเส้นใยด้วยไฟฟ้าสถิตย์ แบบร่วมแกน.....	45

ภาพที่		หน้า
4.21	กราฟความถ่วงจำเพาะของแผ่นเส้นใย PLA, PLA/CA1, PLA/CA3 และ PLA/CA5 .....	46
4.22	กราฟเปรียบเทียบความต้านทานแรงดึงสูงสุดของแผ่นเส้นใย ก) แบบง่าย และ ข) แบบร่วมแกน.....	47
4.23	กราฟเปรียบเทียบค่ามอดูลัสแรงดึงของแผ่นเส้นใย ก) แบบง่ายและ ข) แบบร่วมแกน .....	47
4.24	กราฟเปรียบเทียบปรอทเซ็นต์การปลดปล่อย GS ของแผ่นเส้นใย แบบง่ายและแผ่นเส้นใยแบบร่วมแกน .....	48
ก.1	SEM micrographs ของเส้นใย PLA และ PLA ผสม CA ที่ปริมาณ ก) 1, ก) 3, ก) 5, ก) 7, ก) 10, ก) 20, ก) 30 และ ญ) 40 wt.% ที่กำลัง ขยาย 3,500 เท่า.....	68
ก.2	กราฟแสดงความสัมพันธ์ระหว่างความเข้มข้นของยา GS ที่ทราบความ เข้มข้นกับค่าการคูณชั้บรองสีญีวิที่ความยาวคลื่น 400 nm.....	69
ก.1	ขนาดชิ้นส่วนเกลียวบนอกของตัวจับยึดเข็มฉีดยาโลหะ .....	71
ก.2	ขนาดชิ้นส่วนเกลียวในของตัวจับยึดเข็มฉีดยาโลหะ .....	71

## บทที่ 1

### บทนำ

#### 1.1 ความเป็นมาและความสำคัญของปัญหา

ปัจจุบันกระบวนการปั่นเส้นโดยด้วยไฟฟ้าสถิตย์ (Electrospinning) เป็นทางเลือกที่ใช้ เทคโนโลยีแผ่นเส้นจากวัสดุพอลิเมอร์ [1] และสารอนินทรีย์ออกไซด์ [2] การปั่นเส้นโดยด้วยไฟฟ้า สถิตย์มีการประยุกต์ใช้ใน ทางการแพทย์ [3,4] เกสัชกรรม [5] และทางด้านอื่นๆ [6] อีกมาก many ซึ่ง ตัวอย่างการประยุกต์ใช้ ได้แก่ วัสดุพอลิเมอร์ที่ใช้สำหรับระบบส่งยา (Drug delivery system) [7,8] วิศวกรรม เนื้อเยื่อ (Tissue engineering) [8,9,10] วัสดุปิดแผล (Wound dressing) [10] เป็นต้น และด้วย ลักษณะการใช้งานที่กล่าวมานี้ จึงนิยมเลือกวัสดุพอลิเมอร์ชีวภาพ (Biodegradable polymer) ที่ สามารถเข้ากันได้ดีและไม่เป็นอันตรายกับร่างกายมนุษย์ อย่างเช่น พอลิแลคติกแอสติด (Polylactic acid; PLA) ซึ่ง PLA ได้รับการรับรองจากสำนักงานอาหารและยาสหรัฐฯ หรือ อ.ย. สหรัฐฯ (U.S. Food and Drug Administration; FDA) [11] ว่าไม่เป็นพิษต่อร่างกายมนุษย์ และมีการใช้เป็นวัสดุ นำส่งยา [12] ยาเจนตามยัชินเป็นหนึ่งในตัวอย่างยาที่ใช้ในวัสดุนำส่งยา เพราะมีความสามารถในการขับยึงเชือบแก้วที่เรียกว่าหอยชนิด และราคากลูก [13] อีกทั้งยังมีการใช้ร่วมกับ PLA [14-16] แต่จะ พบว่า PLA กับยา GS ไม่สามารถเข้ากันได้ดีนัก เพราะว่ายา GS เป็นยาที่มีข้อสูงมาก [15,17-19] จึง ต้องหาพอลิเมอร์ที่สามารถเป็นตัวเชื่อมที่ทำให้ PLA และยา GS เข้ากันได้มากขึ้น พบว่าใน การศึกษาของ Y.-Y. Huang และ T.-W. Chung [16] ได้มีการใช้พอลิเอ็ธิลีนไอกลีโคล (Polyethylene glycol, PEG) เพื่อเพิ่มความเข้ากัน ได้ระหว่าง PLA กับยา GS เพราะ PEG เป็นพอลิ เมอร์ที่มีข้อสูง [20,21] และสามารถเข้ากับ PLA ได้ [22,23] ส่วนสมบัติเชิงกลของ PLA โดยแท้จริง แล้วค่อนข้างแข็งเปราะแต่มีความแข็งแรงที่ดี [22,24] เชลลูโลโซอะซิเตต (Cellulose acetate; CA) เป็นทางเลือกหนึ่งที่น่าสนใจในการนำมาผสมกับ PLA เพื่อปรับปรุงสมบัติเชิงกล เนื่องจากเป็นพอลิ เมอร์ชีวภาพที่มีการใช้งานในด้านการแพทย์ [25-27] ในการทำเป็นเส้นให้นำส่งยา [28,29] อีกทั้ง ยังมีความเหนียวและนุ่ม เมื่อผสม CA เข้ากับ PLA จะทำให้ PLA มีความเหนียวและนุ่มขึ้น และ ช่วยในการนำส่งยา แต่ CA เข้ากับยา GS ได้น้อย ดังนั้น ถ้าต้องการให้แผ่นเส้นสามารถควบคุม การปลดปล่อยยาได้และมีสมบัติเชิงกลที่ดีขึ้น การปั่นเส้นโดยด้วยไฟฟ้าสถิตย์แบบร่วมแกนสามารถ แก้ปัญหานี้ได้ [30-36] เนื่องจากตัวยาถูกกักเก็บและควบคุมการปลดปล่อยยาโดยพอลิเมอร์

ที่ห่อหุ้มไว้อีกทั้งการปั่นเส้นโดยด้วยไฟฟ้าสถิตย์แบบร่วมแกนยังสามารถแก้ไขปัญหาความไม่เข้ากันระหว่างสารละลายพอลิเมอร์กับสารละลายยาได้ด้วย เพราะว่าการเตรียมสารละลายมีการเตรียมที่แยกกันอย่างชัดเจนระหว่างสารละลายที่ใช้เป็นส่วนแกนในของเส้นไยกับสารละลายที่ใช้เป็นตัวห่อหุ้มเส้นไป

ดังนั้น ในงานวิจัยนี้จึงศึกษาการปรับปรุงสมบัติเชิงกล และการผลิตปล่อยยา ของแผ่นเส้นไย แบบร่วมแกน ที่ได้จากการปั่นเส้นโดยด้วยไฟฟ้าสถิตย์แบบร่วมแกน โดยใช้ CA ผสม PLA เป็นตัวห่อหุ้ม และใช้ PEG ผสมยา GS เป็นแกนใน เพื่อทำให้แผ่นไยมีความเหนียว ทนแรงดึงขีด และปลดปล่อยยาได้ดีขึ้น

## 1.2 วัตถุประสงค์ของงานวิจัย

1.2.1 ศึกษาสภาวะในการเตรียมเส้นไย PLA ได้แก่ ความต่างสักย์ไฟฟ้า และอัตราการไหลของสารละลาย ด้วยเทคนิคการปั่นเส้นโดยด้วยไฟฟ้าสถิตแบบร่วมแกน

1.2.2 ศึกษาสมบัติเชิงกล ลักษณะสัณฐานวิทยา การผลิตปล่อยยา และการต่อต้านเชื้อแบคทีเรียของแผ่นเส้นไย PLA ด้วยเทคนิคการปั่นเส้นโดยด้วยไฟฟ้าสถิตย์แบบร่วมแกน

## 1.3 แนวคิดงานวิจัย

PLA จัดเป็นพอลิเมอร์ชีวภาพ (Biopolymer) ผลิตจากวัตถุดูบที่สามารถผลิตทดแทนขึ้นใหม่ได้ในธรรมชาติ (renewable resource) สามารถเข้ากับเนื้อเยื่อของสิ่งมีชีวิต (Biocompatibility) ได้ดี ไม่เป็นพิษ (Non-toxic) และมีการใช้งานเป็นวัสดุนำส่งยา การเลือกใช้ PLA เพื่อเป็นวัสดุนำส่งยานั้น จะเลือก PLA ผสมกับยาที่หาซื้อได้ยาก ราคาถูก และมีการใช้งานทั่วไป ยานั้นก็คือยา GS แต่เมื่อทำการศึกษาเพิ่มเติม พบว่า ยา GS เป็นตัวยาที่มีข้อจำกัดอยู่มาก ไม่สามารถเข้ากับ PLA ได้ดี จึงต้องหาพอลิเมอร์ที่สามารถทำให้ PLA และยา GS เข้ากันได้เพิ่มขึ้น PEG จัดเป็นพอลิเมอร์ที่เป็นตัวเลือกที่ดี เพราะ PEG เป็นพอลิเมอร์ที่มีข้อจำกัดอยู่น้อย ไม่ก่อภัยต่อต้าน PLA ซึ่งมีข้อด้อยทางด้านสมบัติ เชิงกลในเรื่องของความประراض การนำ PLA ไปใช้ปั่นเส้นโดยด้วยไฟฟ้าสถิตย์จะทำให้ได้แผ่นเส้นไยที่มีความยืดหยุ่นต่ำและประراض ดังนั้น การปรับปรุงสมบัติเชิงกลของ PLA จะใช้ CA เข้ามาช่วยปรับปรุงให้แผ่นเส้นไยมีความยืดหยุ่นมากขึ้น และลดความประراضของ PLA เพราะ CA เป็นพอลิเมอร์ชีวภาพที่ใช้ทำเป็นเส้นไยอยู่แล้ว ด้วยคุณสมบัติเด่นก็คือความนุ่มนวลและเหนียว ถ้าเอามาผสมกับ PLA จะช่วยปรับปรุงเส้นไย PLA ให้มีความประراضลดลงได้ แต่พบว่ายา GS เข้ากับ CA ได้น้อย ถ้าเอากับ PEG, CA และยา GS ผสมกับ PLA และนำไปปั่นเส้นโดยด้วยไฟฟ้าสถิตย์แบบง่าย ดูจะไม่

หมายเหตุ สำหรับส่วนนี้ ไม่สามารถควบคุมการผลิตปล่อยยาและปรับปรุงสมบัติ เชิงกลให้แผ่นเส้นໄใช้ได้ ดังนั้นถ้าต้องการให้แผ่นเส้นໄ PLA สามารถควบคุมการผลิตปล่อยยาและ มีสมบัติเชิงกลที่ดี เพื่อเป็นวัสดุนำส่งยาที่ดี การปั๊มเส้นໄด้วยไฟฟ้าสถิตย์แบบร่วมแกนจะช่วย แก้ปัญหาความเข้ากันไม่ได้กับตัวยา GS และเพิ่มความสามารถในการควบคุมการผลิตปล่อยยา อีก ทั้งยังสามารถปรับปรุงสมบัติเชิงกลได้อีกด้วย

#### 1.4 ขอบเขตของการศึกษาและข้อจำกัดของงานวิจัย

งานวิจัยนี้จะศึกษาการใช้พอลิเมอร์สามชนิดคือ PLA, PEG และ CA นำมาทำเป็นแผ่นเส้นໄด้วยวิธีการปั๊มเส้นໄด้วยไฟฟ้าสถิตย์แบบร่วมแกน และทำการทดสอบลักษณะสัณฐานวิทยา สมบัติเชิงกล การผลิตปล่อยยา และการต่อต้านเชื้อแบคทีเรียของแผ่นเส้นໄที่เตรียมได้

#### 1.5 ขั้นตอนการดำเนินงานวิจัย

1.5.1 ศึกษาและรวบรวมข้อมูลงานวิจัยที่เกี่ยวข้อง

1.5.2 ออกแบบวิธีการทดลองและวางแผนการวิจัย

1.5.3 จัดหาอุปกรณ์และสารเคมีต่างๆ ที่ใช้ในการวิจัย

1.5.4 ดำเนินงานวิจัย

1.5.4.1 เตรียมพอลิเมอร์ PLA, PEG ผสม PLA และ CA ผสม PLA ที่มีการเติมและไม่เติมยา GS ไปปั๊มเส้นໄด้วยไฟฟ้าสถิตย์แบบง่าย จากนั้นทดสอบการผลิตปล่อยยา สมบัติเชิงกล และสมบัติอื่นๆ ที่ช่วยสนับสนุนผลการทดลองของแผ่นเส้นໄโดยแบบง่าย

1.5.4.2 ทดสอบการปั๊มเส้นໄด้วยไฟฟ้าสถิตย์แบบร่วมแกน โดยใช้ PLA และ CA ผสม PLA เป็นตัวห่อหุ้มเส้นໄ และใช้ PEG และ PEG ผสมยา GS เป็นแกนใน ทดสอบ การผลิตปล่อยยา สมบัติเชิงกล และสมบัติอื่นๆ ที่ช่วยสนับสนุนผลการทดลองของแผ่นเส้นໄโดยแบบร่วมแกน

1.5.5 วิเคราะห์ผลงานวิจัยที่ได้

1.5.6 สรุปผลงานวิจัย

1.5.7 รายงานผลงานวิจัย

1.5.8 เสนอผลงานวิจัย

1.5.8.1 สอบโครงการวิจัย

1.5.8.2 บทความวิจัย

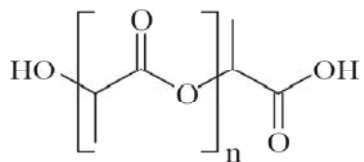
### 1.6 ประโยชน์ที่คาดว่าจะได้รับจากการวิจัย

ได้แผ่นเส้นใย PLA ที่มีสมบัติเชิงกลที่ดีขึ้น สามารถต่อต้านเชื้อแบคทีเรียได้ และสามารถนำไปประยุกต์ใช้เป็นวัสดุปิดแผลที่ผสมยา GS ได้

## บทที่ 2

### เอกสารและงานวิจัยที่เกี่ยวข้อง

#### 2.1 พอลิแลคติกแอสิด (Polylactic acid; PLA)



ภาพที่ 2.1 โครงสร้างทางเคมีของ PLA [37]

PLA หรือพอลิแลคไทด์ (Polylactide) เป็นพอลิเมอร์ในกลุ่มพอลิอีสเทอร์ มีโครงสร้างดังภาพที่ 2.1 ผลิตได้จากการลดแลกติก (Lactic acid) ซึ่งเป็นสารที่ได้จากการหมักผลผลิตทางการเกษตรที่มีแป้งและน้ำตาลเป็นองค์ประกอบหลัก เช่น ข้าวโพด ข้าวสาลี และมันสำปะหลัง เป็นต้น PLA ได้รับความสนใจเป็นอย่างมากในกลุ่มพลาสติกย่อยสลายได้ทางชีวภาพ มีคุณสมบัติด้านการแพทย์ [3,4] คือ เป็นพอลิเมอร์ชีวภาพ (biodegradable) [37] สามารถเข้ากับเนื้อเยื่อ (biocompatible) [38] ไม่เป็นพิษ (Non-toxic) [39] และสามารถถูกดูดซึม (bioresorbable) ได้โดยระบบชีวภาพ (biological system) ในร่างกาย [40] จึงทำให้ PLA เป็นวัสดุที่มีศักยภาพสำหรับงานทางการแพทย์ และถูกนำมาใช้ทางด้านนี้มานานกว่า 2 ทศวรรษ เช่น วัสดุปิดแผล (wound dressing) [41] วัสดุสำหรับนำพาหรือปลดปล่อยตัวยา [12] เป็นต้น ส่วนคุณสมบัติทางกายภาพของ PLA แสดงในตารางที่ 2.1

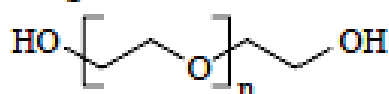
ตารางที่ 2.1 คุณสมบัติทางกายภาพของ PLA [11]

Property	Units	Condition	Value
Degree of crystallinity X <sub>c</sub>	%	L-PLA	0–37
Density	g/cm <sup>3</sup>	Amorphous	1.248
		Single crystal	1.29

ตารางที่ 2.1 (ต่อ) คุณสมบัติทางกายภาพของ PLA [11]

Property	Units	Condition	Value
Heat of fusion $\Delta H_f$	KJ/mol	L-PLA complete crystalline	146
		L-PLA fiber	
		As-extruded	2.5
Heat capacity $C_p$	J/K/g	L-PLA with	
		Mv = 5300	0.60
		Mv = (0.2–6.91)x $10^5$	0.54
Glass transition temperature	K		326–337
Melting point	K		418–459
Decomposition temperature	K		500–528
Swelling in water %		pH 7 buffer	2
Intrinsic viscosity (η) in chloroform at 25 °C	dl/g		3.8–8.2
Radiation resistance	G value	Under nitrogen	0
$\text{Co}^{60}$ in benzene solution, 30 °C		Chain scission	26.5
		Cross linking	4.5
In water		Chain scission	23.0
		Cross linking	6.5
IR peaks	$\text{cm}^{-1}$		
OH (alcohol/carboxylic)			3700–3450
$-\text{C=O}$			1750–1735
$-\text{COO}$			1600–1580
C-O			1200–1000
CH			950–700

## 2.2 พอลิเอทิลีนไอกลคอล (Polyethylene glycol; PEG)

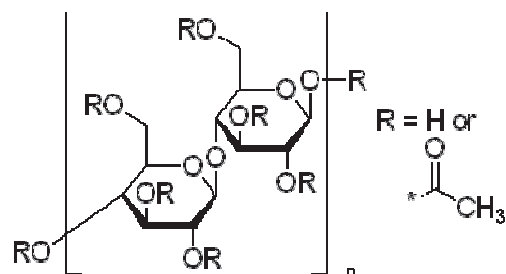


ภาพที่ 2.2 โครงสร้างทางเคมีของ PEG [37]

PEG เป็นพอลิเมอร์ในกลุ่มของพอลีอีเทอร์ มีโครงสร้างดังภาพที่ 2.2 คุณสมบัติที่สำคัญที่ทำให้ PEG ถูกนำมาใช้ประโยชน์มากมายคือ ความสามารถในการละลายน้ำ ไม่ว่าจะเป็นน้ำกระด่าง หรือในสารละลายของเกลือต่างๆ รวมทั้งตัวทำละลายอินทรีย์ และสารอะโรมาติก ไฮโดรคาร์บอน [42] ส่วนทางการแพทย์ PEG เป็นพอลิเมอร์ที่ไม่เป็นพิษต่อร่างกายมนุษย์ และสามารถกำจัดออกจากร่างกายได้ อีกทั้งยังผ่านการยอมรับจากองค์การอาหารและยาของสหราชอาณาจักร (FDA) [11] จึงได้รับความนิยมใช้ในการการแพทย์เพื่อใช้เป็นวัสดุนำส่งยา วัสดุที่ใช้ในการแยกเซลล์ และการประยุกต์ใช้ในการการแพทย์อื่นๆ เช่น ใช้ช่วยผลิตยาในรูปแบบต่างๆ ให้คุณสมบัติตามต้องการ ไม่ว่าจะเป็นยาນ้ำ ยาฉีดยาแคปซูล ยาเจ็ปส์ และยาเม็ด โดย PEG จะทำหน้าที่เป็นสารช่วยหล่อลื่น สารช่วยในการละลายของยา หรือสารป้องกันการขับตัวเป็นก้อนแข็ง เป็นต้น [42]

สมบัติทางกายภาพของ PEG โดยทั่วไปจะมีจุดหลอมเหลว หรือ  $T_m$  อยู่ที่ประมาณ 60-67 °C และอุณหภูมิคล้ายแก้ว หรือ  $T_g$  ประมาณ -60 °C มีโครงสร้างเป็นเส้นตรง และมีความเป็นระเบียบสูง ซึ่งมีค่าความเป็นผลึก (Crystallinity) ประมาณร้อยละ 70-80 ความหนาแน่น 1.2 g/cm<sup>3</sup> ค่าความจุความร้อน 188.2 J/g

## 2.3 เซลลูโลโซอะซิเตต (Cellulose acetate; CA)



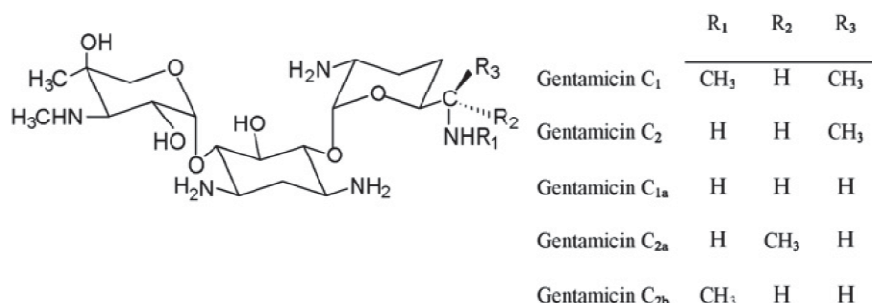
ภาพที่ 2.3 โครงสร้างทางเคมีของ CA [43]

เชลลูโลสอะซิเตตเป็นเอสเทอร์ของกรดอินทรีย์ที่สำคัญของเชลลูโลส เพราะสามารถใช้งานได้หลากหลาย ทั้งเป็นเส้นใยกรอง เสื้อผ้า สารเคลือบพิว และวัสดุนำส่งยา [27-30] โดยสามารถเตรียมให้มีสมบัติดังกล่าวได้ด้วยการมีระดับของหมู่แทนที่ (Degree Of Substitution; DS) ที่แตกต่างกัน เชลลูโลสอะซิเตตสามารถละลายได้ในตัวทำละลายอินทรีย์หลายชนิดขึ้นอยู่กับระดับขั้นการแทนที่ แสดงในตารางที่ 2.2 เช่น ถ้าระดับขั้นการแทนที่มากกว่า 2.6 เชลลูโลสอะซิเตตจะละลายในตัวทำละลายที่มีความมีขั้วน้อย เช่น อิथิลีนไดคลอไรด์ (ethylene dichloride) ถ้ามีค่าระดับขั้นการแทนที่ระหว่าง 1.89-2.50 จะละลายในอะซีโตน (acetone) แต่ถ้ามีค่าระดับขั้นการแทนที่ระหว่าง 0.89-1.35 จะละลายได้ในน้ำซึ่งมีขามาก อุณหภูมิสูงสุดที่สามารถใช้งานได้นานอยู่ในช่วงอุณหภูมิระหว่าง 60-85 °C โดยเชลลูโลสอะซิเตตจะมีสมบัตินองค์สารเคมี เช่น เป็นชีน ไขมัน แอลกอฮอล์ แต่จะไม่ทนต่อกรด ด่าง เอสเทอร์ กีโตัน อีเทอร์ เป็นต้น อีกทั้งยังมีความเหนียว ความมันวาว ด้านสิ่งทอและเส้นใย เส้นใยเชลลูโลสอะซิเตตเหมาะสมกับการนำไปใช้งานเพื่อความสะอาดสนับายนเป็นผ้าที่คุณดี การใช้งานด้านอื่นๆ เช่นกระดาษพิเศษ และที่กรอง รวมทั้งกันกรองบุหรี่ หรือวัสดุบางชนิดที่ใช้เป็นแกนใบหนาน เป็นต้น [44]

ตารางที่ 2.2 ปริมาณการหมู่ acetyl ในเชลลูโลสอะซิเตตต่อความสามารถในการละลาย [45]

% Acetyl	DS	Solvent	Applications
13.0-18.6	0.6-0.9	Water	
22.2-32.2	1.2-1.8	2-Methoxy ethanol	
36.5-42.2	2.2-2.7	Acetone, Ethylene dichloride	Fibers, Photographic film
43.0-44.8	2.8-3.0	Chloroform	Fabrics, foils, fibers

#### 2.4 ยัณตามัยซิน หรือเจนตามัยซินซัลเฟต (Gentamicin sulphate; GS)



ภาพที่ 2.4 โครงสร้างทางเคมีของยา GS [46]

ยาเจนตามยซินหรือเจนตามยซินซัลเฟต (Gentamicin sulphate; GS) เป็นยาในกลุ่มอะมิโนไกโอลโคไซด์ (Amino glycoside) มีโครงสร้างดังภาพที่ 2.4 ใช้ในการรักษาการติดเชื้อช่วงสั้นๆ จากแบคทีเรียชนิดแกรมลบ และแบคทีเรียแกรมบวกบางตัว เช่น ชูโอดิโนนาสเออรูจิโนซ่า (Pseudomonas aeruginosa; gram-negative) เป็นชนิดแกรมลบ และ สเตปปิโลคีอกคัส ออเรียส (Staphylococcus Aureus; gram-positive) เป็นชนิดแกรมบวก เป็นต้น สามารถใช้รักษาการติดเชื้อที่บริเวณกระดูก ระบบทางเดินหายใจ ผิวหนัง และภาวะติดเชื้อในกระแสเลือดได้ ซึ่งyanีจะออกฤทธิ์ฆ่าเชื้อ (Bactericidal) เมื่อมีความเข้มข้นสูง แต่จะมีฤทธิ์ขับยั้งเชื้อ (Bacteriostatic) ที่ระดับความเข้มข้นนั้น และออกฤทธิ์โดยขับยั้งการสร้างโปรตีน และทำให้การอ่าน genetic code บน m RNA ผิดไป [47,48]

## 2.5 การปั๊มเส้นใยด้วยไฟฟ้าสถิตย์ (Electrospinning)

การปั๊มเส้นใยด้วยไฟฟ้าสถิตย์เป็นกระบวนการที่เกิดขึ้นมาหากว่า 60 ปี แต่เพิ่งได้รับความสนใจศึกษากันอย่างจริงจังเมื่อไม่กี่ 10 ปีที่ผ่านมา ในปี ค.ศ. 1934 Formhals [8] ได้จดสิทธิบัตรกระบวนการและเครื่องมือที่ใช้แรงทางไฟฟ้าในการสังเคราะห์เส้นใย ในปี ค.ศ. 1969 Taylor [8] ได้ตีพิมพ์ผลงานที่อธิบายถึงปรากฏการณ์ที่เกิดขึ้น ในขณะที่สารละลายพอลิเมอร์พูงออกจากเข็มโลหะจากการให้ศักย์ไฟฟ้าแรงดันสูง ทำให้รูปร่างของสารละลายจากทรงกลมมีลักษณะเป็นสามเหลี่ยมคล้ายโคน เมื่อแรงดันไฟฟ้ามีค่าเท่ากับแรงดึงผิวดองสารละลายพอลิเมอร์ ซึ่งต่อมามีการเรียกลักษณะนี้ว่า Taylor cone การเปลี่ยนแปลงรูปร่างเป็น Taylor cone จะขึ้นกับความหนืดของสารละลายพอลิเมอร์ ปี ค.ศ. 1971 Baumgarten [8] เริ่มศึกษาผลของการเปลี่ยนแปลงสารละลายพอลิเมอร์และพารามิเตอร์ในกระบวนการปั๊มเส้นใยด้วยไฟฟ้าสถิตย์ ทำให้รู้ว่าพารามิเตอร์ต่างๆ มีผลต่อสัณฐานวิทยาของเส้นใยที่ได้ ในปี ค.ศ. 1995 Reneker [49] ได้ศึกษาอย่างเป็นระบบมากขึ้น ทำการปั๊มเส้นใยด้วยไฟฟ้าสถิตย์ได้รับความสนใจจากนักวิจัยต่างๆ ทั่วโลก เนื่องได้จากจำนวนผลงานตีพิมพ์ในวารสารวิชาการนานาชาติเรื่องต่างๆ ที่เกี่ยวกับการปั๊มเส้นใยด้วยไฟฟ้าสถิตย์มีแนวโน้มเพิ่มขึ้นเรื่อยๆ [1]

การปั๊มเส้นใยด้วยไฟฟ้าสถิตย์เป็นทางเลือกใหม่ที่สามารถใช้เตรียมเส้นใยจากวัสดุพอลิเมอร์และสารอนินทรีย์ออกไซด์หลากหลายชนิด สามารถประยุกต์ใช้ในทางการแพทย์ [3,4] เกสัชกรรม [5] และทางด้านอื่นๆ [6] อีกมากมาย ซึ่งเทคนิคนี้เป็นวิธีผลิตเส้นใยให้มีขนาดเส้นผ่าศูนย์กลางระดับนาโนเมตร ไปจนถึงมากกว่าไมโครเมตร โดยอาศัยแรงดันไฟฟ้าที่เกิดจากความต่างศักย์ไฟฟ้า สำหรับระบบพื้นฐานมีส่วนประกอบหลักที่สำคัญ 3 ส่วน คือ แหล่งกำเนิดไฟฟ้าแรงดัน

สูง (High voltage power supply) หลอดบรรจุสารละลายที่ติดปลายเข็มโลหะ (Syringe with metal needle) และวัสดุรองรับที่เป็นโลหะ (Metal collector)

หลักการการปั้นเส้นไยด้วยไฟฟ้าสถิตย์ เริ่มจากการให้ศักย์ไฟฟ้าแรงดันสูงแก่สารละลายพอลิเมอร์ หรือพอลิเมอร์ที่หลอมเหลว ผ่านเข็มโลหะกลวงที่มีเส้นผ่านศูนย์กลางขนาดเล็ก ทำให้เกิดแรงผลักทางไฟฟ้าในสารละลายพอลิเมอร์ เมื่อศักย์ไฟฟ้าเพิ่มขึ้น หยดสารละลายรูปทรงกลมน้ำลายเข้มจะเริ่มเปลี่ยนรูปร่างเป็นรูปโคน (แรงผลักทางไฟฟ้ามีค่าเท่ากับแรงตึงผิวของสารละลายพอลิเมอร์) และเมื่อแรงผลักทางไฟฟ้ามีค่ามากกว่าแรงตึงผิวของสารละลายพอลิเมอร์ สารละลายจะพุ่งออกจากปลายของโคนไปยังวัสดุรองรับ ซึ่งต่อเข้ากับศักย์ไฟฟ้าแรงดันต่ำ ทำให้เกิดเป็นสนามไฟฟ้าระหว่างปลายเข็มกับวัสดุรองรับ สารละลายจะพุ่งเป็นแนวตรงในระยะหนึ่ง และจะผ่านเข้าไปในส่วนของ whipping instability ซึ่งจะเกิดการระเหยของตัวทำละลาย กลายเป็นเส้นไขน้ำดเล็กๆ ก้อนทับกันบนวัสดุรองรับในลักษณะไม่ได้ทอ (Non-woven) ในส่วนของเข็มนิดที่บรรจุสารละลายพอลิเมอร์ จะต้องมีการควบคุมให้มีอัตราการไหลที่สม่ำเสมอโดยวิธีต่างๆ เช่น แรงโน้มถ่วงของโลก (gravitational force) ปั๊ม (syringe pump) และดันกําช (pressure gas) เป็นต้น ในส่วนของวัสดุรองรับก็มีหลายชนิด เช่น เพลท (stationary plate) ครัม (rotating drum) เป็นต้น จากการศึกษาของนักวิจัยได้มีการใช้พอลิเมอร์ชนิดต่างๆ มากกว่า 50 ชนิด มาทำการปั้นเส้นไยด้วยไฟฟ้าสถิตย์ [50] แสดงดังตารางที่ 2.3

ตารางที่ 2.3 ตัวอย่างพอลิเมอร์ที่ใช้เทคนิคการปั้นเส้นไยด้วยไฟฟ้าสถิตย์และการนำไปใช้ [50]

Polymer	Solvent	Concentration	Perspective Application
Nylon6,6, PA-6,6	Formic acid	10 wt.%	Protective clothing
Polyurethanes, PU	Dimethyl formamide	10 wt.%	Electric, Filter
Collagen-PEO	Hydrochloric acid	1–2 wt%	Wound healing, Tissue engineering
Polyaniline (PANI)/PEO	Chloroform	2–4 wt%	Conductive fiber
Polyvinylcarbazole	Dichlormethane	7.5 wt.%	Sensor, Filter
Cellulose acetate, CA	Acetone, Acetic acid, Dimethylacetamide	12.5–20%	Membrane
Polyvinil alcohol, PVA	Distilled water	8–16 wt.%	Drug delivery system

ตารางที่ 2.3 (ต่อ) ตัวอย่างพอลิเมอร์ที่ใช้เทคนิคการปั่นเส้นโดยด้วยไฟฟ้าสถิตย์และการนำไปใช้ [50]

Polymer	Solvent	Concentration	Perspective Application
Polylactic acid, PLA	Dichloromethane	14 wt%	Drug delivery system
Polyacrylonitrile, PAN	Dimethyl formamide	600 mg/ $10^{-5} \text{ m}^3$	Carbon nanofiber
Polyethylene oxide, PEO	Distilled water	7–10 wt.%	Electret filter, blend other polymer
poly vinyl phenol, PVP	Tetrahydrofuran	20, 60% (wt./vol.)	Antimicrobial agent
Polycaprolactone, PCL	Chloroform:methanol (3:1)	-	Biomedical application

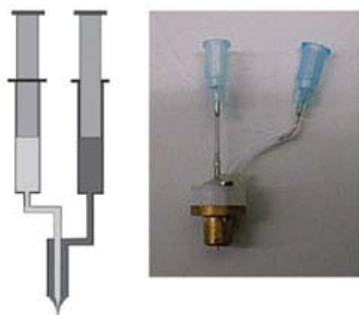
## 2.6 การปั่นเส้นโดยด้วยไฟฟ้าสถิตย์แบบร่วมแกน (Coaxial Electropinning)

ในการทำให้เส้นใยนาโนมีหน้าที่หรือสมบัติพิเศษเฉพาะตัว (Functionalization) โดยการรวมเอาโมเลกุล สารหรือส่วนประกอบอื่น (โดยเฉพาะในด้านเทคโนโลยีเซนเซอร์ วิศวกรรม เนื้อเยื่อ การนำส่งยา และนาโนอิเล็กทรอนิกส์) เข้ากับเส้นใยนาโนในหลายกรณีไม่สามารถทำโดยการใช้เทคนิคการปั่นเส้นโดยด้วยไฟฟ้าสถิตย์อย่างง่าย ทั้งนี้เนื่องจากมีปัญหาที่สำคัญอยู่หลายประการ เช่น ปัญหาการเก็บสาร (เอนไซม์ โปรตีน ยา ไวรัส และแบคทีเรีย) ให้อยู่ร่วมกับเส้นใยนาโนเป็นไปได้ยาก เพราะสารเหล่านี้จะถูกผสมกับตัวทำละลายให้กล้ายเป็นของเหลว และเปลี่ยนกลับมาเป็นของแข็ง (เป็นเส้นใย) ทำให้สารคงสภาพ หน้าที่ หรือคุณสมบัติเดิมไม่ได้ ต่อมาเป็นปัญหารื่องน้ำหนักโมเลกุลของวัสดุที่จะใช้ผสมฯ เช่น PEG ส่วนมากใช้ PEG น้ำหนักโมเลกุลต่ำ ทำให้การปั่นเส้นโดยด้วยไฟฟ้าสถิตย์อย่างง่ายเป็นไปได้ยาก อย่างไรก็ตามปัญหานี้สามารถแก้ไขได้ด้วยการใช้เทคนิคการปั่นเส้นโดยด้วยไฟฟ้าสถิตย์แบบร่วมแกน [51]

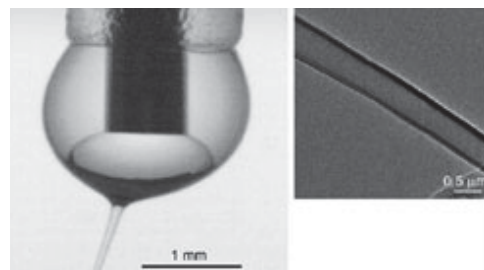
การปั่นเส้นโดยด้วยไฟฟ้าสถิตย์แบบร่วมแกนจะใช้หัวฉีด (Nozzle) ที่มีแกนนานร่วมกันซ้อนกันอยู่สองอัน แสดงภาพที่ 2.5 ค่าสักย์ไฟฟ้าที่ให้กับห้องสองหัวฉีดมีขนาดเท่ากัน และทำให้เกิดลักษณะของพอลิเมอร์พุ่งออกจากปลายหัวฉีด และเกิดเป็นเส้นใยนาโนแบบแกนใน-เปลือกนอก (Core-Shell nanofiber) ปัญหาที่พบในระหว่างการเกิดเส้นใยนาโนแบบแกนใน-เปลือกนอกคือ การที่หยดด้านนอก (Outer droplet) สามารถถูกเปลี่ยนเป็นลำไڈ์ แสดงในภาพที่ 2.6 ซ้าย ที่เป็นชั้นนี้ เพราะหยดสารละลายด้านในไม่สามารถถูกเปลี่ยนเป็นลำไ黛ได้

ไม่มีประจุที่ผ่านที่เกิดจากแรงไฟฟ้าสถิตย์ ดังนั้น การเปลี่ยนรูปของสารละลายด้านในให้เป็นแกนในของเส้นไยเกิดจากแรงหนึด (viscous force) เพียงอย่างเดียว

การปั๊มเส้นไยด้วยไฟฟ้าสถิตย์แบบร่วมแกนไม่เพียงแต่ใช้ประดิษฐ์เส้นไยนาโนที่มีแกนในที่ต่อเนื่องเท่านั้น ยังสามารถใช้ประดิษฐ์เส้นไยนาโนที่มีลักษณะเป็นหยด (หยดทรงกลม หยดทรงวงรี) ต่อเนื่องอยู่กับในเปลือกนอกได้อีกด้วย [51]



ภาพที่ 2.5 (ซ้าย) แผนภาพการจัดระบบหัวฉีดสำหรับการปั๊มเส้นไยด้วยไฟฟ้าสถิตย์แบบร่วมแกน (ขวา) ระบบหัวฉีดสำหรับใช้ในห้องปฏิบัติการ [51]



ภาพที่ 2.6 (ซ้าย) ปลายหัวฉีดแบบแกนใน-เปลือกนอก และ (ขวา) เส้นใยพสมแบบแกนใน-เปลือกนอกของ Polyvinylidene fluoride (PVDF) (แกนใน) และ polycarbonate (PC) (เปลือกนอก) [51]

## 2.7 การทดสอบการยับยั้งเชื้อแบคทีเรียด้วยวิธี Disc diffusion [52]

วิธีที่ใช้กันอย่างแพร่หลายมากที่สุดคือ Disc diffusion method (Kirby-Bauer) โดยเป็นที่ยอมรับขององค์กรอาหารและยา เป็นการทดสอบเชิงคุณภาพเท่านั้น สามารถบอกได้เพียงว่าเชื้อมีความไวต่อยา มีความไวปานกลาง หรือต้านยา ไม่อาจทราบค่าความเข้มข้นต่ำสุดที่มีฤทธิ์ยับยั้งการเจริญเติบโต หรือค่าความเข้มข้นต่ำสุดที่มีฤทธิ์ฆ่าเชื้อแบคทีเรียได้ 99.9 % ได้ ไม่เหมาะสมในการทดสอบเชื้อที่เจริญช้า และเชื้อแบคทีเรียที่เจริญเติบโตที่สภาวะไม่มีออกซิเจน (Anaerobic bacteria) แต่อย่างไรก็ตามวิธีนี้เป็นวิธีทดสอบประจำห้องปฏิบัติการที่ดีที่สุด

## 2.8 งานวิจัยที่เกี่ยวข้อง

F. Yang et al. [53] ได้ศึกษาประสิทธิภาพของเส้นไนโาน PLA เพื่อใช้ในทางวิศวกรรมเนื้ือเยื่อประสาท โดยขึ้นรูปด้วยเทคนิคการปั่นเส้นโดยด้วยไฟฟ้าสถิตย์ ภายใต้การควบคุมสภาพแวดล้อมเส้นผ่านศูนย์กลางในขณะทำการปั่นเส้นโดย โดยศึกษาผลของการเพิ่มขั้นของสารละลายในการทดลองนี้ใช้แผ่นเส้นไนโาน PLA ที่มีการจัดเรียงแบบสุ่ม (Random) ซึ่งเตรียมสารละลายโพลิเมอร์จาก PLA (Mw 300,000) ละลายใน Dichoromethane/N,N-Dimethyl-formamid (70/30) ที่ความเข้มข้น 1%, 2%, 3% และ 5% w/w อัตราการปั่นของสารละลาย 1.0 ml/hr จะใช้เข็มฉีดยาเบอร์ 18G ที่มีขนาดเส้นผ่านศูนย์กลางภายใน 1.2 mm กับสารละลาย PLA 5% w/w และใช้เข็มเบอร์ 22G ที่มีขนาดเส้นผ่านศูนย์กลางภายใน 0.7 mm กับสารละลาย PLA ที่ความเข้มข้น 1%, 2% และ 3% w/w ระยะห่างระหว่างปลายเข็มฉีดยากับตัวรองรับห่างกันเป็นระยะ 10 cm สำหรับแผ่นเส้นไนแบบที่มีการจัดเรียงตัว จะใช้ตัวรองรับแบบ disk และแผ่นเส้นไนที่ลักษณะของเส้นไนเป็นแบบสุ่ม จะใช้ตัวรองรับแบบ plate สำหรับความเร็วของการหมุนคือ 1000 rpm ความต่างศักย์ที่ใช้ที่ 12 kV และนำแผ่นเส้นไนที่ได้ไปทดสอบความเสถียรของเส้นไนหลังผ่านการทดสอบการฉายรังสี UV ผลการทดลองพบว่าความเข้มข้นมีอิทธิพลต่อคุณภาพของเส้นไน PLA โดยที่ความเข้มข้นของสารละลายเพิ่มขึ้น จะทำให้ขนาดเส้นผ่านศูนย์กลางเส้นไนมีค่าเพิ่มขึ้นจากในระดับนาโนเมตรเปลี่ยนเป็นระดับไมโครเมตรทั้งในรูปแบบที่มีการจัดเรียงตัวของเส้นไนและแบบสุ่ม

Kwangsok Kim. et al. [54] ได้ศึกษาการควบคุมการปลดปล่อยยา Cefoxitin Sodium (Mefoxin®) โดยใช้เส้นไน Poly(lactide-co-glycolide) และ (PLGA/PLA/PEG-b-PLA) blend (80:5:15) เป็นวัสดุนำส่งยา โครงสร้างทางสัมฐานวิทยาจะศึกษาโดยใช้เทคนิค Scanning Electron Microscope (SEM, LEO 1550) และทดสอบการปลดปล่อยยาโดยทดสอบการยับยั้งเชื้อ Staphylococcus Aureus ในสภาพจริงเป็นการทดสอบ คือ ทำในงานเพาะเชื้อในน้ำที่อุณหภูมิ 37 °C นาน 24 ชั่วโมง และทดสอบปริมาณแบบที่เรียกว่าโดยใช้ UV-Vis Spectroscopy ที่ความยาวคลื่น 625 nm (สำหรับเชื้อร้า) ผลจากการทดลองพบว่า การเติมตัวยา Cefoxitin Sodium ลงในสารละลายโพลิเมอร์นี้ จะทำให้ลักษณะของเส้นไนสมบูรณ์มากขึ้น มีปริมาณ Beads ลดลง ขนาดของเส้นผ่าศูนย์กลางลดลง และความหนาแน่นเฉลี่ยลดลง เป็นผลจากไอออนของยาที่เติมลงไปจะไปเพิ่มประจุให้กับสารละลายทำให้ค่าการนำไฟฟ้าเพิ่มขึ้น ส่วนในด้านการปลดปล่อยยา พบว่า เส้นไน (PLGA/PLA/PEG-b-PLA) blend (80:5:15) ทำให้ตัวยาสามารถแทรกเข้าไปได้ดี ควบคุมปริมาณการปลดปล่อยยาและลักษณะการปลดปล่อยยาได้อย่างสมบูรณ์ที่สุด

Xiuling Xu. et al. [55] ได้ศึกษาเส้นใยที่มีขนาดเล็กมาก (Ultrafine fiber) ซึ่งขึ้นรูปโดย การปั๊นเส้นใยด้วยไฟฟ้าสถิตของสารพลาสติกแบบน้ำกับน้ำมัน (Emulsion) ในชั้นของน้ำ ประกอบด้วยน้ำกับยา doxorubicin hydrochloride (DOX) และชั้นของน้ำมันประกอบด้วย chloroform กับ Poly(ethylene glycol)-poly (L-lactic acid) (PEG-PLLA) ที่เป็นแบบ Di block copolymer โดยสภาวะของการขึ้นรูปคือ ใช้เข็มบรรจุสารขนาดของเส้นผ่านศูนย์กลางภายใน เท่ากับ 0.4 mm อัตราการฉีดสารละลาย 50-70  $\mu\text{l}/\text{min}$  ความต่างศักย์ไฟฟ้า 2.5-2.8 kV ระยะห่างระหว่างปลายเข็มบรรจุสารกับตัวรองรับ 18 cm ความเข้มข้นของสารละลาย PEG5000-PLLA/CHCl<sub>3</sub> 7 %wt. ซึ่งศึกษา surface morphology และขนาดของเส้นใยโดย Environmental Scanning Electron Microscope ที่ความต่างศักย์ไฟฟ้ากำลังสูง 20 kV และศึกษาการปลดปล่อยยาของเส้นใยที่มี Doxorubicin hydrochloride (Dox), Sodiumdodecylsulphate (SDS), Chloroform, Triethyl benzyl ammonium chloride (TEBAC), Poly(ethylene glycol)-L-lactide (LLA, Purac)ผลการทดลอง พบว่า การเติม SDS ลงในสารละลายพอลิเมอร์ทำให้แรงตึงผิวในชั้นน้ำมัน ต่ำลง แต่ Dox ที่เติมลงในน้ำมันเป็น hydrophilic drug ซึ่งไม่ละลายใน PEG-PLLA/CHCl<sub>3</sub> เมื่อผสมกันจึงเกิดเป็นสารละลายที่มี emulsion drop ในปริมาณสูง ซึ่งผลของการทำในรูปแบบ emulsion นี้ ทำให้ยาที่ไม่ละลายในพอลิเมอร์สามารถตัวและเข้าไปในเส้นใยได้อย่างสมบูรณ์มากขึ้น ส่วนปริมาณการปลดปล่อยยาน้ำ พบว่า ที่เวลาเริ่มต้นจะปลดปล่อยยาอย่างรวดเร็วและเมื่อเวลาผ่านไป จะปลดปล่อยช้าลง รวมทั้ง ในพอลิเมอร์ที่มี PEG ชนิดน้ำหนักไม่เลกุลสูงกว่าจะสามารถกักเก็บยาได้ในปริมาณมากที่สุดและสามารถปลดปล่อยออกมายได้มากที่สุดเช่นกัน

Pillin, Isabelle., Montrelay. Nicolas และ Grohens, Yves. [37] ได้ศึกษาสมบัติเชิงกลของ พอลิแลคติกแอลกอฮอล์ที่มีการเติมสารพลาสติไซเซอร์ต่างชนิดกัน โดยในงานวิจัยนี้ใช้พอลิแลคติก แอลกอฮอล์ที่มีน้ำหนักไม่เลกุลเท่ากับ 74,000 g/mol และใช้พลาสติไซเซอร์คือ Poly(1, 3-butanediol) Mw = 2100, Dibutylsebacate Mw = 314, Acetyl glycerol monolaurate Mw = 358, Poly(ethylene glycol) Mw = 200, 400 และ 1000 g/mol โดยผสมพลาสติไซเซอร์ที่ 10, 20 และ 30% โดยมวล โดยใช้เครื่องผสมBrabender, 50 EHT ที่อุณหภูมิ 180 °C นาน 15 นาที ความเร็วการหมุนใบมีด 30 รอบต่อนาที แล้วนำมาขึ้นรูปขนาด 20×20×0.8 cm<sup>3</sup> เพื่อใช้ในการทดสอบการดึงยึดผลที่ได้คือ พลาสติไซเซอร์ที่เติมลงในน้ำมีผลทำให้ค่ามอคูลัลส์ลดลง และการยึดตัวที่จุดขาดเพิ่มขึ้น ซึ่งพอลิเอธิลีนไกลคอลให้ผลในการลดลงของมอคูลัลส์มากที่สุด และปริมาณในการผสมมากที่สุดอยู่ที่ 20 % ถ้ามากกว่านั้นขึ้นไปแล้วจะเกิดการผสมไม่เข้ากัน ส่วนค่าระยะยึดนั้นให้ค่าเพิ่มขึ้นถึงที่ 20 % เช่นกัน เมื่อจากการผสมของพอลิแลคติกแอลกอฮอล์กับพอลิเอธิลีนไกลคอลนั้นเข้ากันได้เมื่อผสม พอก

ลิอทิลินไกคอลในปริมาณน้อยๆ เท่านั้น รวมทั้งปริมาณผลึกที่เกิดขึ้นในการผสมนั้นเป็นตัวทำให้เกิดการแยกเฟสออกจากกัน ค่ามอคูลัสจึงลดลง

P. Frutos et al. [56] ได้วิเคราะห์หาปริมาณตัวยาเจนตามยัชิน โดยทำการวิเคราะห์ผ่านปฏิกิริยา Ninhydrin-gentamicin reaction ซึ่งมีการศึกษาผลของการเข้มข้น ผลของค่า pH ของสารละลายบัฟเฟอร์ที่ใช้ และเวลาในการให้ความร้อน ซึ่งบัฟเฟอร์ที่ใช้มีค่า pH อยู่ที่ 7.4 และ 9 ส่วนความเข้มข้นของสารนินไอกринที่ใช้นั้นเตรียมที่ความเข้มข้น 1.25% m/v และปรับเปลี่ยนปริมาณสารที่ใช้ และเวลาที่ใช้นั้นอยู่ที่ 5 – 45 นาที แล้วทำการวิเคราะห์โดยใช้เทคนิค UV-Visible spectrometry ผลที่ได้คือ เมื่อเจนตามยัชินทำปฏิกิริยากับนินไอกрин โดยใช้สารละลายเจนตามยัชิน 5 ml ผสมกับนินไอกрин 1.5 ml และสารละลายบัฟเฟอร์ที่ pH 7.4 ปริมาณ 3.5 ml แล้วนำไปให้ความร้อนที่ 95°C นานประมาณ 30 นาที จะเกิดสารที่มีสีม่วงขึ้น เมื่อวิเคราะห์ด้วยเทคนิค UV-Visible spectrometry จะพบพิกัดของกราฟที่ตำแหน่ง 315, 400 และ 550 nm ซึ่งสามารถเลือกมาใช้ในการวิเคราะห์หาปริมาณต่อไป

H.-I. Chang et al. [57] ได้ศึกษาการควบคุมการปลดปล่อยยาเจนตามยัชินจากแผ่นเส้นใยที่ได้จากการวนการปั่นเส้นไบแบบอาศัยแรงโน้มถ่วงของโลก (Gravity spinning) โดยใช้พอลิแคปโพรแอลโคฮอล Mw เท่ากับ 115,000 ละลายในอะซีโตนที่ความเข้มข้น 20 % โดยมวลน้ำมานี้รูปโดยใช้วิธี Gravity spinning แล้วทดสอบการปลดปล่อยยาเจนตามยัชินแบบ In vitro โดยใช้บัฟเฟอร์ฟอสเฟตที่มี pH เท่ากับ 7.4 ที่ 37 °C ใช้เวลาในการทดสอบมากกว่า 50 วันแล้วนำไปทดสอบปริมาณยาที่ได้ด้วยเทคนิค UV-Visible spectrometry ผลที่ได้คือ ปริมาณยาที่พบในเส้นใยในกรณีที่ใช้การผสมแบบกระจาดตัวเป็นเนื้อดียวกันนั้น พบว่าได้ปริมาณยาถึง 90 % แต่ถ้าใช้การผสมแบบธรรมดاجะพบปริมาณยาที่อยู่ในเส้นใยประมาณ 64 % เมื่อดูการปลดปล่อยยาจะพบว่า กรณีที่ใช้การผสมแบบกระจาดตัวเป็นเนื้อดียวกัน จะให้การปลดปล่อยยาออกมาระบماประมาณ 80 – 90 % ในช่วง 10 วัน แล้วจึงค่อยๆ คงที่ แต่ในกรณีการผสมแบบธรรมดานั้นมีพฤติกรรมการปลดปล่อยยาแบบค่อยๆ เพิ่มขึ้น แล้วคงที่ ซึ่งมีการปลดปล่อยประมาณ 30 % ที่ 24 ชั่วโมง 60 % ที่ 10 วันและ 78 % ที่ 50 วัน เนื่องจาก ลักษณะของยาที่ไม่ละลายในเส้นใยทำให้yanน้ำเงาอยู่ที่บริเวณผิวดวงเส้นใยเท่านั้น ส่วนในกรณีที่การปลดปล่อยยาเป็นแบบค่อยๆ เพิ่มขึ้นแล้วคงที่นั้น เกิดจากการที่อนุภาคของยาถูกขังหรือติดอยู่ในช่องและรูพรุนของแผ่นเส้น ให้ทำให้แพร่ออกมายังช้ากว่า

Orawan Suwantong., Uracha Ruktanonchai และ Pitt Supaphol. [58] ได้ศึกษาการใช้ asiaticoside ผสมกับ CA 17 w/v.% ในอัตราส่วน acetone/ dimethylacetamide 2:1 v/v.% เป็นตัวทำละลาย และใช้กระบวนการปั่นเส้นไบด้วยไฟฟ้าสถิตย์ เพื่อให้ได้แผ่นเส้นไย โดยใช้สภาวะการปั่น

เส้นใยที่ความต่างศักย์ไฟฟ้า 17.5 kV และระยะระหว่างปลายเข็มถึงวัสดุรองรับอยู่ที่ 15 cm คงที่ตลอดการทดสอบ พบว่ามีขนาดเส้นผ่านศูนย์กลางลักษณะเดียวกันที่ 301 ถึง 545 nm และมีการทดสอบการแพร่ของตัวยาเข้าสู่ผิวนังโดยใช้ผิวนังของหนู ผลปรากฏว่าไม่พบอันตรายจากการทดสอบและยังสามารถใช้เป็นแผ่นแพะแพลได้อีกด้วย

C. Schmidt, et al. [59] ได้ศึกษาการปลดปล่อยยาเจนตามัยซิน โดยบรรจุลงใน PLA สามชนิดคือ poly(L-lactic acid) (L-PLA), DL-lactic acid-glycolic acid copolymer (RG 502) และ poly(DL-lactic acid) (DL-PLA) ด้วยวิธีอัดเป็นเม็ดยา และศึกษาการปลดปล่อยยาเป็นระยะเวลา 30 วัน พบว่า L-PLA หลังจากบรรจุยาภายในวันแรกสามารถปลดปล่อยได้ทั้งหมด 3600  $\mu\text{g}$ . และภายใน 14 วันมีอัตราการปลดปล่อยลดลงประมาณ 12  $\mu\text{g}/\text{day}$  RG 502 สามารถที่จะปลดปล่อยยาหลังจากทำการบรรจุภายในวันแรกได้เพียง 1900  $\mu\text{g}$  และมีอัตราการปลดปล่อยภายใน 15 วัน ลดลงประมาณ 3  $\mu\text{g}/\text{day}$ . และหลังจาก 20 วันของการทดสอบพบว่ามีอัตราการปลดปล่อยเพิ่มขึ้นสูงสุดที่ประมาณ 100  $\mu\text{g}/\text{day}$  อีกทั้งหลังจาก 8 สัปดาห์ของการบรรจุยาพบว่า L-PLA ไม่มีการเสื่อมสภาพเกิดขึ้น เมื่อเทียบกับ RG 502 และ 20 % DL-PLA ที่มีการเปลี่ยนแปลงรูปร่างและความหนืด ซึ่งทำให้มีความเหมาะสมที่จะนำมาบรรจุยาเพื่อใช้ในการรักษาการติดเชื้อของกระดูกได้โดยไม่ส่งผลกระทบ

## บทที่ 3

### วิธีการดำเนินงานวิจัย

งานวิจัยนี้ได้ศึกษาสมบัติสัณฐานวิทยา สมบัติเชิงกล การปลดปล่อยยา และการต่อต้านเชื้อแบคทีเรียของแผ่นเส้นไข่ที่ได้จากการปั่นเส้นไข่ด้วยไฟฟ้าสถิตย์ โดยใช้พอลิเมอร์ PLA ผสม PEG และ PLA ผสม CA อีกทั้งยังศึกษาในแผ่นเส้นไข่ที่ได้จากการปั่นเส้นไข่ด้วยไฟฟ้าสถิตแบบร่วมแกน โดยใช้พอลิเมอร์ PLA ผสม CA เป็นตัวห่อหุ้ม และใช้ PEG ผสมยาเป็นแกนในของเส้นไข่

#### 3.1 อุปกรณ์ที่สำคัญในงานวิจัย

- 3.1.1 แหล่งกำเนิดความต่างศักย์ไฟฟ้าแรงดันสูง (Gamma High voltage research)
- 3.1.2 เครื่องควบคุมอัตราการไหลด (Syringe pump)
- 3.1.3 แผ่นอลูมิเนียมและอลูมิเนียมฟอยล์
- 3.1.4 หลอดน้ำดယาก้วงขนาด 20 ml
- 3.1.5 หลอดน้ำดယาพลาสติกขนาด 10 ml
- 3.1.6 เพิ่มน้ำดယาโลหะ เบอร์ 18G 20G และ 24G
- 3.1.7 ตัวจับยึดเพิ่มน้ำดယาโลหะ (Coaxial holder)
- 3.1.8 เครื่องกวนสารแบบให้ความร้อน (Hot plate stirrer)
- 3.1.9 บิกเกอร์
- 3.1.10 แท่งแม่เหล็กกวนสาร (Magnetic bar)

#### 3.2 เครื่องมือวิเคราะห์

- 3.2.1 เครื่องทดสอบความหนืดของสารละลาย Viscometer รุ่น Model LV บริษัท Brook field engineering labs ประเทศไทยรัฐอเมริกา
- 3.2.2 เครื่องทดสอบการนำไฟฟ้าของสารละลาย Conductivity Meters รุ่น sevenmulti บริษัท Mettler-toledo ประเทศไทย
- 3.2.3 เครื่องทดสอบสมบัติเชิงกลของวัสดุ Universal Tensile Machine (UTM) รุ่น LR-50K บริษัท Lloyd Instruments ประเทศไทย

3.2.3 เครื่องทดสอบสมบัติเชิงกลของวัสดุ Universal Tensile Machine (UTM) รุ่น LR-50K บริษัท Lloyd Instruments ประเทศไทย

3.2.4 Ultraviolet-visible spectrometer (UV-Vis) รุ่น T80+ บริษัท PG Instruments.Ltd.

3.2.5 เครื่องวิเคราะห์โครงสร้างทางกายภาพด้วยลำแสงอิเล็กตรอนแบบส่องกราด Scanning Electron Microscopy (SEM) รุ่น JSM 5410 LV บริษัท JEOL Technics LTD ประเทศไทย  
ญี่ปุ่น และรุ่น CAMSCAN mx200 ประเทศไทย

3.2.6 กล้องจุลทรรศน์ชนิดใช้แสงโพลาไรซ์ Polarized Light Microscope

3.2.7 เครื่องมือวิเคราะห์สมบัติทางความร้อน Differential scanning calorimetry (DSC)  
บริษัท Mettler-toledo รุ่น DSC1 ประเทศไทยเซอร์แอลเอ็นด์

### 3.3 สารเคมีที่สำคัญใช้ในงานวิจัย

#### 3.3.1 พอลิแลคติกแอสิต

PLA ผลิตจากบริษัท เนเจอร์เวิร์ค (Nature Works LLC) ชนิดเกรดการค้า (Commercial Grade, 4042D) น้ำหนักโมเลกุลประมาณ 390,000 Da

#### 3.3.2 พอลิเอทธิลีนไอกอโคล

PEG ผลิตจากบริษัท Scharlau Chemie S.A. (ประเทศไทย) น้ำหนักโมเลกุล 600 และ 1,500 Da ชนิดเกรดสังเคราะห์ทึบคู่

#### 3.3.3 เชลลูโลสอะซิเตต

CA ผลิตจากบริษัท Aldrich น้ำหนักโมเลกุล 30,000 Da

#### 3.3.4 สารละลายนยาเจนตามัยชินชัลเฟต

ยา GS ผลิตจากบริษัท T.P. Drug Laboratories (1969) Co., Ltd (ประเทศไทย) ชนิดสำหรับฉีดเข้ากล้ามเนื้อหรือเส้นเลือดดำ บรรจุในแอมพูลปริมาณ 2 ml/80mg

#### 3.3.5 ตัวทำละลายไดคลอโรเมเทน (Dichloromethane; DCM)

DCM ผลิตจากบริษัท RCI Labscan Limited (ประเทศไทย) เกรดสำหรับวิเคราะห์ (AR Grade)

#### 3.3.6 ตัวทำละลายไดเมทิลฟอร์มาไมด์ (Dimethylformamide; DMF)

DMF ผลิตจากบริษัท RCI Labscan Limited (ประเทศไทย) เกรดสำหรับวิเคราะห์ (AR Grade)

### 3.3.7 นินไฮดริน (Ninhydrin)

นินไฮดรินผลิตจากบริษัท Asia Pacific Specialty Limited เกรดสำหรับ

วิเคราะห์

#### 3.4 วิธีการทดลอง

##### 3.4.1 การเตรียมสารละลายน้ำมีเมียเพื่อปั่นเส้นได้วยไฟฟ้าสถิตย์

การเตรียมสารละลายน้ำ PLA เตรียมได้จากการนำ PLA ไปชั่งน้ำหนักให้ได้ตามตารางที่ 3.1 ใส่ในบิกเกอร์ขนาด 250 ml ที่มีแท่งแม่เหล็กวนสารขนาด 4 cm เติมตัวทำละลาย ผสมระหว่าง DCM กับ DMF ในอัตราส่วน 70:30 [60] ตามตารางที่ 3.1 ปิดบิกเกอร์ด้วยอลูมิเนียมฟอยล์และมัครอบปากบิกเกอร์ด้วยพาราฟินฟิล์ม จากนั้นนำไปตั้งกวนบนเครื่องกวนสารแบบให้ความร้อนที่อุณหภูมิห้องจนละลายหมด ส่วนสัญลักษณ์ที่ใช้แทนสารละลายน้ำ PLA คือ PLA ซึ่งแสดงในตารางที่ 3.1

การเตรียมสารละลายน้ำ PLA ผสม PEG เตรียมได้จากการนำ PLA และ PEG น้ำหนักโมเลกุล 600 หรือ 1,500 ไปชั่งน้ำหนักให้ได้ตามตารางที่ 3.1 ใส่ในบิกเกอร์ขนาด 250 ml ที่มีแท่งแม่เหล็กวนสารขนาด 4 cm เติมตัวทำละลายผสมระหว่าง DCM กับ DMF ในอัตราส่วน 70:30 [60] ตามตารางที่ 3.1 ปิดบิกเกอร์ด้วยอลูมิเนียมฟอยล์และมัครอบปากบิกเกอร์ด้วยพาราฟินฟิล์ม จากนั้นนำไปตั้งกวนบนเครื่องกวนสารแบบให้ความร้อนที่อุณหภูมิห้องจนละลายหมด สัญลักษณ์ที่ใช้มีผสม PEG น้ำหนักโมเลกุล 600 คือ PLA/20 PEG600 และเมื่อผสม PEG น้ำหนักโมเลกุล 1,500 คือ PLA/20 PEG1500 ซึ่งแสดงในตารางที่ 3.1

การเตรียมสารละลายน้ำ PLA ผสม CA เตรียมได้จากการนำ PLA และ CA ไปชั่งน้ำหนักให้ได้ตามตารางที่ 3.2 ใส่ในบิกเกอร์ขนาด 250 ml ที่มีแท่งแม่เหล็กวนสารขนาด 4 cm เติมตัวทำละลายผสมระหว่าง DCM กับ DMF ในอัตราส่วน 70:30 [60] ตามตารางที่ 3.2 ปิดบิกเกอร์ด้วยอลูมิเนียมฟอยล์และมัครอบปากบิกเกอร์ด้วยพาราฟินฟิล์ม จากนั้นนำไปตั้งกวนบนเครื่องกวนสารแบบให้ความร้อนที่อุณหภูมิห้องจนละลายหมด สัญลักษณ์ที่ใช้มีผสม CA จะขึ้นอยู่กับปริมาณ CA ที่ผสมเข้าไป เช่น การผสม CA 1 wt.% จะใช้สัญลักษณ์ PLA/CA1 ซึ่งแสดงในตารางที่ 3.2

ตารางที่ 3.1 การเตรียมสารละลายน PLA และ PLA ผสม PEG

ชื่อตัวอย่าง	PLA		PEG		DCM:DMF 70:30 (g)
	%	(g)	%	(g)	
PLA	100*	20	-	-	180
PLA/20 PEG600**	80	20	20	5	175
PLA/20 PEG1500***	80	20	20	5	175

\* PLA 100% คิดเป็น 10 wt.%

\*\*PEG600 คือ PEG ที่มีน้ำหนักโมเลกุล 600

\*\*\*PEG1500 คือ PEG ที่มีน้ำหนักโมเลกุล 1500

ตารางที่ 3.2 การเตรียมสารละลายน PLA ผสม CA

ชื่อตัวอย่าง	PLA		CA		DCM:DMF 70:30 (g)
	%	(g)	%	(g)	
PLA/CA1	99	20	1	0.20	179.80
PLA/CA3	97	20	3	0.62	179.38
PLA/CA5	95	20	5	1.05	178.95
PLA/CA7	93	20	7	1.51	178.49
PLA/CA10	90	20	10	2.22	177.78
PLA/CA20	80	20	20	5.00	175.00
PLA/CA30	70	20	30	8.57	171.43
PLA/CA40	60	20	40	13.33	166.67

### 3.4.2 การเตรียมสารละลายนพอลิเมอร์ที่มียาเพื่อบันสันยีด้วยไฟฟ้าสถิตย์

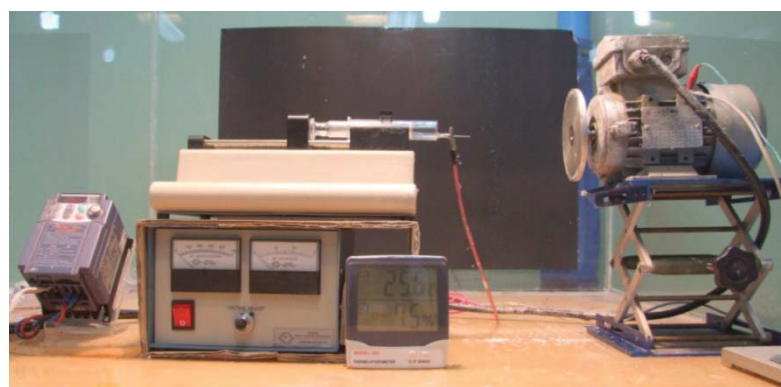
การเตรียมสารละลายน PLA, PLA ผสม PEG และ PLA ผสม CA ที่มีการผสมยา GS ใช้วิธีการเตรียมเช่นเดียวกับการเตรียมสารละลายนพอลิเมอร์ที่ไม่มียา GS (หัวข้อที่ 3.4.1) โดยจะผสมยา GS เข้าไปในสารละลายนพอลิเมอร์ก่อนการเติมตัวทำละลายผสมระหว่าง DCM กับ DMF ในปริมาณ 0.1 เบอร์เซ็นต์ของสารละลายนพอลิเมอร์ทั้งหมด [60] ส่วนสัญลักษณ์ที่ใช้แทนสารละลายน PLA, PLA ผสม PEG และ PLA ผสม CA ที่มียา GS จะมีการเติม /GS ต่อท้ายสัญลักษณ์ที่ไม่มียา GS เช่น PLA/GS, PLA/20-PEG600/GS และ PLA/CA1/GS

### 3.4.3 การทดสอบสมบัติของสารละลายน้ำมันพืช

สารละลายน้ำมันพืชที่ต้องการวัดค่าความหนืด ต้องนำสารละลายน้ำมันพืช ปริมาณ 220 ml ใส่ในบิกเกอร์ขนาด 250 ml จากนั้นนำไปทดสอบหาค่าความหนืดของสารละลายน้ำมันพืช ด้วยเครื่อง Brookfield viscometer และสารละลายน้ำมันพืชที่ต้องการวัดค่าการนำไฟฟ้า ต้องนำสารละลายน้ำมันพืช ปริมาณ 10 ml ใส่ในหลอดทดลองขนาดใหญ่ จากนั้นนำไปทดสอบหาค่าการนำไฟฟ้าของสารละลายน้ำมันพืชด้วยเครื่อง Conductivity meters ทำการทดลองซ้ำสามครั้งและหาค่าเฉลี่ย

### 3.4.4 การปั่นเส้นโดยไฟฟ้าสถิตย์

การปั่นเส้นโดยไฟฟ้าสถิตย์ เริ่มจากการดูดสารละลายน้ำมันพืชเข้าไปในหลอดนิ่ดยาที่ทำจากแก้วขนาด 20 ml ประมาณ 15-20 ml ใส่เข็มฉีดยาโลหะเบอร์ 20G เข้าไปที่ปลายหลอดนิ่ดยา ทำการไถอุ่นที่อยู่ในหลอดนิ่ดยาออกให้หมด นำหลอดนิ่ดยาใส่เข้าไปในเครื่องควบคุมอัตราการไถ (Syringe pump) ตั้งค่าอัตราการไถที่ 1 ml/hr ทำการจัดระเบห่างระหว่างปลายเข็มฉีดยากับวัสดุรองรับให้ได้ 20 cm วัสดุรองรับแผ่นเส้นไข่เจียวแผ่นอลูมิเนียมทึบด้วยอลูมิเนียมฟอยล์ติดเข้ากับมอเตอร์ ตั้งค่าความเร็วรอบมอเตอร์ที่ 100 rpm/min ต่อสายไฟจากเครื่องกำเนิดความต่างศักย์ไฟฟ้าแรงดันสูงเข้ากับปลายเข็มฉีดยาโลหะ ตั้งค่าความต่างศักย์ไฟฟ้าที่ 17 kV [60] การจัดอุปกรณ์ต่างๆ แสดงดังภาพที่ 3.1



ภาพที่ 3.1 การจัดตั้งอุปกรณ์ในการปั่นเส้นโดยไฟฟ้าสถิตย์

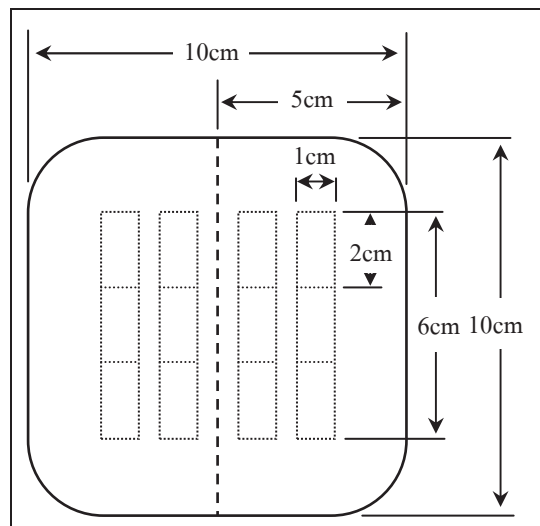
แผ่นเส้นไข่ที่นำไปใช้ตรวจสอบสัมฐานวิทยาด้วยเครื่อง SEM จะใช้เวลาในการปั่นเส้นไข่ 10 min ส่วนแผ่นเส้นไข่ที่นำไปทดสอบสมบัติเชิงกล การปลดปล่อยยา และการต้านเชื้อแบคทีเรียจะใช้เวลาในการปั่นเส้นไข่ 1 hr

### 3.4.5 การตรวจสอบสัณฐานวิทยา

แผ่นเส้นไยที่ได้จากการปั่นเส้นไยด้วยไฟฟ้าสถิตย์จะถูกนำมาตัดให้ได้ขนาดประมาณ  $5 \times 5$  mm นำแผ่นเส้นไยไปติดลงบนแผ่น slit และทำการเคลือบด้วยทองคำเป็นเวลา 30 นาที การตรวจสอบสัณฐานวิทยาด้วยเครื่อง SEM จะใช้กำลังขยายที่ 2,000 และ 3,500 เท่า แรงดันไฟฟ้า 15 kV ขนาดเส้นผ่านศูนย์กลางของเส้นไยจะใช้โปรแกรม SemAfore Version 5.00 วัดขนาดเส้นผ่านศูนย์กลางของเส้นไย

### 3.4.6 การทดสอบสมบัติเชิงกลและการทดสอบความถ่วงจำเพาะ

นำแผ่นเส้นไยที่ได้จากการปั่นเส้นไยด้วยไฟฟ้าสถิตย์มาแบ่งครึ่งและตัดเป็นรูปสี่เหลี่ยมผืนผ้าขนาด  $10 \times 60$  mm [61] ให้ได้จำนวน 2 ชิ้น รูปแบบการตัดแผ่นเส้นไยแสดงในภาพที่ 3.2 แผ่นเส้นไยที่ตัดแล้วจะถูกนำมาลอกอ่อนมิเนียมฟอยล์ออกก่อนการวัดความหนา จากนั้นนำแผ่นเส้นไยไปทดสอบสมบัติเชิงกลด้วยเครื่อง Universal Tensile Machine (UTM) (ทำการทดสอบแผ่นเส้นไยทั้งหมด 20 ชิ้น) โดยใช้สภาวะดังตารางที่ 3.3 และทำการวิเคราะห์ผลที่ได้จากการทดสอบ



ภาพที่ 3.2 ลักษณะการตัดตัวอย่างเพื่อทดสอบสมบัติเชิงกลและความถ่วงจำเพาะ

ตารางที่ 3.3 สภาวะที่ใช้ในการทดสอบสมบัติเชิงกล

Load cell	100 N
Speed	10 mm/min
Gauge range	40 mm

แผ่นเส้นไอกริงที่เหลือจากการตัด จะถูกนำมาตัดให้ได้ขนาด 10 x 20 mm นำแผ่นเส้นไอกมาซับน้ำชั่งอากาศที่ฐานด้านบนเครื่องชั่ง (เป็นน้ำหนักในอากาศ) บันทึกผลเก็บไว้ หลังจากนั้นจึงนำแผ่นเส้นไอกไปแช่ในบิกเกอร์ที่มีเอกสารประมาณ 100-150 mm และนำไปเข้าตู้อบสูญญากาศ เพื่อทำให้ເเอกสารเข้าไปแทนที่อากาศ จากนั้นนำแผ่นเส้นไอกไปชั่งน้ำหนัก โดยคีบแผ่นเส้นไอกใส่เข้าไปในขดลวดชุดล่าง วัดน้ำหนักแผ่นเส้นไอกที่อยู่ในเอกสาร (เป็นน้ำหนักในน้ำ) นำน้ำหนักที่ได้มาคำนวณหาราคาความถ่วงจำเพาะตามมาตรฐาน ASTM D792-08 (ASTM D792-08 Standard Test Methods for Density and Specific Gravity (Relative Density) of Plastics by Displacement) ตามสมการที่ 1

$$\text{Sp gr } 23/23^{\circ}\text{C} = \frac{a}{b - \frac{d}{w}} \quad (1)$$

เมื่อ

$a$  = มวลของตัวอย่างในอากาศไม่มีลวดหรือตัวถ่วง

$d$  = ความถ่วงจำเพาะของของเหลวที่ใช้ (เอกสาร)

$b$  = มวลของตัวอย่างที่จมอยู่ในน้ำทึบหมด (และตัวถ่วงในน้ำถ้ามี) และลวดบางส่วนที่จมอยู่ในน้ำ

$w$  = มวลของตัวถ่วงทึบหมดในน้ำ (ถ้ามี) และลวดบางส่วนที่จมอยู่ในน้ำ

### 3.4.7 การทดสอบการปลดปล่อยยา

นำแผ่นเส้นไอกมาตัดและนำไปชั่งให้ได้น้ำหนัก 35 mg ละลายในตัวทำละลาย DCM ปริมาณ 10 ml ที่บรรจุอยู่ภายในกรวยแยก เขย่าให้แผ่นเส้นไอกละลาย เติมน้ำกกลิ้นปริมาณ 10 ml ลงไป เพื่อให้ยา GS ละลายอยู่ในน้ำ [57, 17, 62] จากนั้นนำมาใส่หลอดทดลองขนาดใหญ่ และให้ความร้อนที่อุณหภูมิ 50 °C จนตัวทำละลาย DCM ระเหยออกไปหมด นำน้ำที่เหลือที่มียา GS ปริมาณ 5 ml ใส่ในหลอดทดลองขนาดใหญ่ เติมสารละลายนินไฮดริน (Ninhydrin) เข้มข้น 1.25% (w/v) ปริมาณ 1.5 ml (Ninhydrin-gentamicin reaction) เติมสารละลายนับฟเฟอร์ฟอสเฟต pH 7.4 (แสดงรายละเอียดอัตราส่วนผสมสารละลายนับฟเฟอร์ฟอสเฟตในตารางที่ 3.4) อีก 3.5 ml เขย่าให้เข้ากันแล้วนำไปต้มในอ่างน้ำร้อนที่อุณหภูมิ 95 °C นาน 30 min นำหลอดทดลองไปแช่ในอ่างน้ำแข็ง เพื่อหยุดปฏิกิริยา จากนั้นนำสารละลายไปทดสอบหาปริมาณยาด้วยเครื่อง Ultraviolet-visible spectrometer ที่ความยาวคลื่น 400 nm [56] เพื่อคุณภาพทึบหมดในแผ่นเส้นไอก

ตารางที่ 3.4 การเตรียมสารละลายน้ำบีฟเฟอร์ฟอสเฟต pH 7.4 ปริมาณ 200 ml

ชนิดสารละลายน้ำ	ความเข้มข้น	สัดส่วนร้อยละ
NaOH	0.2 mol/dm <sup>3</sup>	19.55
KH <sub>2</sub> PO <sub>4</sub>	0.2 mol/dm <sup>3</sup>	25
H <sub>2</sub> O	-	55.45

การทดสอบการปลดปล่อยยา GS ออกจากแผ่นเส้นไข 1 แผ่น ในแต่ละช่วงเวลา จะต้องนำแผ่นเส้นไขพอลิเมอร์มาตัด และนำไปชั่งให้ได้น้ำหนัก 35 mg นำไปแช่ในหลอดทดลองที่มีสารละลายน้ำบีฟเฟอร์ฟอสเฟต pH 7.4 ปริมาณ 10 ml จากนั้นนำหลอดทดลองไปแช่น้ำที่อุณหภูมิ 37 °C เมื่อถึงเวลาตามตารางที่ 3.5 (ครั้งที่ 1) ปีเปตสารละลายน้ำ 5 ml ใส่ในหลอดทดลองใหม่ และเติมสารละลายน้ำบีฟเฟอร์ฟอสเฟตใหม่ 5 ml เข้าไปในหลอดทดลองที่มีแผ่นเส้นไข ปีเปต และเติมสารละลายน้ำบีฟเฟอร์ฟอสเฟตใหม่ในแต่ละช่วงเวลาจนครบ 15 ครั้ง

ตารางที่ 3.5 เวลาปีเปตสารละลายน้ำในการทดสอบการปลดปล่อยยา GS

ครั้งที่	0	1	2	3	4	5	6	7	8	9	10	11	12	13	14	15
เวลาเก็บ (min)	0	30	60	90	150	210	270	330	570	810	1050	1440	2160	2880	3600	4320

#### 3.4.8 การทดสอบการยับยั้งเชื้อแบคทีเรีย

การทดสอบการยับยั้งเชื้อแบคทีเรียจะทำการวัด Clear zone ของเชื้อแบคทีเรีย 2 ชนิด คือ สเตปฟิโลค็อกคัส ออเรียส (*Staphylococcus Aureus*; gram-positive) เป็นชนิดแกรมบวก และไซโคลโมนาสเออรูจิโนซ่า (*Pseudomonas aeruginosa*; gram-negative) เป็นชนิดแกรมลบ โดยนำแผ่นเส้นไขมาตัดเป็นรูปวงกลมขนาดเส้นผ่านศูนย์กลาง 5 mm ด้วยเครื่องเจาะกระดาษ 3 ครั้ง จะได้แผ่นเส้นไขวงกลม 3 ชิ้น และตัดตัวควบคุม 1 ชิ้น (แผ่นกระดาษกรองที่ไม่มียาและผ่านการฆ่าเชื้อแล้ว) วางแผ่นเส้นไขลงในจานเพาะเชื้อที่เตรียมไว้ 6 ชุด โดยมีตัวควบคุม 1 ชุด ใส่ไว้ในตู้ Incubator เป็นเวลา 72 ชั่วโมง วัดขนาด Clear Zone ทุก 24 ชั่วโมง

### 3.4.9 การเตรียมสารละลายพอลิเมอร์ที่ไม่มียาเพื่อปั่นเส้นโดยด้วยไฟฟ้าสถิตย์แบบร่วมแกน

การเตรียมสารละลายพอลิเมอร์เพื่อใช้ในการปั่นเส้นโดยด้วยไฟฟ้าสถิตย์แบบร่วมแกนจะแบบออกเป็น 2 ส่วน คือ การเตรียมสารละลายเพื่อใช้ห่อหุ้มเส้นใย และการเตรียมสารละลายเพื่อใช้เป็นแกนในของเส้นใย

การเตรียมสารละลายเพื่อใช้ห่อหุ้มเส้นใยจะใช้วิธีการเตรียมเช่นเดียวกับการเตรียมสารละลายพอลิเมอร์ที่ไม่มียา GS เพื่อปั่นเส้นโดยด้วยไฟฟ้าสถิตย์ (หัวข้อที่ 3.4.1) ยกเว้นการผสม PLA เข้ากับ PEG

การเตรียมสารละลายเพื่อใช้เป็นแกนในของเส้นใยจะทำการซึ้งน้ำหนัก PEG น้ำหนักโมเลกุล 600 หรือ 1,500 ปริมาณ 10 g ใส่ในบิกเกอร์ขนาด 50 ml ที่มีแท่งแม่เหล็กวนสารขนาด 1 cm เติมน้ำปริมาณ 10 ml ปิดบิกเกอร์ด้วยอลูมิเนียมฟอยล์ และมัครอบปากบิกเกอร์ด้วยพาราฟินฟิล์ม จากนั้นนำไปตั้งกวนบนเครื่องกวนสารแบบให้ความร้อนที่อุณหภูมิห้องจนละลายหมด

การเตรียมสารละลายเพื่อใช้ในการปั่นเส้นโดยด้วยไฟฟ้าสถิตย์แบบร่วมแกนจะใช้สัญลักษณ์ s หมายถึงหัวหุ้ม และ c หมายถึงแกนใน แสดงในตารางที่ 3.6

ตารางที่ 3.6 การเตรียมสารละลาย PLA, PLA ผสม CA เป็นหัวหุ้ม และ PEG ผสมน้ำเป็นแกนใน

ชื่อตัวอย่าง	ตัวห่อหุ้ม			แกนใน	
	PLA (g)	CA (g)	DCM:DMF 70:30 (g)	PEG (g)	น้ำกลั่น (ml)
sPLA& PEG	20	-	180.00	10	3
sPLA/CA1-cPEG	20	0.20	179.80	10	3
sPLA/CA3-cPEG	20	0.62	179.38	10	3

### 3.4.10 การเตรียมสารละลายพอลิเมอร์ที่มียาเพื่อปั่นเส้นโดยด้วยไฟฟ้าสถิตย์แบบร่วมแกน

การเตรียมสารละลายพอลิเมอร์ที่มียา GS เพื่อใช้ในการปั่นเส้นโดยด้วยไฟฟ้าสถิตย์แบบร่วมแกน เมื่อนอกกับการเตรียมสารละลายพอลิเมอร์ที่ไม่มียา GS ในหัวข้อที่ 3.4.9 ยกเว้นการเตรียมสารละลายเพื่อใช้เป็นแกนในของเส้นใย ที่ใช้ยา GS แทนน้ำกลั่น ส่วนสัญลักษณ์ที่ใช้มีการเติม /GS ต่อท้ายสัญลักษณ์ที่ไม่มียา GS รายละเอียดแสดงดังตารางที่ 3.7

ตารางที่ 3.7 การเตรียมสารละลายน PLA, PLA ผสม CA เป็นตัวห่อหุ้ม และ PEG ผสมยาเป็นแกนใน

ชื่อตัวอย่าง	เปลือกนอก			แกนใน	
	PLA (g)	CA (g)	DCM:DMF 70:30 (g)	PEG (g)	GS (ml)*
sPLA& PEG/GS	20	-	180	10	3
sPLA/CA1-cPEG/GS	20	0.20	179.80	10	3
sPLA/CA3-cPEG/GS	20	0.62	179.38	10	3

\* จะเพิ่มยา GS ขึ้นเมื่อแผ่นสีน้ำเงินไม่สามารถติดตามชื่อแบบพิธีเรียได้

#### 3.4.11 การปั๊มเส้นใยด้วยไฟฟ้าสถิตย์แบบร่วมแกน

การปั๊มเส้นใยพอลิเมอร์ด้วยเทคนิคการปั๊มเส้นใยด้วยไฟฟ้าสถิตย์แบบร่วมแกน มีปัจจัยที่ใช้ในการควบคุมการขึ้นรูปแผ่นเส้นใย ได้แก่ ความเข้มข้นของสารละลายน้ำพอลิเมอร์ ระยะห่างระหว่างปลายเข็มถึงวัสดุรองรับ ความต่างศักย์ไฟฟ้า อัตราการไหลของสารละลายน้ำพอลิเมอร์ โดยงานวิจัยนี้จะเน้นปัจจัยในด้านความต่างศักย์ไฟฟ้าและอัตราการไหลของสารละลายน้ำพอลิเมอร์ในส่วนแกนในเป็นหลัก และคงที่ในเรื่องอัตราการไหลในส่วนเปลือกนอกและระยะห่างระหว่างปลายเข็มถึงวัสดุรองรับ โดยใช้อัตราการไหลในส่วนเปลือกนอกที่ 1 ml/hr และระยะห่างระหว่างปลายเข็มถึงวัสดุรองรับ 18 cm การปรับเปลี่ยนสภาวะแสดงดังตารางที่ 3.8

ตารางที่ 3.8 สภาวะที่ใช้ปั๊มเส้นใยด้วยไฟฟ้าสถิตย์แบบร่วมแกน

ระยะห่าง (cm)	18	18	18
อัตราการไหลของเปลือกนอก (ml/hr)	1	1	1
อัตราการไหลของแกนใน (ml/hr)	0.001	0.01	0.1
ความต่างศักย์ไฟฟ้า (kV)	12 13 14 15	12 13 14 15	12 13 14 15

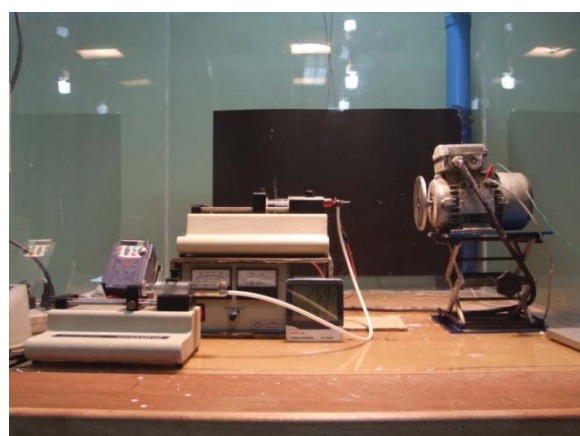
การปั๊มเส้นใยด้วยไฟฟ้าสถิตย์แบบร่วมแกน เริ่มจากการดูดสารละลายน้ำพอลิเมอร์ที่ใช้เป็นตัวห่อหุ้มเส้นใยเข้าไปในหลอดนิ่ดยาที่ทำการแก้วน้ำด 20 ml ปริมาณ 20 ml ตามท่อไส้ที่ทำการ PE บรรเทาปั๊มหลอดนิ่ดยา และตามท่ออีกข้างหนึ่งเข้าไปที่ตัวจับยีดเข็มนิ่ดยา โลหะ ซึ่งตัวจับยีดเข็มนิ่ดยาโลหะจะมีเข็มนิ่ดยาโลหะเบอร์ 24G อยู่ด้านใน และเข็มนิ่ดยาโลหะเบอร์ 18G อยู่ภายนอก (ภาพที่ 3.3 ตัวอย่างตัวจับยีดเข็มนิ่ดยาโลหะ) ดูดสารละลายน้ำพอลิเมอร์ที่ใช้เป็นแกนในของเส้นใยเข้าไปในหลอดนิ่ดยาที่ทำการพลาสติกขนาด 10 ml ปริมาณ 2 ml ใส่เข้ากับตัวจับยีดเข็มนิ่ดยาโลหะ ทำการไล่อากาศที่อยู่ในหลอดนิ่ดยาทั้งสองหลอดออกให้หมด นำหลอด

นีดยาใส่เข้าไปในเครื่องควบคุมอัตตราการไอล (Syringe pump) ทำการจัดระเบห่างระหว่างปลายเข็มนีดยากับวัสดุรองรับ วัสดุรองรับแผ่นเส้นไขจะใช้แผ่นอลูมิเนียมหุ้มด้วยอลูมิเนียมฟอยล์ติดเข้ากับมอเตอร์ ตั้งค่าความเร็วรอบมอเตอร์ที่ 100 rpm/min ต่อสายไฟจากเครื่องกำเนิดความต่างศักย์ไฟฟ้าแรงดันสูงเข้ากับปลายเข็มนีดยาโลหะ การจัดอุปกรณ์ต่างๆ แสดงดังภาพที่ 3.4

แผ่นเส้นไขที่นำไปใช้ตรวจสอบสัณฐานวิทยาด้วยเครื่อง SEM จะใช้เวลาในการปั๊นเส้นไข 10 min ส่วนแผ่นเส้นไขที่นำไปทดสอบสมบัติเชิงกล การปั๊ปคลป้อยยา และการต้านเชื้อแบคทีเรียจะใช้เวลาในการปั๊นเส้นไข 1 hr



ภาพที่ 3.3 ตัวจับเข็มนีดยาโลหะที่มีและไม่มีเข็มโลหะ



ภาพที่ 3.4 การจัดตั้งอุปกรณ์ในการปั๊นเส้นไขด้วยไฟฟ้าสถิตย์แบบร่วมแกน

## บทที่ 4

### ผลการทดลองและวิจารณ์ผลการทดลอง

การศึกษาการเตรียมแผ่นเส้นใย PLA สำหรับขนส่งยา GS จะใช้วิธีการปั้นเส้นโดยด้วยไฟฟ้าสถิตย์แบบง่ายผลิตเป็นแผ่นเส้นใย แต่พบว่า PLA ไม่สามารถเข้ากับยา GS ได้ จึงเลือก PEG เข้ามาช่วยเพิ่มความเข้ากันได้ โดยเลือกใช้การผสม PEG ปริมาณ 20 wt.% น้ำหนักโมเลกุล 600 Da (PEG600) และ 1500 Da (PEG1500) เข้ากับ PLA ที่สภาวะการปั้นเส้นโดยด้วยไฟฟ้าสถิตย์แบบง่าย ดังนี้ อัตราการไหล 1 ml/hr ระยะห่างระหว่างปลายเข็มถึงวัสดุรองรับ 20 cm ตัวเก็บเส้นไขมุนที่ความเร็วรอบ 100 rpm/min และความต่างศักย์ไฟฟ้า 17 kV เพราะในการศึกษาของศักย์ แซ่เว่อง และคณะ [60] พบว่า การผสม PEG ปริมาณ 20 wt.% เป็นปริมาณการผสมสูงสุดที่ไม่ทำให้เส้นใยเกิดการเชื่อมติดกันในบริเวณที่เส้นไขทับซ้อนกันมากเกินไป และสภาวะการปั้นเส้นโดยดังกล่าวเป็นสภาวะการปั้นเส้นโดยที่เหมาะสม ซึ่งที่ก่อตัวมาจากถูกนำมาใช้ในงานวิจัยนี้ เพื่อใช้ศึกษาการขนส่งยาของแผ่นเส้นใย PLA แต่ PLA ยังมีข้อด้อยทางด้านสมบัติเชิงกลในเรื่องของความerasible จึงใช้ CA เข้ามาช่วยปรับปรุงให้แผ่นเส้นไขมีความประดิษฐ์ แต่พบว่า CA เข้ากับยา GS ได้น้อย ถ้าเอา PEG, CA และยา GS ผสมกับ PLA และนำไปปั้นเส้นโดยด้วยไฟฟ้าสถิตย์แบบง่าย ดูจะไม่เหมาะสม เพราะเมื่อร่วมกันแล้วอาจไม่สามารถควบคุมการปลดปล่อยยาและปรับปรุงสมบัติเชิงกลให้แผ่นเส้นไขได้ ดังนั้น การปั้นเส้นโดยด้วยไฟฟ้าสถิตย์แบบร่วมแกนจะช่วยแก้ปัญหาความเข้ากันไม่ได้ของยา GS กับ PLA และ CA และเพิ่มความสามารถในการควบคุมการปลดปล่อยยา อีกทั้งยังสามารถปรับปรุงสมบัติเชิงกลได้อีกด้วย ซึ่งการปั้นเส้นโดยด้วยไฟฟ้าสถิตย์แบบร่วมแกนจะออกแบบแผ่นเส้นไขให้ CA กับ PLA เป็นตัวห่อหุ้มแกนในที่มียา GS และ PEG อยู่ภายในเส้นไข เพื่อใช้ควบคุมการปลดปล่อยยา และให้ PEG กับยา GS เป็นแกนในของเส้นไข และเน้นศึกษาสภาวะในการปั้นเส้นโดยด้วยไฟฟ้าสถิตย์แบบร่วมแกนในเรื่อง ความต่างศักย์ไฟฟ้า และอัตราการไหลของสารละลายในส่วนแกนในเป็นหลัก โดยควบคุมความเข้มข้นของสารละลายที่ใช้เป็นแกนในที่ PEG 10 g ต่อน้ำหรือยา GS 3 ml อัตราการไหลของสารละลายที่ใช้เป็นตัวห่อหุ้ม 1 ml/hr และระยะทางระหว่างปลายเข็มโดยจะถึงวัสดุรองรับ 18 cm ตามลำดับ และศึกษาสมบัติทางด้านต่างๆ ที่ช่วยสนับสนุนผลการทดลองให้มีความสอดคล้องกันมากยิ่งขึ้น ผลการศึกษามีดังต่อไปนี้

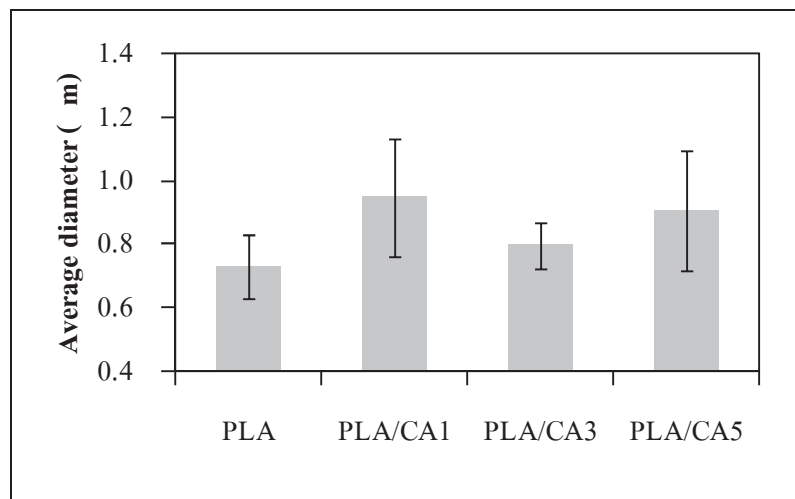
#### 4.1 การศึกษาแผ่นเส้นใย PLA ที่ได้จากการปั่นเส้นโดยไฟฟ้าสถิตย์แบบง่าย

ก่อนที่จะนำใช้ PLA “ไปใช้เป็นแผ่นเส้นไขน้ำส่างยา GS” พบว่า สมบัติเชิงกลของ PLA ค่อนข้างแข็งกระแทกมีความแข็งแรงที่ดี [55,57] ดังนั้น เพื่อให้แผ่นเส้นใย PLA ที่ได้จากการปั่นเส้นโดยไฟฟ้าสถิตย์แบบง่ายมีสมบัติเชิงกลที่ดีขึ้น จะต้องถูกปรับปรุงสมบัติเชิงกลด้วยการผสม CA จากนั้นจึงเลือกการผสม CA ที่มีสมบัติเชิงกลที่ดีไปเติมยา GS เพื่อใช้เป็นแผ่นเส้นไขน้ำส่างยา ผลการศึกษาสมบัติเชิงกลแสดงในหัวข้อที่ 4.1.1 และความสามารถในการทนส่างยาแสดงในหัวข้อที่ 4.1.2

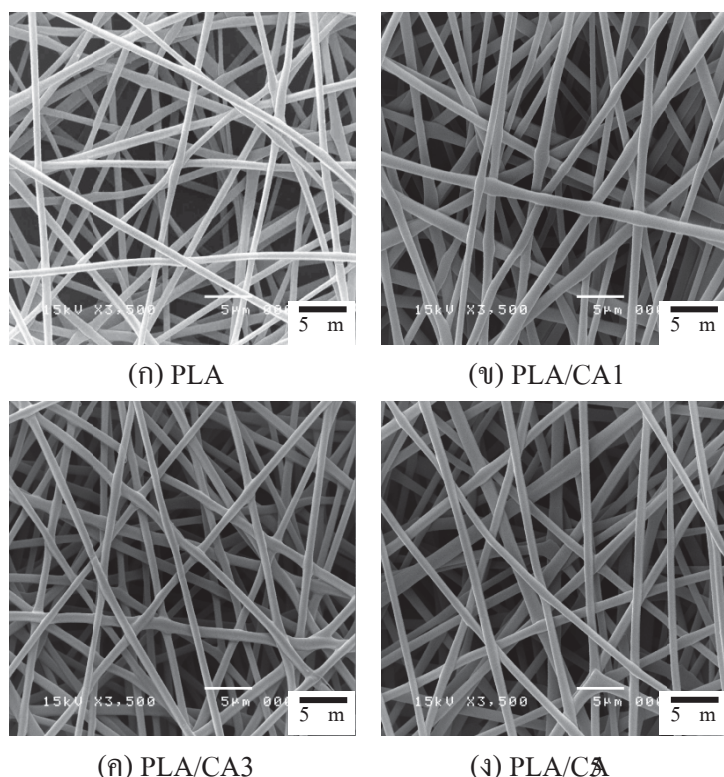
##### 4.1.1 ปริมาณ CA ต่อสมบัติเชิงกล

ในการศึกษาสมบัติเชิงกลของแผ่นเส้นใย PLA และ PLA ผสม CA ในปริมาณ 1, 3 และ 5 wt.% ที่ได้จากการปั่นเส้นโดยไฟฟ้าสถิตย์แบบง่ายที่อัตราการไหล 1 ml/hr ระยะห่างระหว่างปลายเข็มถึงวัสดุรองรับ 20 cm ตัวเก็บเส้นไขหมุนที่ความเร็วรอบ 100 rpm/min และความต่างศักย์ไฟฟ้า 17 kV แผ่นเส้นใยที่เตรียมได้ในแต่ละแผ่นมีขนาดเส้นผ่านศูนย์กลางเฉลี่ยของเส้นใยที่แตกต่างกัน ดังแสดงในภาพที่ 4.1 และมีลักษณะเป็นเส้นไขไม่ถักทอ (Nonwoven mats) ดังแสดงในภาพที่ 4.2 ทำให้ความหนาแน่นของแผ่นเส้นไขไม่เท่ากัน ดังนั้นเพื่อให้ผลการศึกษาสมบัติเชิงกลของแผ่นเส้นไขแต่ละแผ่นสามารถนำมาเปรียบเทียบกันได้ จึงต้องคำนึงถึงจำนวนถ่วงจำเพาะของแผ่นเส้นไขในภาพที่ 4.3 มา Normalize (Normalize คือการนำค่าความถ่วงจำเพาะไปหารกับค่าที่ได้จากการทดสอบสมบัติเชิงกล) กับค่าที่วัด ได้จากการทดสอบสมบัติเชิงกล ก่อนนำมาวิเคราะห์ผลการทดลอง และผลการทดสอบสมบัติเชิงกลของแผ่นเส้นใย PLA และ PLA ผสม CA ที่มีการ Normalize แล้ว แสดงในภาพที่ 4.4 และ 4.5 พบว่า เมื่อผสม CA ในปริมาณ 1 และ 3 wt.% ค่ามอดุลัสสูงขึ้น โดยมีค่าอยู่ที่ประมาณ 67.90 และ 73.19 MPa ตามลำดับ แสดงในภาพที่ 4.4 เนื่องจากสายโซ่ไม่เลกอกของ CA บางส่วนมีระยะห่างตัวเข้าไปอยู่ระหว่างสายโซ่ไม่เลกอกของ PLA ทำให้เกิดแรงแวนเดอร์วัลล์ (Van der Wall interaction) ระหว่างสายโซ่ไม่เลกอกของ PLA กับ CA จึงทำให้การผสม CA ในปริมาณเล็กน้อยสามารถเข้ากับ PLA ได้บางส่วน [63] แต่การผสม CA ในปริมาณ 5 wt.% ทำให้ค่ามอดุลัสแรงดึงดูดคงไปอยู่ที่ประมาณ 54.30 MPa เนื่องจากสายโซ่ไม่เลกอกของ CA ขอบอยู่ด้วยกันมากกว่าระยะห่างตัวเข้าไปในสายโซ่ไม่เลกอกของ PLA จึงทำให้ PLA เข้ากับ CA ได้ลดลง [63,64] และข้อดีของแรงดึงดูดเนื่องจาก PLA ทำให้สายโซ่ไม่เลกอกของ PLA เลื่อนออกจากกันได้ง่ายขึ้น และส่งผลให้ความต้านทานแรงดึงดูดของแผ่นเส้นไขในภาพที่ 4.5 มีแนวโน้มลดลง (PLA 2.10 MPa, PLA/CA1 2.10 MPa, PLA/CA3 1.98 MPa และ PLA/CA5 1.39 MPa) ซึ่งในความเข้ากันได้ของ PLA และ CA จากการวิเคราะห์สมบัติทางความร้อน (DSC) ในภาพที่ 4.6 พบว่าค่า Glass transition temperature ของ CA อยู่ที่ประมาณ 142

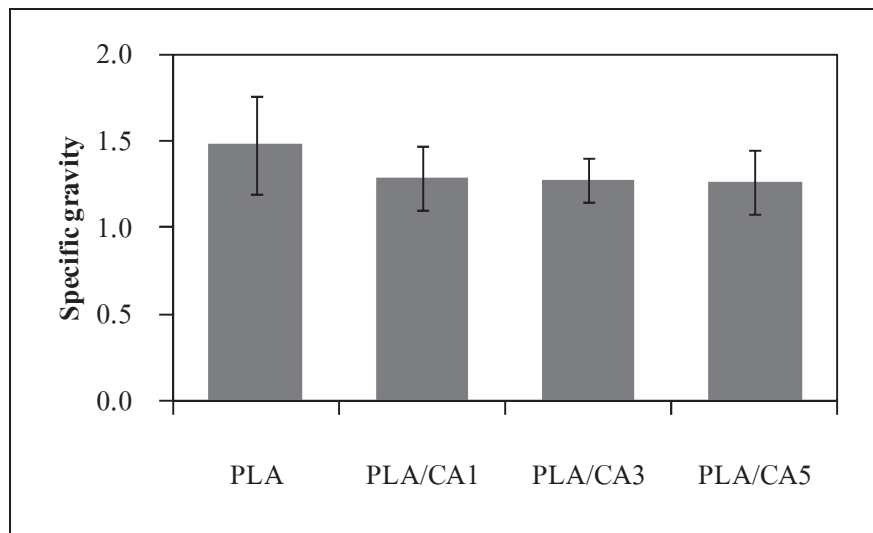
$^{\circ}\text{C}$  เกิดการหับซ้อนกับค่า Melting temperature ของ PLA ซึ่งอยู่ที่ประมาณ  $146\text{ }^{\circ}\text{C}$  ทำให้ไม่สามารถวิเคราะห์ผลการแยก Phase ซึ่งแสดงถึงความเข้ากันไม่ได้ระหว่าง PLA กับ CA ได้



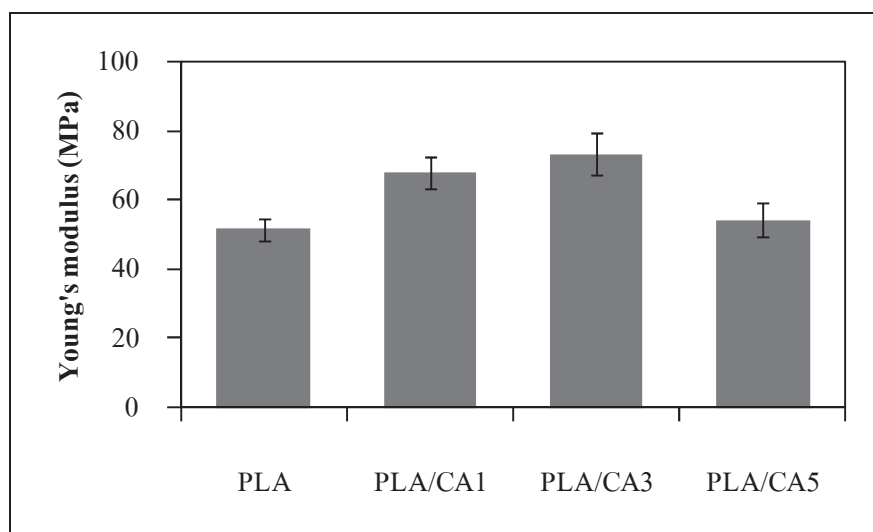
ภาพที่ 4.1 กราฟเส้นผ่านศูนย์กลางเฉลี่ยของแผ่นเส้นใย PLA, PLA/CA1, PLA/CA3 และ PLA/CA5



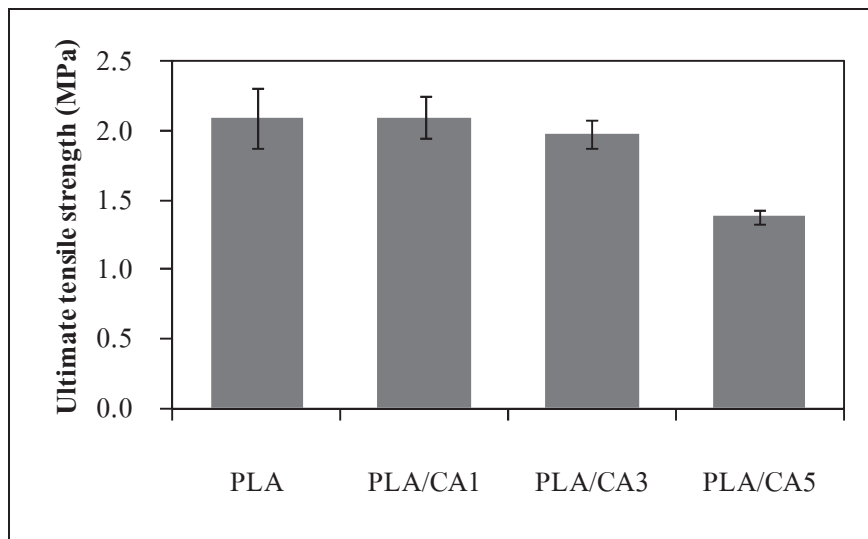
ภาพที่ 4.2 SEM micrographs ของเส้นใย ก) PLA, จ) PLA/CA1 ก), PLA/CA3 และ จ) PLA/CA5 ที่กำลังขยาย 3,500 เท่า



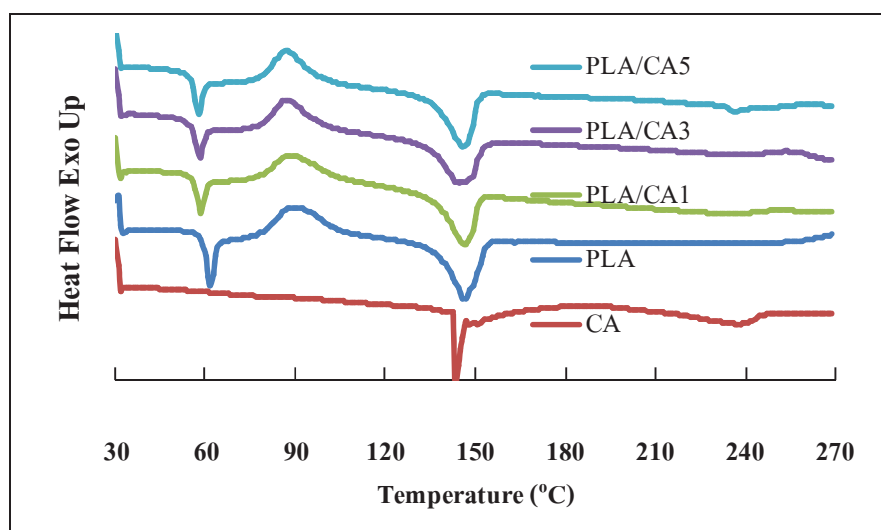
ภาพที่ 4.3 กราฟความถ่วงจำเพาะของแผ่นเส้นใย PLA, PLA/CA1, PLA/CA3 และ PLA/CA5



ภาพที่ 4.4 กราฟค่ามอดูลัสแรงดึงของแผ่นเส้นใย PLA, PLA/CA1, PLA/CA3 และ PLA/CA5



ภาพที่ 4.5 กราฟความต้านทานแรงดึงสูงสุดของแผ่นเส้นใย PLA, PLA/CA1, PLA/CA3 และ PLA/CA5

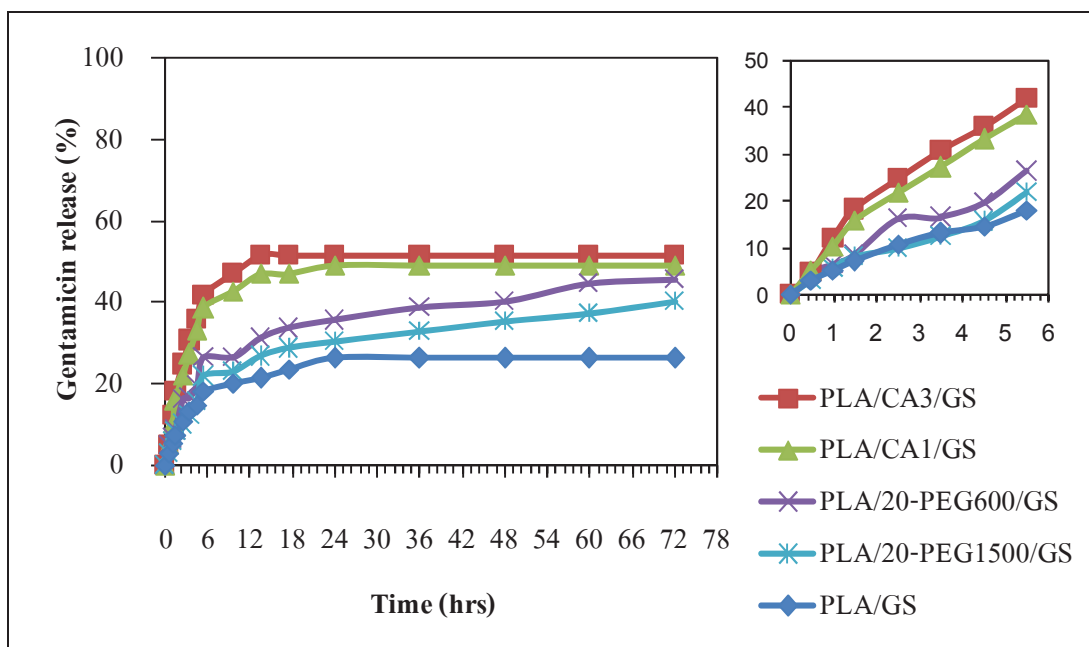


ภาพที่ 4.6 กราฟ DSC ของแผ่นเส้นใย PLA, CA, PLA/CA1, PLA/CA3 และ PLA/CA5

จากทดสอบสมบัติเชิงกลของแผ่นเส้นใย PLA และ PLA ผสม CA ทำให้ทราบว่าการผสม CA 5 wt.% ทำให้ความต้านทานแรงดึงสูงสุดลดลงไปอยู่ที่ประมาณ 1.39 MPa จึงสามารถสรุปได้ว่า การปรับปรุงสมบัติเชิงกลของแผ่นเส้นใย PLA ด้วยการเติม CA นั้นไม่ควรเติมมากกว่า 3 wt.% ดังนั้นการผสม CA ที่ 1 และ 3 wt.% จะถูกใช้ในไปศึกษาการขันส่งยา เพื่อคุ้มครองสิทธิ์ในการป้องกันอย่างออกจากเส้นใย

#### 4.1.2 ปริมาณ CA และ PEG ต่อความสามารถในการขันส่งยาและยับยั้งเชื้อแบคทีเรีย

การทดสอบการปลดปล่อยยา GS จากเส้นใย PLA, PLA ผสม PEG และ PLA ผสม CA สามารถทดสอบด้วยวิธีการจำลองสภาพการปลดปล่อยยาในแบบจุ่มแช่ (total immersion) และทำการปลดปล่อยยา GS ในสารละลายน้ำฟลูออร์ฟอสเฟต pH 7.4 ที่อุณหภูมิ 37 °C และเนื่องจากสารละลายน้ำ GS ไม่มีหมู่ chromophore หรือ fluorophore [65] ทำให้การคัดชั้บรังสี ultraviolet และ visible light ด้วยเครื่อง UV-Visible spectroscopy ทำได้ยาก ทำให้จำเป็นต้องทำปฏิกิริยานินไชคริน (ปฏิกิริยา Ninhydrin colorimetric reaction เป็นวิธีทั่วไปสำหรับระบุเชิงคุณภาพของยาที่มีหมู่ amino groups) [56] เพื่อให้มีหมู่ Chromophore ในโครงสร้างของยา GS ก่อนการทดสอบ UV-Visible spectroscopy ที่ความยาวคลื่น 400 nm ผลการทดสอบแสดงดังภาพที่ 4.7



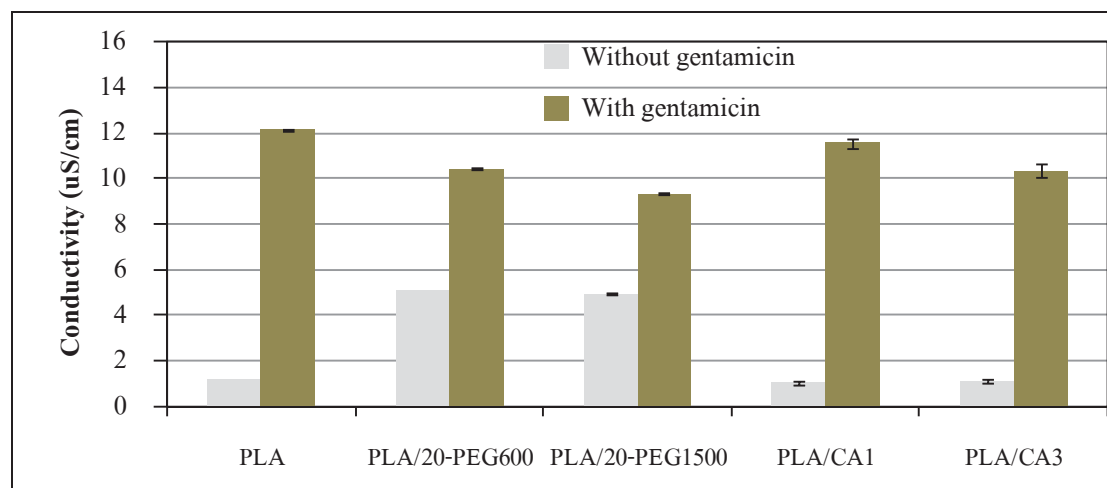
ภาพที่ 4.7 เปอร์เซ็นต์การปลดปล่อยยา GS ของแผ่นเส้นใย PLA/GS, PLA/20-PEG1500/GS, PLA/20 PEG600/GS, PLA/CA1/GS และ PLA/CA3/GS

การเติมยา GS ร่วมกับการผสม PEG และ CA ในแผ่นเส้นใย PLA ทำให้เกิด burst release แตกต่างกันอย่างชัดเจน (Burst release คือการปลดปล่อยยาจำนวนมากในช่วงเวลาเริ่มต้น) และแสดงในตารางที่ 4.1 ซึ่งการเกิด burst release ของยา GS เกิดจากการเคลื่อนตัวของยาไปยังผิวของเส้นใยในขณะปั๊นเส้นใยด้วยไฟฟ้าสถิตย์ เนื่องจากยา GS เป็นยาที่มีชั้วสูง ส่งผลทำให้สารละลายน้ำมีค่าการนำไฟฟ้าสูงขึ้น และในภาพที่ 4.8 และให้ยา GS เคลื่อนตัวมาอยัง

บริเวณผิวของเส้นใย ทำให้โนมเลกุลของยา GS ที่อยู่บริเวณผิวของเส้นใยละลายออกมากในปริมาณมาก [54]

ตารางที่ 4.1 การเกิด burst release ของแผ่นเส้นใย PLA/GS, PLA/20-PEG1500/GS, PLA/20-PEG600/GS, PLA/CA1/GS และ PLA/CA3/GS

ตัวอย่าง	Burst release	
	%การปลดปล่อยยาสะสม	ช่วงเวลา (ชม.)
PLA	18.03	5.5
PLA/20 PEG600/GS	16.27	2.5
PLA/20 PEG1500/GS	21.78	5.5
PLA/CA1/GS	38.48	5.5
PLA/CA3/GS	41.78	5.5



ภาพที่ 4.8 กราฟการนำไฟฟ้าของสารละลาย PLA, PLA/20-PEG600, PLA/20-PEG1500, PLA/CA1 และ PLA/CA3 ที่มีและไม่มีการเติมยา GS

การทดสอบการปลดปล่อยยาในภาพที่ 4.7 พบว่า แผ่นเส้นใย PLA/20-PEG600/GS เกิด burst release น้อยที่สุดในช่วงเวลาที่อยู่ที่สุดด้วย แสดงในตารางที่ 4.1 เนื่องจาก การผสม PEG600 มีลักษณะเป็นของเหลวทำให้ยา GS อยู่ในแผ่นเส้นใย PLA ได้มากกว่าการผสม PEG1500 ที่เป็นของแข็ง รวมถึงสามารถเข้ากันได้ดีกว่าการผสม CA ด้วย ซึ่งการที่ PEG กับยา GS สามารถเข้ากันได้ดี เนื่องจากความมีชี้วัดที่เหมือนกัน และโครงสร้างโนมเลกุลของ PEG มีหมู่ -OH

ในปริมาณมากที่สามารถเข้ากันหมู่  $-OH$  ของยา GS ได้ ส่งผลให้เกิด burst release ลดลง แต่ถ้าหากวิเคราะห์จากค่าการนำไฟฟ้าของสารละลายน้ำมีการเติมยา GS ในภาพที่ 4.8 พบว่าค่าการนำไฟฟ้าของสารละลาย PLA/CA3/GS มีค่าน้อยกว่าสารละลาย PLA/GS และ PLA/CA1 แสดงว่า ยา GS เคลื่อนตัวมาบังบริเวณผิวดองเส้นไขได้น้อยในขณะปั๊มเส้นไขด้วยไฟฟ้าสถิตย์ แต่กลับเกิด burst release สูงสุด เพราะคุณสมบัติความเป็นเยื่อกรึงผ่านของ CA [66] ทำให้น้ำ (น้ำเป็นส่วนประกอบหลักของสารละลายบัฟเฟอร์ฟอสเฟต pH 7.4) สามารถแทรกผ่าน CA เข้าไปในเส้นไข PLA/CA3/GS และละลายยา GS ออกมากอย่างรวดเร็ว ส่งผลให้มีปรอร์เซ็นต์การปลดปล่อยยาสูงสุดด้วย แสดงในภาพที่ 4.7 ส่วนแผ่นเส้นไข PLA/20 PEG600 มีปลดปล่อยยาได้น้อยกว่าแผ่นเส้นไข PLA/CA3/GS และ PLA/CA1/GS แต่มากกว่าแผ่นเส้นไข PLA/20 PEG1500 และ PLA/GS เพราะยา GS เข้ากัน PEG600 ได้ดี เนื่องจากความมีข้อที่เหมือนกัน และมีหมู่  $-OH$  ในปริมาณมากที่ทำให้โครงสร้างของยา GS เข้ากัน PEG ได้ จึงส่งผลให้เส้นไข PLA/20 PEG600/GS มียา GS อยู่ภายในแผ่นเส้นไขมากกว่าแผ่นเส้นไข PLA/CA3/GS และ PLA/CA1/GS ยา GS จึงละลายออกมากพร้อมกับ PEG600 ได้ช้า และการที่ PEG600 มีลักษณะเป็นของเหลว ทำให้ละลายน้ำได้ดี ส่งผลให้แผ่นเส้นไข PLA/20 PEG600/GS มีการปลดปล่อยยาที่สูงกว่าแผ่นเส้นไข PLA/20 PEG1500/GS (PEG1500 มีลักษณะเป็นของแข็ง)

จากการทดลองทำให้ทราบว่าแผ่นเส้นไข PLA/CA3/GS มีการปลดปล่อยยาสูงสุดที่ประมาณ 51.43 % และแผ่นเส้นไข PLA/GS มีการปลดปล่อยยาต่ำสุดที่ประมาณ 26.22% ดังนั้นเพื่อให้ทราบความสามารถในการยับยั้งแบคทีเรีย จะมีการทดสอบความสามารถในการยับยั้งเชื้อแบคทีเรียจากแผ่นเส้นไข PLA, PLA ผสม PEG และ PLA ผสม CA ที่มีและไม่มีการเติมยา GS ด้วยวิธี Disc diffusion method ซึ่งวิธีที่ใช้กันอย่างแพร่หลายมากที่สุด และเป็นการทดสอบเชิงคุณภาพเท่านั้น ไม่อาจทราบค่าความเข้มข้นต่ำสุดที่มีฤทธิ์ยับยั้งการเจริญเติบโต หรือค่าความเข้มข้นต่ำสุดที่มีฤทธิ์ฆ่าเชื้อแบคทีเรียได้ [67] โดยตัดแผ่นเส้นไขให้มีลักษณะเป็นวงกลม และวางแผ่นเส้นไขในจานเพาะเชื้อที่มีแบคทีเรียที่ต้องการศึกษา และหา Clear zone หรือบริเวณใสๆ ที่แสดงถึงความสามารถในการยับยั้งเชื้อแบคทีเรียของแผ่นเส้นไขที่นำมาทดสอบ

งานวิจัยนี้ได้ศึกษาเชื้อแบคทีเรีย 2 ชนิดคือ อะโอดโนนาสเออรูจิโนซ่า (*P. aeruginosa*; gram-negative) เป็นตัวแทนเชื้อแบคทีเรียชนิดแกรมลบ และสเตรปโตโคคีอิกัสโซเรียส (*S. aureus*; gram-positive) เป็นตัวแทนเชื้อแบคทีเรียชนิดแกรมบวก ผลการทดสอบการต้านเชื้อแบคทีเรียแสดงดังตารางที่ 4.2

จากค่า Clear zone ในตารางที่ 4.2 เป็นการวัดขนาดเส้นผ่านศูนย์กลางเฉลี่ยที่ขยายตัวเพิ่มขึ้นจากแผ่นเส้นไขที่ใช้ในการทดสอบ พบว่า แผ่นเส้นไข PLA, PLA/20-PEG600,

PLA/20 PEG1500, PLA/CA1 และ PLA/CA3 ที่ไม่มีการเติมยา GS จะไม่สามารถยับยั้งเชื้อแบคทีเรีย *P.aeruginosa* และ *S.aureus* ได้ เมื่อจากพอลิเมอร์ PLA, PLA ผสม PEG และ PLA ผสม CA ไม่มีฤทธิ์ในการยับยั้งเชื้อแบคทีเรีย จึงทำให้ไม่มีบริเวณ Clear zone เกิดขึ้น

ตารางที่ 4.2 Clear zone ของแผ่นเส้นใย PLA, PLA ผสม PEG และ PLA ผสม CA ที่เติมและไม่เติมยา GS

ชื่อตัวอย่าง	เส้นผ่านศูนย์กลางเฉลี่ยของ Clear zone (mm)					
	Pseudomonas Aeruginosa			Staphylococcus Aureus		
	24 Hr.	48 Hr.	72 Hr.	24 Hr.	48 Hr.	72 Hr.
PLA	-	-	-	-	-	-
PLA/GS	-	-	-	9.66±0.50	9.34±0.71	8.89±0.60
PLA/20 PEG600	-	-	-	-	-	-
PLA/20 PEG600/GS	6.00±0.00	5.00±0.00	5.00±0.00	10.78±0.67	10.89±0.60	10.33±0.71
PLA/20 PEG1500	-	-	-	-	-	-
PLA/20 PEG1500/GS	-	-	-	10.00±0.00	10.00±0.00	9.67±0.50
PLA/CA1	-	-	-	-	-	-
PLA/CA1/GS	-	-	-	9.78±1.41	9.78±0.67	9.33±1.00
PLA/CA3	-	-	-	-	-	-
PLA/CA3/GS	8.33±0.50	7.78±0.67	7.33±0.50	11.11±0.60	10.78±0.67	10.45±0.53

\* (-) คือไม่เกิดการยับยั้ง

\*\* ตัวอย่างที่ใช้ในการทดสอบมีเส้นผ่านศูนย์กลางขนาด 5 มิลลิเมตร

ตารางที่ 4.3 Clear zone diameter ของยาในกลุ่ม Aminoglycosides ต่อการต้านแบคทีเรีย [68]

Aminoglycosides	Zone diameter (mm)		
	Resistance	Intermediated susceptibility	Susceptibility
Amikacin	< 14	15-16	> 17
Gentamicin (GS)	< 12	13-14	> 15
Kanamycin	<13	14-17	>18
Netilmycin	<12	13-14	>15
Streptomycin	<11	12-14	>15
Tobramycin	<12	13-14	>15

เมื่อพิจารณาตามมาตรฐานที่ใช้เปรียบเทียบในตารางที่ 4.3 กับค่า Clear zone ที่ได้จากการทดสอบในตารางที่ 4.2 พบร้า แผ่นเส้นใย PLA/GS, PLA/20-PEG600/GS, PLA/20-PEG1500/GS, PLA/CA1/GS และ PLA/CA3/GS ที่มีการเติมยา จะจัดอยู่ในกลุ่มไม่ไวต่อการยับยั้งเชื้อแบคทีเรีย (Resistant) และสามารถยับยั้งเชื้อแบคทีเรีย *S. aureus* ได้ แต่แผ่นเส้นใย PLA/20-PEG600/GS และ PLA/CA3/GS เท่านั้น ที่สามารถยับยั้งเชื้อแบคทีเรีย *P. aeruginosa* ได้ และมี Clear zone ที่เกิดขึ้นแสดงในภาพที่ 4.9 และ 4.10

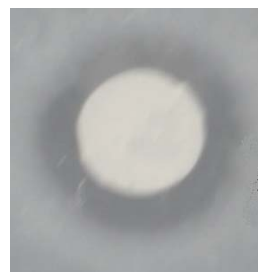


Pseudomonas Aeruginosa



Staphylococcus Aureus

ภาพที่ 4.9 Clear zone ที่เกิดจากแบคทีเรีย *P.aeruginosa* และ *S.aureus* ของแผ่นเส้นใย PLA/20-PEG600/GS



Pseudomonas Aeruginosa



Staphylococcus Aureus

ภาพที่ 4.10 Clear zone ที่เกิดจากแบคทีเรีย *P.aeruginosa* และ *S.aureus* ของแผ่นเส้นใย PLA/CA3/GS

ตารางที่ 4.4 อัตราส่วนสารละลายน้ำกของพอลิเมอร์เมื่อเติมยา GS 0.1 wt.% ของสารละลายน้ำกของพอลิเมอร์ทั้งหมด

ชื่อตัวอย่าง	อัตราส่วนโดยน้ำหนักของพอลิเมอร์ทั้งหมดต่อยา GS		
	PLA:GS	PLA/PEG:GS	PLA/CA:GS
PLA/GS	100:1	-	-
PLA/20 PEG600/GS	-	125:1	-
PLA/20 PEG1500/GS	-	125:1	-
PLA/CA1/GS	-	-	101:1
PLA/CA3/GS	-	-	103:1

จากการเติมยา GS ที่ 0.1 wt.% ของสารละลายน้ำกของพอลิเมอร์ทั้งหมด ทำให้ยา GS อยู่ในเนื้อพอลิเมอร์ที่ไม่เท่ากัน แสดงในตารางที่ 4.4 พบว่า ปริมาณยาที่อยู่ภายในเนื้อพอลิเมอร์จากมากสุดไปจนถึงน้อยสุดได้ดังนี้ PLA/GS > PLA/CA1/GS > PLA/CA3/GS > PLA/20 PEG600/GS หรือ PLA/20 PEG1500/GS เนื่องจาก สารละลายน้ำกของพอลิเมอร์ที่มีเนื้อพอลิเมอร์อยู่น้อยจะต้องมียาในเนื้อพอลิเมอร์ที่มาก และมากกว่าสารละลายน้ำกของพอลิเมอร์ที่มีเนื้อพอลิเมอร์อยู่มาก ดังนั้น จากราฟเปอร์เซ็นต์การปอดปล่อยยาในภาพที่ 4.7 และ Clear zone ในตารางที่ 4.2 แผ่นเส้นไย PLA/GS จะต้องมีการปอดปล่อยยาและการขับยึงแบคทีเรียได้สูงสุด แต่ไม่เป็นเช่นนั้น เนื่องจากยา GS เข้ากับ PLA ได้ไม่ดีนัก ยา GS จึงอาจอยู่ในแผ่นเส้นไย PLA/GS น้อยกว่าในสารละลายน้ำก PLA/GS ทำให้แผ่นเส้นไย PLA/GS มีการปอดปล่อยยาและการขับยึงแบคทีเรียน้อยสุด เมื่อสังเกตเวลาการปอดปล่อยยาและการขับยึงแบคทีเรียที่ 24 ชั่วโมงเป็นต้นไปของแผ่นเส้นไย PLA/GS พบว่า แผ่นเส้นไย PLA/GS ไม่มีการปอดปล่อยยาเพิ่มขึ้นแต่สามารถขับยึงเชื้อแบคทีเรีย *S. aureus* ได้เท่านั้น เพราะว่าการปอดปล่อยยาตั้งแต่เริ่มต้นจนถึง 24 ชั่วโมง มีปริมาณยาสะสมในปริมาณที่เพียงพอต่อการขับยึงเชื้อแบคทีเรีย *S. aureus* ได้ แต่ไม่เพียงพอที่จะขับยึงเชื้อแบคทีเรีย *P. aeruginosa* ส่วนแผ่นเส้นไย PLA/CA3/GS มีเปอร์เซ็นต์การปอดปล่อยยาสูงสุด และยังสามารถต้านเชื้อแบคทีเรียที่ใช้ในทดสอบทั้งสองชนิดได้สูงสุดด้วย แต่ในขณะที่แผ่นเส้นไย PLA/CA1/GS น่าจะมีปริมาณยามากกว่าแผ่นเส้นไย PLA/CA3/GS กลับมีเปอร์เซ็นต์การปอดปล่อยยาที่น้อยกว่าแผ่นเส้นไย PLA/CA3/GS เพราะการผสม CA เข้ากับ PLA ที่มากขึ้น ทำให้ยา GS อยู่ในแผ่นเส้นไยได้มากขึ้น และคุณสมบัติการเป็นเยื่อถังผ่านของ CA ทำให้น้ำสามารถเข้าไปในเส้นไย PLA/CA3/GS ได้มากกว่า ทำให้แผ่นเส้นไย PLA/CA3/GS มีการปอดปล่อยยาและการขับยึงเชื้อแบคทีเรียสูงกว่าแผ่นเส้นไย PLA/CA1/GS เมื่อสังเกตช่วงเวลาการปอดปล่อยยาและการขับยึงแบคทีเรียที่ 24 ชั่วโมงเป็น

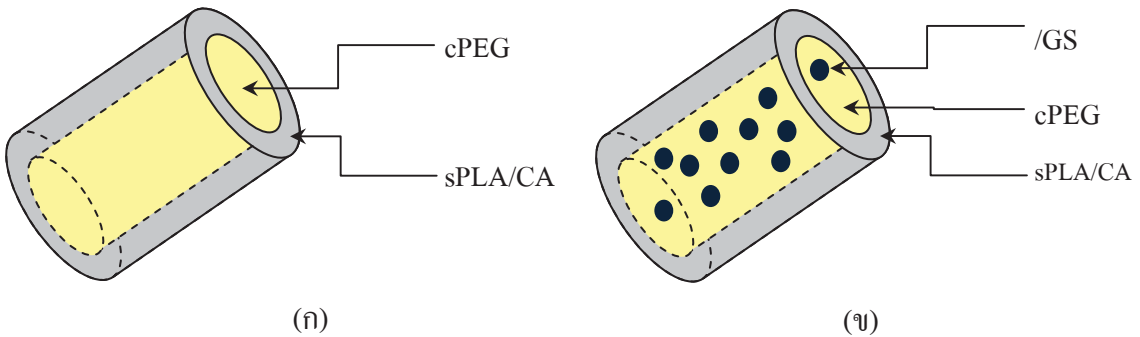
ต้นไปของแผ่นเส้นไย PLA/CA3/GS และ PLA/CA1/GS พบว่า การที่แผ่นเส้นไย PLA/CA3/GS เกิด burst release สูงสุด ทำให้ยา GS สะสมอยู่มากและมีความเข้มข้นมากพอที่จะสามารถยับยั้งเชื้อแบคทีเรียที่ใช้ในการทดสอบห้องส่องชนิดได้ แต่ในแผ่นเส้นไย PLA/CA1/GS ไม่สามารถยับยั้งเชื้อแบคทีเรีย *P. aeruginosa* เพราะความเข้มข้นของยาในขณะเกิด burst release มีความเข้มข้นน้อย แผ่นเส้นไย PLA/CA1/GS จึงยับยั้งเชื้อแบคทีเรีย *S. aureus* ได้เพียงชนิดเดียว ส่วนแผ่นเส้นไย PLA/20 PEG600/GS และ PLA/20 PEG1500/GS พบว่ามีเปอร์เซ็นต์การปลดปล่อยยาที่ไม่สูงมากนัก อยู่ และหลังจากการเกิด burst release เส้นไยจะมีเปอร์เซ็นต์การปลดปล่อยยาค่อนข้างต่ำ แต่เมื่อเพิ่มชั้นอ่อนย่างช้าๆ และคงที่ไม่เพิ่มชั้น เนื่องจาก PEG ที่เติมเข้าไป ทำให้ยา GS เข้าไปอยู่ภายในเส้นใยมากขึ้น และช่วยควบคุมการปลดปล่อยยา ทำให้การปลดปล่อยยาเพิ่มขึ้นอย่างช้าๆ

ในการทดสอบการปลดปล่อยยา GS จากเส้นไยที่มีการผสม PEG และ CA ที่ได้จากการปั่นเส้นไยด้วยไฟฟ้าสถิตย์แบบง่าย พบว่า การผสม PEG สามารถควบคุมการปลดปล่อยยาได้ และเข้ากับยา GS ได้ดีกว่าการผสม CA แต่การผสม PEG และ CA ไม่สามารถควบคุมการเกิด burst release ได้ ทำให้การปลดปล่อยยา GS ในช่วงแรกเกิด burst release อีกทั้งยังทำให้ยา GS ปลดปล่อยออกจากรากเส้นไยต่ำกว่า 60% ดังนั้น เพื่อควบคุมการปลดปล่อยยา GS และทำให้เปอร์เซ็นต์การปลดปล่อยยาสูงกว่า 60% จะออกแบบแผ่นเส้นไยให้ CA กับ PLA เป็นตัวห่อหุ้มแกนในเส้นไยที่มียา GS อยู่ภายในเส้นไย เพื่อใช้ควบคุมการปลดปล่อยยา และให้ PEG กับยา GS เป็นแกนในของเส้นไย โดยใช้วิธีการปั่นเส้นไยด้วยไฟฟ้าสถิตย์แบบร่วมแกน

#### 4.2 การศึกษาแผ่นเส้นไย sPLA/CA-cPEG ที่ได้จากการปั่นเส้นไยด้วยไฟฟ้าสถิตย์แบบร่วมแกน

##### 4.2.1 การเตรียมเส้นไย sPLA/CA-cPEG

การปั่นเส้นไยด้วยไฟฟ้าสถิตย์แบบร่วมแกนจะต้องคำนึงถึงปัจจัยต่างๆ เช่น ความเข้มข้นของสารละลาย ความต่างศักย์ไฟฟ้า ระยะทางระหว่างปลายเข็ม โลหะถึงวัสดุรองรับ ขนาดเส้นผ่าศูนย์กลางภายในของเข็มโลหะ แต่งานวิจัยนี้จะเน้นศึกษาปัจจัยในด้านความต่างศักย์ไฟฟ้า และอัตราการไหลของสารละลายในส่วนแกนในปีนหลัก และ ควบคุมความเข้มข้นของสารละลายที่ใช้เป็นแกนในอัตราการไหลของสารละลายที่ใช้เป็นตัวห่อหุ้ม และระยะทางระหว่างปลายเข็ม โลหะถึงวัสดุรองรับให้คงที่ โดยใช้ความเข้มข้นของสารละลายที่ใช้เป็นแกนใน 10 g ต่อน้ำ 3 ml อัตราการไหลของสารละลายที่ใช้เป็นตัวห่อหุ้ม 1 ml/hr และระยะทางระหว่างปลายเข็ม โลหะถึงวัสดุรองรับ 18 cm ตามลำดับ



ภาพที่ 4.11 แบบจำลองลักษณะเส้นใยแบบร่วมแกน ก) ไม่มีการเติม ข) มีการเติมยา GS

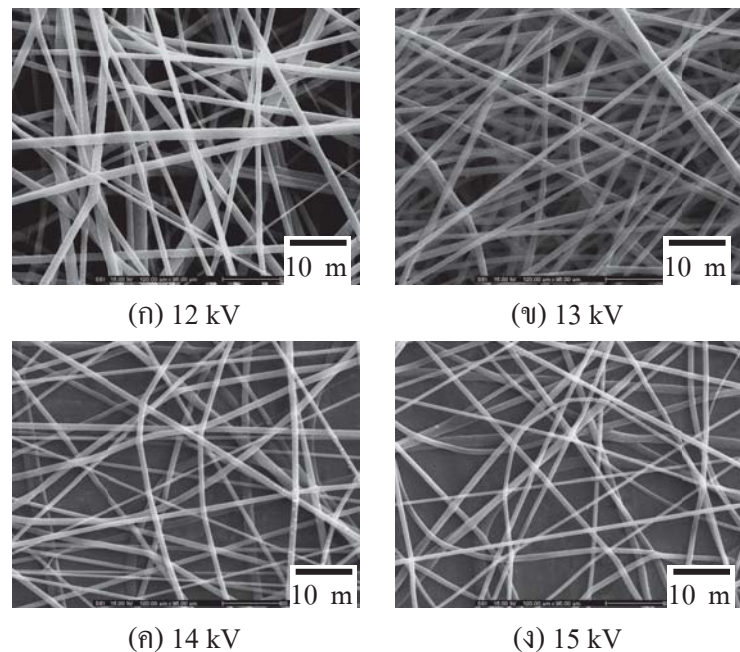
เพื่อให้เข้าใจถึงตำแหน่งของพอลิเมอร์และยาของเส้นใยแบบร่วมแกน งานวิจัยนี้จึงใช้แบบจำลองลักษณะเส้นใยแบบร่วมแกนในภาพที่ 4.11 อธิบายสัญลักษณ์ตัวย่อและรายละเอียดส่วนประกอบต่างๆ ของเส้นใยแบบร่วมแกน โดยใช้ s (Shell) แทนตัวห่อหุ้มเส้นใย นำหน้าตัวย่อพอลิเมอร์ที่ใช้ ซึ่งประกอบไปด้วย PLA หรือ PLA ผสมกับ CA และใช้ c (Core) แทนแกนในเส้นใย นำหน้าตัวย่อพอลิเมอร์หรือตัวยาที่ใช้ ซึ่งประกอบไปด้วย PEG หรือ PEG ผสมยา GS ตัวอย่างสัญลักษณ์ของเส้นใยที่ใช้ เช่น sPLA-cPEG, sPLA-cPEG/GS เป็นต้น

ในการปั้นเส้นใยด้วยไฟฟ้าสถิตย์แบบง่ายมีการใช้ PEG600 และ PEG1500 ผสมกับ PLA และสามารถปั้นเส้นใยด้วยไฟฟ้าสถิตย์แบบง่ายได้ แต่ในการปั้นเส้นใยด้วยไฟฟ้าสถิตย์แบบร่วมแกน ไม่สามารถใช้ PEG600 เป็นส่วนแกนในของเส้นใยได้ เนื่องจากในการทดสอบ ไม่พบความต่างศักย์ไฟฟ้า และอัตราการไหลของสารละลายแกนในที่เหมาะสมที่ทำให้ได้เส้นใย ต่อเนื่อง เพราะเกิดการกระเด็นของหยดพอลิเมอร์จากปลายเข็ม โลหะ ไปยังวัสดุรองรับในปริมาณมาก ส่งผลให้แผ่นเส้นใยเกิดจุดชำนาญมาก ดังนั้นจะใช้ PLA1500 เท่านั้นในการศึกษาสมบัติของแผ่นเส้นใยที่ได้จากการปั้นเส้นใยด้วยไฟฟ้าสถิตย์แบบร่วมแกน

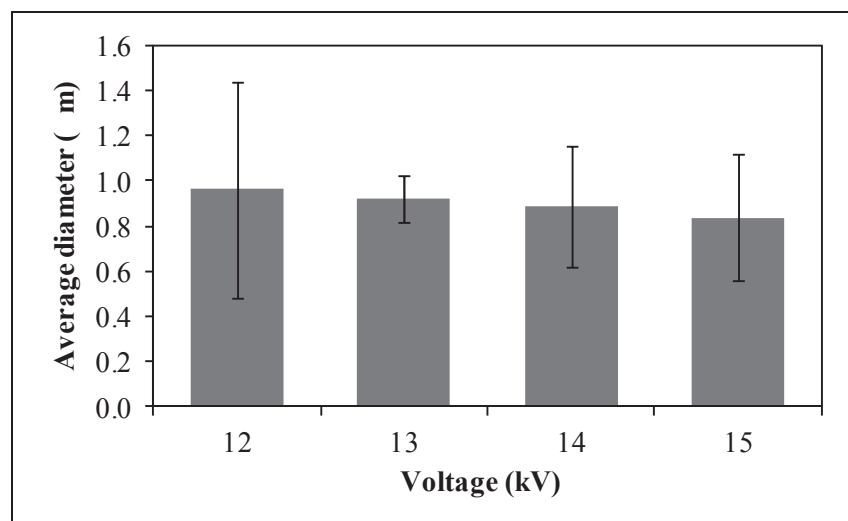
#### 4.2.1.1 ผลของการต่างศักย์ไฟฟ้าต่อสัณฐานวิทยา

จากการที่ 4.12 พบร่วมกัน แสดงในภาพที่ 4.13 เนื่องจากการเพิ่มความต่างศักย์ไฟฟ้า ทำให้เส้นใยแบบร่วมแกนมีขนาดเส้นผ่าศูนย์กลางเฉลี่ยไม่แตกต่างกันมากนัก แต่จะมีการกระจายตัวของขนาดเส้นผ่าศูนย์กลางที่แตกต่างกัน แสดงในภาพที่ 4.13 เนื่องจากการเพิ่มความต่างศักย์ไฟฟ้ามีผลต่อหยดสารละลายพอลิเมอร์ (Tylor cone) ทำให้การยึดตัวออกของหยดสารละลายพอลิเมอร์ไปเป็นลำสารละลายพอลิเมอร์เกิดความไม่สมดุลกัน จึงทำให้เส้นใยแบบร่วมแกนที่มีการกระจายตัวของขนาดเส้นผ่าศูนย์เฉลี่ยแตกต่างกัน จึงพบว่าการใช้ความต่างศักย์ไฟฟ้าที่ 12, 14 และ 15 kV ทำให้การกระจายตัวของขนาดเส้นผ่าศูนย์กลางของเส้นใยมีมาก แต่ที่ความต่างศักย์ไฟฟ้า 13 kV

เป็นความต่างศักย์ไฟฟ้าที่ทำให้สามารถละลายพอลิเมอร์มีขนาดใกล้เคียงกันมากที่สุด จึงทำให้การกระจายตัวของขนาดเส้นผ่าনศูนย์กลางของเส้นใยน้อยที่สุด



ภาพที่ 4.12 SEM micrographs ของเส้นใย sPLA-cPEG ที่ความต่างศักย์ไฟฟ้า ก) 12 ข) 13 ค) 14 และ จ) 15 kV ที่กำลังขยาย 2,000 เท่า

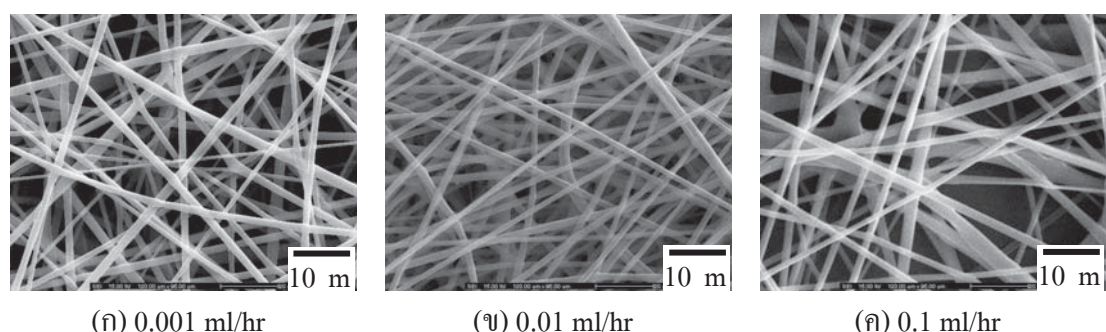


ภาพที่ 4.13 กราฟเส้นผ่านศูนย์กลางเฉลี่ยของเส้นใย sPLA-cPEG ที่ความต่างศักย์ 12, 13, 14 และ 15 kV

จากการทดลองปรับเปลี่ยนความต่างศักย์ไฟฟ้า ทำให้ทราบว่า ความต่างศักย์ไฟฟ้านามาสูมที่สุดคือ 13 kV เนื่องจากทำให้เส้นไยมีการกระจายตัวของเส้นผ่านศูนย์กลางน้อยที่สุด ดังนั้นความต่างศักย์ไฟฟ้าที่ 13 kV จะถูกนำมาปรับใช้ศึกษาอัตราการไหลของสารละลายแกนในต่อสมบัติสัณฐานวิทยาของเส้นไย

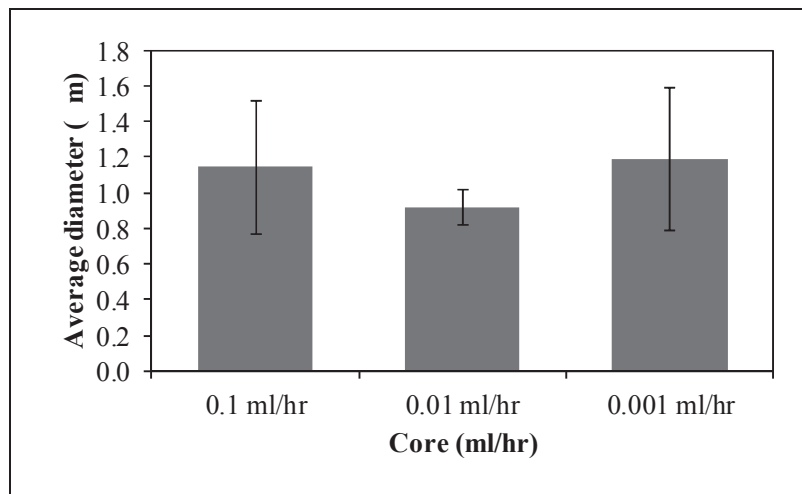
#### 4.2.1.2 ผลของอัตราการไหลของสารละลายที่ใช้เป็นแกนในต่อสัณฐานวิทยา

จากภาพที่ 4.14 การเพิ่มอัตราการไหลของสารละลายแกนในทำให้แผ่นเส้นไยมีการกระจายตัวของขนาดเส้นผ่านศูนย์กลางที่แตกต่างกัน แสดงในภาพที่ 4.15 เนื่องจากอัตราการไหลของสารละลายแกนในที่ปรับเปลี่ยน ส่งผลต่อหยดสารละลายพอดลิเมอร์บริเวณปลายเข็มฉีดยาทั้งด้านในและด้านนอกเกิดความไม่สมดุลกัน หรือเกิดความเสถียรลดลง ทำให้ขนาดเส้นผ่านศูนย์กลางเฉลี่ยของเส้นไยมีความสม่ำเสมอขึ้นอย่าง แต่ถ้าใช้อัตราการไหลของสารละลายแกนในที่เหมาะสม ( $0.01 \text{ ml/hr}$ ) จะทำให้หยดสารละลายพอดลิเมอร์ที่อยู่บริเวณปลายเข็มฉีดยาทั้งด้านในและด้านนอกมีความเสถียรเพิ่มขึ้น เส้นผ่านศูนย์กลางเฉลี่ยของเส้นไยจึงมีขนาดที่สม่ำเสมอมากขึ้น แสดงในภาพที่ 4.15



ภาพที่ 4.14 SEM micrographs ของเส้นไย sPLA-cPEG ที่อัตราการไหลของสารละลายแกนใน ก) 0.001 บ), 0.01 และ ค) 0.1 ml/hr ที่กำลังขยาย 2,000 เท่า

จากการทดลองปรับเปลี่ยนอัตราการไหลของสารละลายที่ใช้เป็นแกนในพบว่า อัตราการไหลที่  $0.01 \text{ ml/hr}$  เป็นอัตราการไหลที่เหมาะสมที่สุด เนื่องจากทำให้เส้นผ่านศูนย์กลางเฉลี่ยของเส้นไยมีความสม่ำเสมอมากที่สุด ดังนั้นการปั้นเส้นไยด้วยไฟฟ้าสถิตย์แบบร่วมแกนที่สามารถทำให้ได้เส้นผ่านศูนย์กลางเฉลี่ยของเส้นไยมีความสม่ำเสมอ มีสภาวะดังนี้ อัตราการไหลของตัวห่อหุ้มเส้นไยที่  $1 \text{ ml/hr}$ , อัตราการไหลของแกนใน  $0.01 \text{ ml/hr}$ , ความต่างศักย์ไฟฟ้า  $13 \text{ kV}$  และระยะห่างระหว่างปลายเข็มถึงวัสดุรองรับ  $18 \text{ cm}$  ดังนี้ สภาวะนี้จะมีการนำไปใช้ในการปั้นเส้นไยด้วยไฟฟ้าสถิตย์แบบร่วมแกนต่อไป

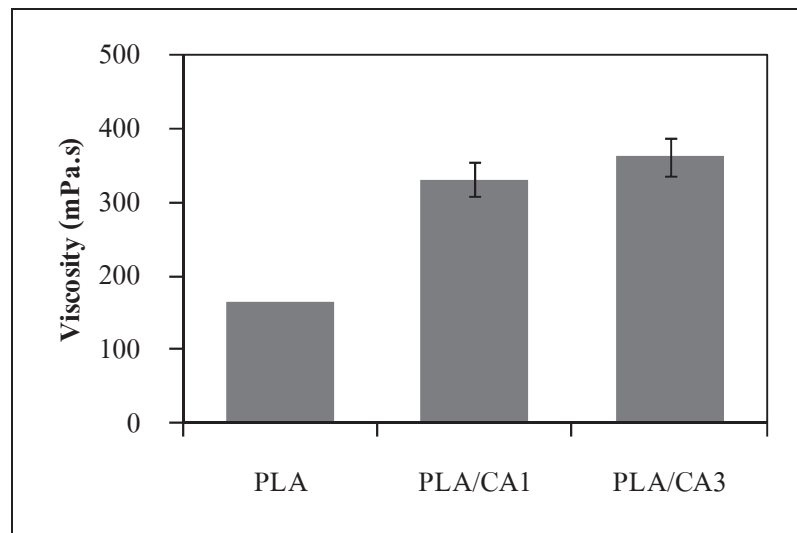


ภาพที่ 4.15 กราฟเส้นผ่านศูนย์กลางเฉลี่ยของเส้นใยเส้นไข sPLA-cPEG ที่อัตราการไหลของแกนใน 0.001, 0.01 และ 0.1 ml/hr

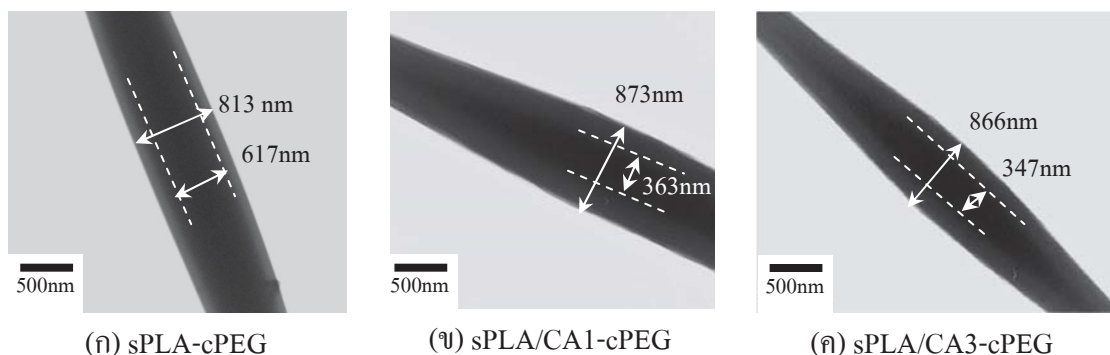
#### 4.2.1.3 ผลของปริมาณ CA ต่อสัณฐานวิทยา

การเติม CA ผสมกับ PLA เพื่อใช้เป็นตัวห่อหุ้มเส้นใยในระบบการปั้นเส้นไขด้ายไฟฟ้าสถิตย์แบบร่วมแกน มีผลต่อความหนืดของสารละลายพอลิเมอร์ ทำให้ความหนืดของสารละลายพอลิเมอร์มีค่าเพิ่มขึ้น เมื่อปริมาณ CA เพิ่มขึ้น แสดงในภาพที่ 4.16 ส่งผลให้ตัวห่อหุ้มเส้นไขมีความหนาเพิ่มขึ้น แสดงในภาพที่ 4.17 ซึ่งเห็นได้ชัดเจนว่าเส้นไข sPLA-cPEG ภาพที่ 4.17(ก) มีความหนาของตัวห่อหุ้มเส้นไขที่บางกว่าเส้นไข sPLA/CA1-cPEG ภาพที่ 4.17(ข) และเส้นไข sPLA/CA3-cPEG ภาพที่ 4.17(ค) เนื่องจากความหนืดที่สูงขึ้นส่งผลให้การขยายตัวของของสารละลายที่ใช้เป็นแกนในเส้นไขทำได้ลดลง อีกทั้งยังส่งผลให้เส้นไขมีการกระจายตัวของขนาดเส้นผ่านศูนย์กลางเฉลี่ยเพิ่มขึ้น แสดงในภาพที่ 4.18 ซึ่งการกระจายตัวของขนาดเส้นผ่านศูนย์กลางเฉลี่ยของเส้นไขที่เพิ่มขึ้นเกิดจากเส้นไขเล็กๆ ที่เพิ่มขึ้น แสดงในภาพที่ 4.19 เนื่องจากหยดสารละลายพอลิเมอร์เกิดคำสารละลายพอลิเมอร์ที่มีลักษณะเป็นเส้นไขเดี่ยวร่วมกับเส้นไขแบบร่วมแกน [69] แสดงแบบจำลองการเกิดเส้นไขเดี่ยวในภาพที่ 4.20 ทำให้แผ่นเส้นไขมีกระจายตัวของขนาดเส้นผ่านศูนย์กลางเฉลี่ยเพิ่มขึ้น

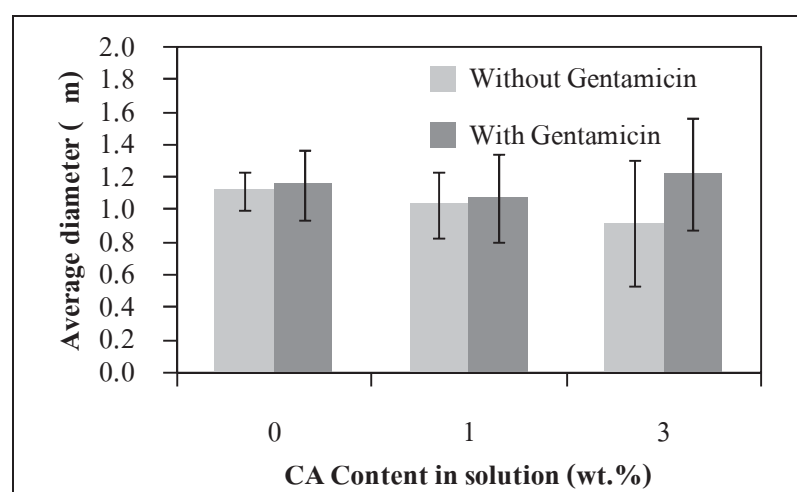
จากการที่ 4.19(ง-จ) พบว่า การใช้ยา GS ผสมร่วมกับ PEG เพื่อเป็นแกนในของเส้นไขไม่ส่งผลให้ลักษณะภายนอกของเส้นไขเกิดแตกต่างไปจากเส้นไขที่ไม่ได้เติมยา ในภาพที่ 4.19(ก-ก) เนื่องจากการผสมยา GS เข้าไป PEG ไม่ส่งผลให้ความหนืดเกิดการเปลี่ยนแปลง



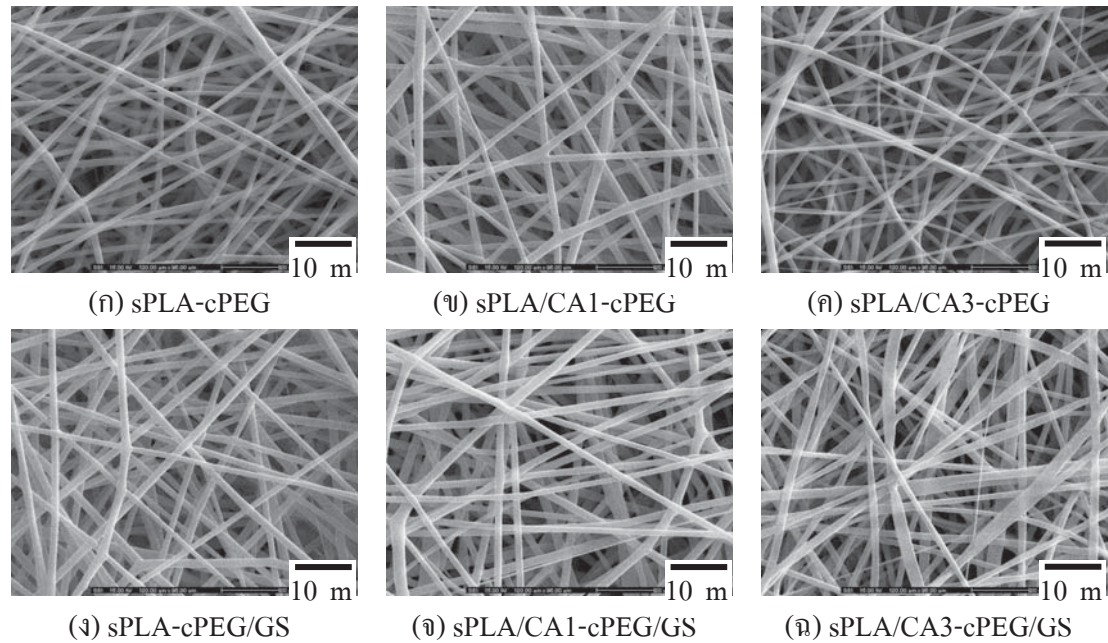
ภาพที่ 4.16 กราฟความหนืดของสารละลายน้ำ PLA, PLA/CA1 และ PLA/CA3



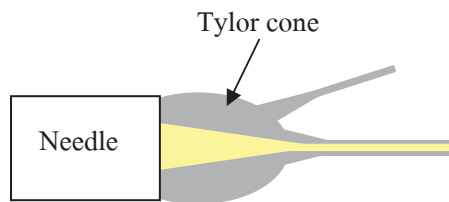
ภาพที่ 4.17 TEM micrographs ของเส้นใยแบบร่วมแกน sPLA-cPEG, sPLA/CA1-cPEG และ sPLA/CA3-cPEG ที่กำลังขยาย 30,000 เท่า



ภาพที่ 4.18 กราฟเส้นผ่านศูนย์กลางเฉลี่ยของเส้นใยแบบร่วมแกนที่มีและไม่มีการเติมยา GS



ภาพที่ 4.19 SEM micrographs ของเส้นใยแบบร่วมแกน sPLA-cPEG และ sPLA/CA-cPEG ที่เติม และไม่เติมยา GS ที่กำลังขยาย 2,000 เท่า



ภาพที่ 4.20 แบบจำลองลักษณะการเกิดเส้นใยเดี่ยวขณะปั่นเส้นโดยวิธีไฟฟ้าสถิตย์แบบร่วมแกน

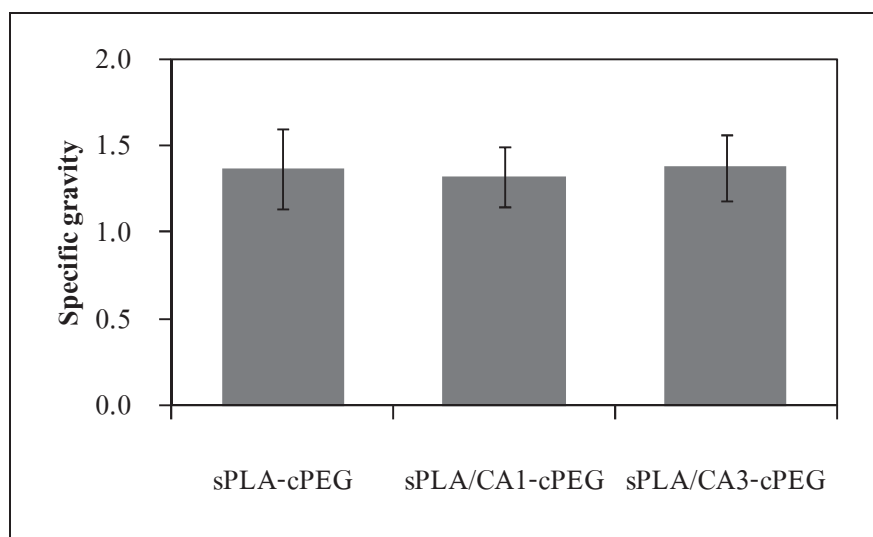
## 4.2.2 สมบัติของเส้นใย sPLA/CA-cPEG

### 4.2.2.1 ปริมาณ CA ที่ใช้เป็นตัวห่อหุ้มเส้นใยต่อสมบัติเชิงกล

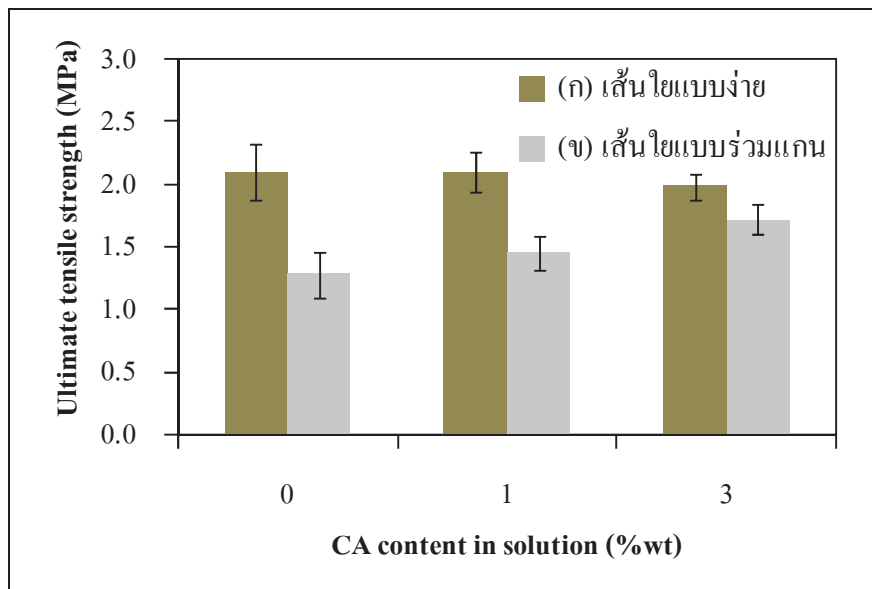
การทดสอบสมบัติเชิงกลของแผ่นเส้น sPLA-cPEG, sPLA/CA1-cPEG และ sPLA/CA3-cPEG จะมีการนำค่าความถ่วงจำเพาะของแผ่นเส้นใยในแต่ละแผ่นมา Normalize ค่าที่ได้จากการทดสอบสมบัติเชิงกล เช่นเดียวกับการทดสอบเชิงกลของแผ่นเส้นใยแบบง่าย รายละเอียดค่าความถ่วงจำเพาะแสดงในภาพที่ 4.21 และผลการทดสอบสมบัติเชิงกลของแผ่นเส้นใย sPLA-cPEG, sPLA/CA1-cPEG และ sPLA/CA3-cPEG ที่มีการ Normalize แล้วแสดงในภาพที่ 4.22 และ 4.23 ผลการทดสอบสมบัติเชิงกล พบว่า การผสม CA ที่ปริมาณ 1 และ 3 wt.% ทำให้แผ่นเส้นใย sPLA/CA1-cPEG และ sPLA/CA3-cPEG มีแนวโน้มที่จะมีค่าความต้านทานแรงดึงสูงสุดเพิ่มขึ้น เมื่อเปรียบเทียบกับแผ่นเส้นใย sPLA-cPEG เนื่องจากการเพิ่มปริมาณ CA ทำให้ความ

หนึ่ดของสารละลายที่ใช้เป็นตัวห่อหุ้มสูงขึ้น แสดงในภาพที่ 4.16 ส่งผลให้เส้นใย sPLA/CA3-cPEG และเส้นใย sPLA/CA1-cPEG มีความหนาในส่วนที่ใช้ห่อหุ้มแกนมากกว่าเส้นใย sPLA-cPEG แสดงในภาพที่ 4.17 จึงทำให้แผ่นเส้นใย sPLA/CA3-cPEG และแผ่นเส้นใย sPLA/CA1-cPEG มีความแข็งแรงมากกว่าแผ่นเส้นใย sPLA-cPEG และส่งผลให้ค่ามอคูลัสแรงดึงมีแนวโน้มลดลง แสดงในภาพที่ 4.23 ส่วน PEG ที่ใช้เป็นแกนในของเส้นใยไม่ว่าจะมีขนาดแกนใหญ่ขึ้น หรือเล็กลง ไม่ทำให้แผ่นเส้นใยมีความแข็งแรงเพิ่มขึ้น เนื่องจาก PEG ที่ใช้มีน้ำหนักโมเลกุลต่ำมาก ดังนั้น CA ที่ใช้เป็นตัวห่อหุ้มเท่านั้นที่ส่งผลต่อสมบัติเชิงกลของแผ่นเส้นใยแบบร่วมแกน

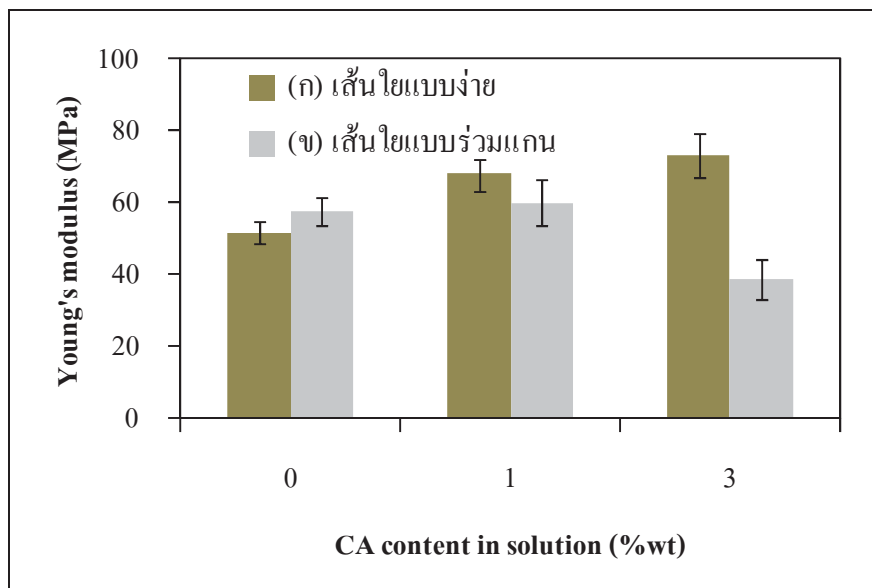
เมื่อเปรียบเทียบความต้านทานแรงดึงสูงสุดของแผ่นเส้นใยแบบง่ายและแบบร่วมแกนในภาพที่ 4.22 พบว่า เมื่อเพิ่มปริมาณ CA ความต้านทานแรงดึงสูงสุดของแผ่นเส้นใยแบบง่ายมีแนวโน้มลดลง แต่ความต้านทานแรงดึงสูงสุดของแผ่นเส้นใยแบบร่วมแกนมีแนวโน้มเพิ่มขึ้น เพราะความต้านทานแรงดึงสูงสุดของแผ่นเส้นใยแบบง่ายขึ้นอยู่กับความเข้ากันได้ระหว่าง PLA กับ CA แต่ในแผ่นเส้นใยแบบร่วมแกนจะขึ้นอยู่กับความหนาของพอลิเมอร์ที่ใช้เป็นตัวห่อหุ้ม ส่วนการเปรียบเทียบค่ามอคูลัสแรงดึงของแผ่นเส้นใยแบบง่ายและแบบร่วมแกนในภาพที่ 4.23 พบว่า การเพิ่มปริมาณ CA ทำให้มอคูลัสแรงดึงในแผ่นเส้นใยแบบร่วมแกนมีแนวโน้มเพิ่มขึ้น (เมื่อผสม CA ไม่เกิน 3 wt.%) แต่มอคูลัสแรงดึงในแผ่นเส้นใยแบบร่วมแกนมีแนวโน้มลดลง ซึ่งเป็นเหตุผลเดียวกับค่าความต้านทานแรงดึงสูงสุดที่ทำให้มอคูลัสแรงดึงของแผ่นเส้นใยแบบง่ายและแบบร่วมแกนเกิดความแตกต่างกัน



ภาพที่ 4.21 กราฟความถ่วงจำพวกของแผ่นเส้นใย PLA, PLA/CA1, PLA/CA3 และ PLA/CA5



ภาพที่ 4.22 กราฟเปรียบเทียบความต้านทานแรงดึงสูงสุดของแผ่นเส้นใย ก) แบบง่าย และ ข) แบบร่วมแกน

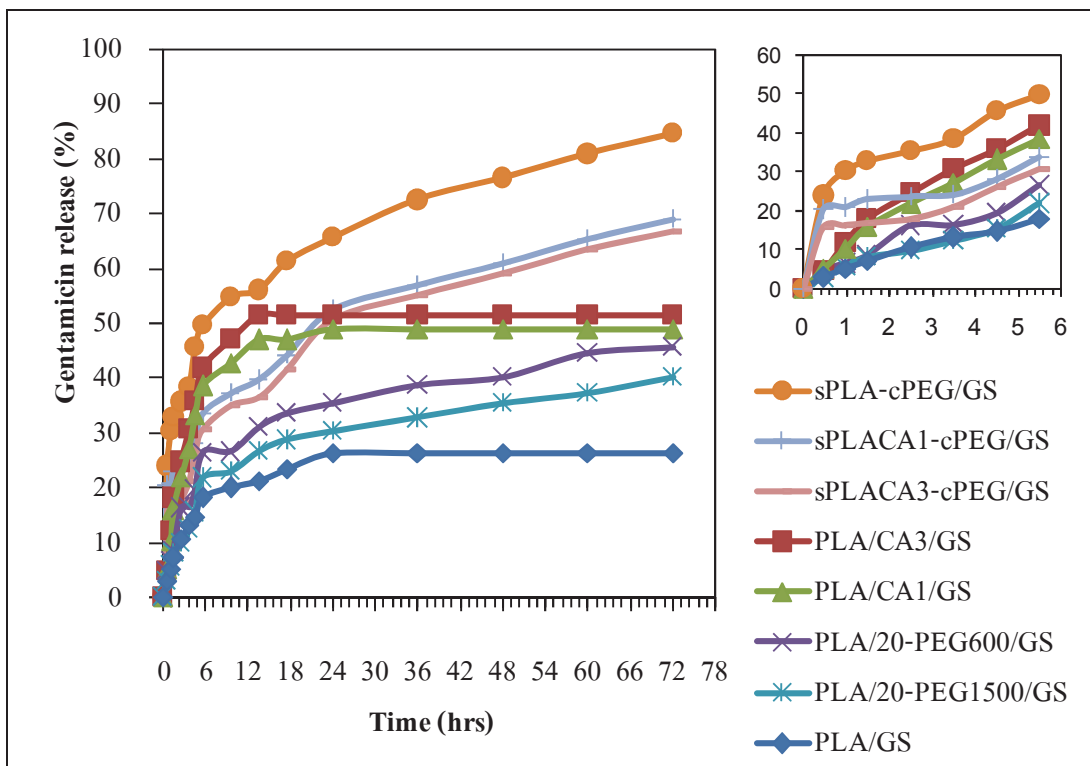


ภาพที่ 4.23 กราฟเปรียบเทียบค่ามอคุลัสแรงดึงของแผ่นเส้นใย ก) แบบง่ายและ ข) แบบร่วมแกน

#### 4.2.2.2 ปริมาณ CA ที่ใช้เป็นตัวห่อหุ้มเส้นใยต่อความสามารถในการทนส่องยาและยับยั้งเชื้อแบคทีเรีย

การปลดปล่อยยาจากเส้นใย sPLA-cPEG/GS, sPLA/CA1-cPEG/GS และ sPLA/CA3-cPEG/GS ใช้สภาวะการทดสอบเหมือนกับการทดสอบการปลดปล่อยยาจากเส้นใยแบบง่าย คือใช้สารละลายบัฟเฟอร์ pH 7.4 ที่อุณหภูมิ 37 °C ด้วยเครื่อง UV-Visible ที่

ความยาวคลื่น 400 nm และใช้ระยะเวลาในการทดสอบไม่เกิน 72 ชั่วโมง ผลการทดสอบการปลดปล่อยยาแสดงดังภาพที่ 4.24



ภาพที่ 4.24 กราฟเปรียบเทียบเปอร์เซ็นต์การปลดปล่อยยา GS ของแผ่นเส้นไขแบบจ่ายและแผ่นเส้นไขแบบร่วมแกน

จากการเปรียบเทียบเปอร์เซ็นต์การปลดปล่อยยา GS ของแผ่นเส้นไขแบบร่วมแกน ในภาพที่ 4.24 พบว่า การปลดปล่อยยา GS ของแผ่นเส้นไข sPLA-cPEG/GS มีเปอร์เซ็นต์การปลดปล่อยยาสูงสุด เนื่องจากตัวห่อหุ้มเส้นไข sPLA-cPEG/GS มีความบางกว่าตัวห่อหุ้มเส้นไข sPLA/CA1-cPEG/GS และเส้นไข sPLA/CA3-cPEG/GS และแสดงดังภาพที่ 4.17 ด้วยเหตุผลนี้ ยา GS จึงแพร่ผ่านส่วนห่อหุ้มเส้นไขได้รวดเร็ว เมื่อพิจารณาเป็นช่วงเวลา พบร่วมกับตัวห่อหุ้มเส้นไข sPLA-cPEG/GS (35.53%), sPLA/CA1-cPEG/GS (23.66%) และ sPLA/CA3-cPEG/GS (17.86%) เนื่องจากความไม่สมบูรณ์ในการห่อหุ้มเส้นไข PEG ผสมยา GS ทำให้ยาบางส่วนหลุดมาอยู่ที่ผิวของเส้นไข และมีความเป็นไปได้ว่าแกนในของเส้นไขเกิดการร้าว ให้ยาหลุดออกของตัวห่อหุ้ม [30] ส่วนช่วงเวลา 2 ชั่วโมงครึ่ง เป็นการเกิด burst release ของแผ่นเส้นไขแบบร่วมแกน sPLA-cPEG/GS, sPLA/CA1-cPEG/GS และ sPLA/CA3-cPEG/GS ที่มีส่วนที่ใช้ห่อหุ้มแกนในที่บางกว่า

เส้นใย sPLA/CA1-cPEG/GS และเส้นใย sPLA/CA3-cPEG/GS ทำให้ยา GS แพร่ผ่านส่วนห่อหุ้มเส้นใยได้รวดเร็ว

เมื่อเปรียบเทียบการปลดปล่อยยาจากแผ่นเส้นใยแบบง่ายและแผ่นเส้นใยแบบร่วมแกนในภาพที่ 4.24 พบว่า แผ่นเส้นใยแบบร่วมแกนสามารถปลดปล่อยยา GS สะสมมากกว่า 60% ในขณะที่แผ่นเส้นใยแบบง่ายไม่สามารถปลดปล่อยยาสะสมมาได้มากกว่า 60% แสดงว่าการปั๊มเส้นใยด้วยไฟฟ้าสถิตย์แบบร่วมแกนสามารถทำให้ยาปลดปล่อยออกมากขึ้น แต่ในแผ่นเส้นใยแบบง่ายไม่สามารถแก้ไขการเกิด burst release ได้ดีเนื่องจากไม่สามารถห่อหุ้มยา GS ที่ผสมร่วมกับ PEG ได้ยังสมบูรณ์ ทำให้ช่วงเวลาเริ่มต้นเกิด burst release เกิดขึ้นเหมือนกับแผ่นเส้นใยแบบง่าย และยังพบอีกว่าแผ่นเส้นใยแบบร่วมแกนสามารถควบคุมการปลดปล่อยยาได้โดยใช้ตัวห่อหุ้มเส้นใย ซึ่งตัวห่อหุ้มเส้นใยที่หนาเพิ่มขึ้นจากที่ได้กล่าวมาแล้วเกิดจากการผสม CA อิกทั้งยังส่งผลให้การเกิด burst release ลดลง เพราะความหนาของตัวห่อหุ้มที่เพิ่มขึ้นส่งผลให้สามารถลดความไม่สมบูรณ์ในการห่อหุ้มยา GS กับ PEG ได้

จากการทดลองทำให้ทราบว่าการเพิ่มปริมาณ CA ในสารละลายน้ำที่ใช้ห่อหุ้มเส้นใย ทำให้สามารถควบคุมการปลดปล่อยยาได้ และยังลดความผิดพลาดที่เกิดจากความไม่สมบูรณ์ในการห่อหุ้มแกนในของเส้นใยได้ด้วย ดังนั้นเพื่อให้ทราบความสามารถในการยับยั้งแบคทีเรีย จะมีการทดสอบความสามารถในการยับยั้งเชื้อแบคทีเรียจากแผ่นเส้นใยแบบร่วมแกนที่มีและไม่มีการเติมยา GS ด้วยวิธี Disc diffusion method เช่นเดียวกับการศึกษาท่อนหน้านี้

ผลการทดสอบหา Clear zone ด้วยวิธี Disc diffusion method ของแบคทีเรีย *P. Aeruginosa* และ *S. Aureus* ของแผ่นเส้นใยแบบร่วมแกนที่มีและไม่มีการเติมยา GS (เส้นใยที่มีการเติมยา sPLA-cPEG/GS, sPLA/CA1-cPEG/GS และ sPLA/CA3-cPEG/GS เส้นใยที่ไม่มีการเติมยา sPLA-cPEG, sPLA/CA1-cPEG และ sPLA/CA3-cPEG) พบว่า ไม่มีแผ่นเส้นใยแบบร่วมแกนชนิดใดเลย ที่มีความสามารถต้านเชื้อแบคทีเรียทั้งสองชนิดได้ ที่เป็นเห็นนี้เพราะว่า แผ่นเส้นใยแบบร่วมแกนที่มียา GS อุญ্জายในเส้นใย มีความเข้มข้นของยา GS ในปริมาณน้อยเกินกว่าที่จะสามารถต้านเชื้อแบคทีเรียได้ และทำให้ทราบว่าบาร์มิยา GS ในแผ่นเส้นใยที่น้อยเกินไป ทำให้แผ่นเส้นใยแบบร่วมแกนไม่สามารถต้านแบคทีเรียได้ ดังนั้นเมื่อเพิ่มปริมาณยา GS จากเดิมที่เตรียมยา GS 3 ml หรือ 120 mg ต่อ PEG1500 10 g เป็นยา GS 7 ml หรือ 280 mg ต่อ PEG1500 10 g แต่ยังคงใช้สภาวะในการปั๊มเส้นใยด้วยไฟฟ้าสถิตย์แบบร่วมแกนเท่าเดิมจะมีการต้านทานเชื้อแบคทีเรียดังตารางที่ 4.5 เมื่อพิจารณามาตรฐานที่ใช้เปรียบเทียบในตารางที่ 4.3 กับค่า Clear zone ที่ได้จากการทดสอบในตารางที่ 4.5 พบว่า แผ่นเส้นใย sPLA-cPEG/GS7, sPLA/CA1-cPEG/GS7

และ sPLA/CA3-cPEG/GS7 จะจัดอยู่ในกลุ่มไม่ไวต่อการขับยั้งเชื้อแบคทีเรีย และสามารถขับยั้งเชื้อแบคทีเรีย *S. aureus* ได้ แต่ยังไม่เพียงพอที่จะทำให้แผ่นเส้นไนแบบร่วมแคนสามารถต้านเชื้อแบคทีเรีย *P.aeruginosa* ได้

ตารางที่ 4.5 Clear zone ของแผ่นเส้นไนแบบร่วมแคนที่มีการเพิ่มปริมาณยา GS

ชื่อตัวอย่าง	เส้นผ่านศูนย์กลางเฉลี่ยของ Clear zone (mm)					
	Pseudomonas Aeruginosa			Staphylococcus Aureus		
	24 Hr.	48 Hr.	72 Hr.	24 Hr.	48 Hr.	72 Hr.
sPLA-cPEG	-	-	-	-	-	-
sPLA-cPEG/GS7	-	-	-	6.66±0.50	6.34±0.71	6.89±0.60
sPLA/CA1-cPEG	-	-	-	-	-	-
sPLA/CA1-cPEG/GS7	-	-	-	5.78±0.67	6.89±0.60	6.33±0.71
sPLA/CA3-cPEG	-	-	-	-	-	-
sPLA/CA3-cPEG/GS7	-	-	-	6.00±0.00	6.67±0.50	6.00±0.00

## บทที่ 5

### สรุปผลการทดลองและข้อเสนอแนะ

#### 5.1 สรุปผลการทดลอง

**5.1.1 ผลการผสม PEG เข้ากับ PLA และการผสม CA เข้ากับ PLA ต่อการปลดปล่อยยา สมบัติเชิงกล และการยึดเกาะ เชือแบนที่เรียของแผ่นเส้นไนเบนจ่าย**

1. การผสม PEG น้ำหนักโมเลกุลต่ำ จะมีปริมาณและเปอร์เซ็นต์การปลดปล่อยยาที่สูงกว่าการผสม PEG น้ำหนักโมเลกุลสูง อีกทั้งยังสามารถยึดเกาะ เชือแบนที่เรีย S. Aureus ได้ดีกว่าด้วย

2. การเพิ่มปริมาณ CA ไม่เกิน 3 wt.% ส่งผลให้มอคูลัสแรงดึงมีค่าเพิ่มขึ้น เมื่อจาก CA สามารถเข้ากับ PLA ได้บางส่วน แต่ถ้าผสม CA มากกว่า 3 wt.% ส่งผลให้ค่ามอคูลัสแรงดึงมีแนวโน้มลดลง เมื่อจาก PLA กับ CA มีความเข้ากันได้ในระดับโมเลกุลลดลง และการเพิ่มปริมาณ CA ส่งผลให้ความต้านทานแรงดึงสูงสุดลดลง

3. การเพิ่มปริมาณ CA ส่งผลให้แผ่นไนเบน burst release มากขึ้น และมีเปอร์เซ็นต์การปลดปล่อยยา GS สูงขึ้น อีกทั้งยังสามารถด้านเชือแบนที่เรีย S. Aureus ได้

**5.1.2 ผลการปรับเปลี่ยนสภาพและการผสม CA เข้ากับ PLA เพื่อใช้ห่อหุ้มเส้นไน PEG ผสมยา GS ต่อลักษณะสัณฐานวิทยา สมบัติเชิงกล และการปลดปล่อยยาของแผ่นเส้นไนเบนร่วมกัน**

1. ความต่างศักย์ไฟฟ้าที่ 12, 14 และ 15 kV ส่งผลต่อการกระจายตัวของขนาดเส้นผ่าศูนย์กลางเฉลี่ยของเส้นไน แต่ไม่ส่งผลให้ขนาดเส้นผ่าศูนย์กลางเกิดความแตกต่างมากนัก ส่วนความต่างศักย์ไฟฟ้าที่เหมาะสมที่ 13 kV จะทำให้การกระจายตัวของขนาดเส้นผ่าศูนย์กลางเฉลี่ยของเส้นไนลดลง ในขณะที่การปรับเปลี่ยนอัตราการไหลของสารละลายที่ใช้เป็นแกนในกีฬาเด้งผล เช่นเดียวกัน คือ การใช้อัตราการไหลที่ 0.001 และ 0.1 ml/hr ส่งผลให้ขนาดเส้นผ่าศูนย์กลางมีการกระจายตัวมากขึ้น แต่การใช้อัตราการไหลที่ 0.01 ml/hr ทำให้การกระจายตัวของขนาดเส้นผ่าศูนย์กลางเฉลี่ยลดลง

2. การเพิ่มปริมาณ CA ส่งผลต่องานของส่วนที่ใช้ห่อหุ้มเส้นไน PEG ทำให้ส่วนที่ใช้ห่อหุ้มมีความหนาเพิ่มขึ้น เส้นไนมีการกระจายตัวของขนาดเส้นผ่าศูนย์กลางเพิ่มขึ้น มี

ผลทำให้ความต้านทานแรงดึงสูงสุดมีแนวโน้มเพิ่มขึ้น อีกทั้งยังส่งผลให้เปอร์เซ็นต์การปลดปล่อยยา GS ลดลง

### 5.1.3 เปรียบเทียบสมบัติเชิงกลและการปลดปล่อยยา GS จากแผ่นเส้นไนแบบง่ายและแผ่นเส้นไนแบบร่วมแกน

1. สมบัติเชิงกลของแผ่นเส้นไนแบบง่ายจะขึ้นอยู่กับความเข้ากันได้ระหว่าง PLA กับ CA แต่ในแผ่นเส้นไนแบบร่วมแกนจะขึ้นอยู่กับความหนาของส่วนที่ใช้ห่อหุ้มเส้นไน PEG

2. การปลดปล่อยยา GS ของแผ่นเส้นไนแบบง่ายจะสามารถควบคุมการปลดปล่อยยา GS ได้เมื่อผสม PEG น้ำหนักโมเลกุลต่ำ แต่ในแผ่นเส้นไนแบบร่วมแกน การควบคุมการปลดปล่อยยาจะขึ้นอยู่กับความหนาของส่วนที่ใช้ห่อหุ้มเส้นไน PEG ผสมยา GS

## 5.2 ข้อเสนอแนะ

5.2.1 ควรศึกษาค่าการละลายของ PLA และยา GS เพิ่มเติม เพื่อหาตัวทำละลายที่ดีกว่า การใช้ตัวทำละลาย DCM ผสม DMF ซึ่งจะส่งผลให้สารละลาย PLA ผสมยา GS ละลายเป็นเนื้อเดียวกันมากยิ่งขึ้น

5.2.2 เส้นไนที่เครี่ยม ได้ในแต่ละครั้งมีทิศทางการวางตัวของเส้นไนแตกต่างกัน และมีการกระจายตัวของค่าเบี่ยงเบนมาตรฐานค่อนข้างสูง เพราะเส้นไนที่เครี่ยม ไม่มีลักษณะเป็นเส้นไนไม่ถักทอ (Nonwoven mats) ดังนั้นเพื่อลดการกระจายตัวของค่าเบี่ยงเบนมาตรฐาน จะต้องทำให้เส้นไนมีลักษณะเป็นเส้นไนถักทอ (Woven mats) โดยการเปลี่ยนวัสดุรองรับเป็นแบบครัม (rotating drum) และควรที่จะตัดแผ่นเส้นไนเป็นแบบ Dog Bone แทนการตัดแบบสี่เหลี่ยมผืนผ้า เพื่อลดการกระจายตัวของค่าเบี่ยงเบนมาตรฐาน

5.2.3 ควรใช้วิธีการตรวจวัดการปลดปล่อยยาด้วยวิธีการอื่นๆ ที่ไม่ต้องนำยา GS มาทำปฏิกิริยากับสารก่อนการทดสอบการปลดปล่อยยา เพื่อลดขั้นตอนทดสอบการปลดปล่อยยา

5.2.4 การใช้ยา GS ที่เป็นสารละลายทำให้เกิดปัญหาคือ เมื่อต้องการเพิ่มปริมาณยา GS ปริมาณน้ำจะเพิ่มขึ้นด้วย ทำให้PEG ที่ใช้เป็นแกนในมีความหนืดลentoing เนื่องจากถูกละลายค่อนข้างมากขึ้น และส่งผลให้ความสามารถในการปั๊มเส้นไนด้วยไฟฟ้าลดต่ำลงร่วมแกนคล่อง ดังนั้น ถ้าใช้ GS แบบพุง การเพิ่มปริมาณ GS ในสารละลาย PEG (PEG ผสมน้ำ) จะง่ายขึ้นและความสามารถเพิ่มขึ้นของสารละลาย PEG ไม่เปลี่ยนแปลงมากนัก ส่งผลให้ความสามารถในการปั๊มเส้นไนด้วยไฟฟ้าลดต่ำลงร่วมแกนไม่เปลี่ยนแปลงมากนัก เช่นกัน

### បររលាយក្រម

- [1] Zheng-Ming Huang, et al. (2003). “A review on polymer nanofibers by electrospinning and their applications in nanocomposites.” **Composites Science and Technology** 63, 15 (November): 2223–2253.
- [2] Hai-Sheng Wang., Guo-Dong Fu., and Xin-Song Li. (2009) “Functional polymeric nanofibers from electrospinning.” **Recent Patents on Nanotechnology** 3, 1 (October): 21-31.
- [3] Agarwal, Seema Wendorff , Joachim H., and Greiner, Andreas. (2008) “Use of electrospinning technique for biomedical applications.” **Polymer** 49 (September): 5603–5621.
- [4] Liang, Dehai., Hsiao, Benjamin S., and Chu, Benjamin. (2007) “Functional electrospun nanofibrous scaffolds for biomedical applications.” **Advanced Drug Delivery Reviews** 59 (August): 1392–1412
- [5] Sun, Jinyuan., et al. (2010). “Nanofibers by green electrospinning of aqueous suspensions of biodegradable block copolymers for applications in medicine, pharmacy and agriculture.” **Macromolecular Rapid Communications** 31, 23 (December): 2077–2083.
- [6] Miao, Jianjun., et al. (2010) “Electrospinning of nanomaterials and applications in electronic components and devices.” **Journal of Nanoscience and Nanotechnology** 10, 9 5507–5519.
- [7] Lassalle, Veronica., and Ferreira, Maria Lujan. (2007) “PLA nano- and microparticles for drug delivery: an overview of the methods of preparation.” **Macromolecular Bioscience** 7 767-783.
- [8] Travis J. Sill., and Horst A. von Recum. (2008). “Electrospinning: applications in drug delivery and tissue engineering.” **Biomaterials** 29 (February): 1989-2006.

- [9] Pham, Quynh P., Sharma, Upma., and Mikos, Antonios G., (2006) “Electrospinning of polymeric nanofibers for tissue engineering applications: a review.” **Tissue Engineering** 12 1197-1211.
- [10] Ping Lu., and Bin Ding. (2008) “Applications of electrospun fibers.” **Recent Patents on Nanotechnology** 2 (June): 169-182.
- [11] Gupta, Bhuvanesh., Revagade, Nilesh., and Hilborn, Jns . (2007) “Poly(lactic acid) fiber: an overview.” **Progress in Polymer Science** 32 (January): 455-482.
- [12] Kenawy, El Refaie., et al. (2002) “Release of tetracycline hydrochloride from electrospun poly(ethylene-co-vinylacetate), poly(lactic acid), and a blend.” **Journal of Controlled Release** 81 (2002): 57–64.
- [13] Pakaphan Kiatchoosakun. et al. (2005) “Once-daily gentamicin dosing of 4 Mg/Kg/Dose in neonates.” **Journal of The Medical Association of Thailand** 88, 7 934-938.
- [14] GaHin Wang., et al. (2004) “The release of cefazolin and gentamicin from biodegradable PLA/PGA beads.” **International Journal of Pharmaceutics** 273 (January): 203–212.
- [15] Prior, S., et al. (2000) “Gentamicin encapsulation in PLA/PLGA microspheres in view of treatingb rucella infections.” **International Journal of Pharmaceutics** 196 (December): 115–125.
- [16] Y.-Y. Huang., and T.-W. Chung. (2001) “Microencapsulation of gentamicin in biodegradable PLA and/or PLA/PEG copolymer.” **Journal of Microencapsulation** 18, 4 (August): 457-465.
- [17] Naraharisetti, Pavan Kumar., et al. (2005). “Gentamicin-loaded discs and microspheres and their modifications: characterization and in vitro release.” **Journal of Controlled Release** 102 (November): 345–359.

- [18] Francis, Lydia., et al (2011) “Controlled delivery of gentamicin using poly(3-hydroxybutyrate) microspheres.” **International Journal of Molecular Sciences** 12 (July): 4294-4314.
- [19] Zilberman, M., et al. (2007) “Structured drug-eluting bioresorbable films: microstructure and release profile.” **Journal of Biomaterials Applications** 1-22.
- [20] Yi-You Huang., Tze-Wen Chung., and Tzeng-Wen Tzeng. (1997) “Drug release from PLA/PEG microparticulates.” **International Journal of Pharmaceutics** 156 (May): 9-15.
- [21] Yi-You Huang., Tze-Wen Chung., and Tzeng-Wen Tzeng. (1999) “A method using biodegradable polylactides/polyethylene glycol for drug release with reduced initial burst.” **International Journal of Pharmaceutics** 182 (February): 93–100.
- [22] Y. Hu., et al (2003) “Crystallization and phase separation in blends of high stereoregular poly(lactide) with poly(ethylene glycol).” **Polymer** 44 (July): 5681–5689.
- [23] Ahmed, Jasim., Varshney, Sunil K., and Auras, Rafeal. (2010) “Rheological and thermal properties of polylactide/silicate nanocomposites films.” **Journal of Food Science** 75 18-24.
- [24] Lim, L.-T., Auras, R., and Rubino, M. (2008) “Processing technologies for poly(lactic acid).” **Progress in Polymer Science** 33 (June): 820–852.
- [25] Weitao Zhou. et al. (2011) “Electrospun silk fibroin/cellulose acetate blend nanofibres: structure and properties.” **Iranian Polymer Journal** 20, 5 (August): 389-397.
- [26] Bruna, J. E., et al. “New polymeric materials based on cellulose acetate/MMTCU2+ for food packaging.” **International Conference on Food Innovation** 25-29 October 2010.
- [27] Weitao Zhou., et al. (2011) “Studies of electrospun cellulose acetate nanofibrous membranes.” **The Open Materials Science Journal** 5 51-55.

- [28] Orawan Suwantong., et al. (2007) “Electrospun cellulose acetate fiber mats containing curcumin and release characteristic of the herbal substance.” **Polymer** 48 (November): 7546-7557.
- [29] Chen, Liang., et al. (2008) “Electrospun cellulose acetate fibers containing chlorhexidine as a bactericide.” **Polymer** 49 (January): 1266-1275.
- [30] Sutana Sakulda., Tipaporn Yoovidhya., and Saowakon Wongsasulak. (2011). “Coaxial electrospinning and sustained release properties of gelatin-cellulose acetate core-shell ultrafine fibres.” **ScienceAsia** 37, 4 (December): 335-343.
- [31] Kumar, Ashok. (2010) **Nanofibers**. India: Intech.
- [32] Han, Daewoo., Boyce, Steven T., and Steck, Andrew J., (2008) “Versatile core-sheath biofibers using coaxial electrospinning.” **Materials Research Society Symposium Proceedings** 1094 1-6.
- [33] Dong-zhi YANG., et al. (2008) “Release of lysozyme from electrospun PVA/lysozyme-gelatin scaffolds.” **Frontiers of Materials Science in China** 2, 3 (May): 264- 265.
- [34] Chuang-Long He., et al (2006) “Coaxial electrospun poly(l-lactic acid) ultrafine fibers for sustained drug delivery.” **Journal of Macromolecular Science, Part B: Physics** 45 515–524.
- [35] Zhang Hong., et al. (2010) “Electrospinning of ultrafine core/shell fibers for biomedical applications.” **Science China Chemistry** 53, 6 (June) : 1246–1254.
- [36] Yan Su., et al. (2009) “Fabrication and characterization of biodegradable nanofibrous mats by mix and coaxial electrospinning.” **Journal of Materials Science: Materials in Medicine** 20 (July): 2285–2294.
- [37] Pillin, Isabelle., et.al. (2006). “Thermo-mechanical characterization of plasticized PLA: is the miscibility the only significant factor?.” **Polymer** 47 (May): 4676–4682.
- [38] Harrane, Amine., et al. (2011). “PLA-based biodegradable and tunable soft elastomers for biomedical applications.” **Biomedical Materials** 6, 6 (November).

- [39] Lasprilla, J.R. Astrid., et.al. (2012). “Poly-lactic acid synthesis for application in biomedical devices - a review.” **Biotechnology Advances** 30, 6 (January-February): 321-328.
- [40] Hofmann, Gunther O., et.al. (1997). “Biomechanical evaluation of a bioresorbable PLA dowel for arthroscopic surgery of the shoulder.” **Biomaterials** 18, 21 (November): 1441-1446.
- [41] Ignatova, Milena., et.al. (2009). “Electrospun non-woven nanofibrous hybrid mats based on chitosan and PLA for wound-dressing applications.” **Macromolecular Bioscience** 9, 1 (January): 102-111.
- [42] Henning, Torsten. (2002). **Smooth operators : PEG**. Accessed August 24. Available from [http://lib3.dss.go.th/fulltext/Abstract/C1/C1\\_40.pdf](http://lib3.dss.go.th/fulltext/Abstract/C1/C1_40.pdf).
- [43] Sigma-aldrich. (2009). **Cellulose acetate** Accessed 8 April. Available from [http://www.sigmaaldrich.com/catalog/ProductDetail.do?lang=en&N4=180955|ALDRICH&N5=SEARCH\\_CONCAT\\_PNO|BRAND\\_KEY&F=SPEC](http://www.sigmaaldrich.com/catalog/ProductDetail.do?lang=en&N4=180955|ALDRICH&N5=SEARCH_CONCAT_PNO|BRAND_KEY&F=SPEC)
- [44] คณะกรรมการจัดทำพจนานุกรมศัพท์ปีโตรเคมีและพอลิเมอร์, (2551).. เ渣ลคูโลสอะซีเตต ใน พจนานุกรมศัพท์พอลิเมอร์ฉบับราชบัณฑิตยสถาน. กรุงเทพฯ: บริษัทแปลนพรินติ้ง จำกัด.
- [45] Dumitriu, Severian. (1996) **Polysaccharides in medicinal applications** New York: Marcel Dekker.
- [46] Curiel, Harold., et al. (2007) “Analysis of underivatized gentamicin by capillary electrophoresis with UV detection.” **Journal of Pharmaceutical and Biomedical Analysis** 44 (January): 49–56.
- [47] Wikipedia the free encyclopedia. (2009). **Gentamicin**. Accessed 24 April. Available from <http://en.wikipedia.org/wiki/Gentamicin>.
- [48] Wikipedia the free encyclopedia. (2009). **Aminoglycoside**. Accessed 24 April. Available from <http://en.wikipedia.org/wiki/Aminoglycoside>.

- [49].Doshi, Jayesh., and Renker, Darrell H. (1995). “Electrospinning process and applications of electrospun fibers.” **Journal of Electrostatics** 35, 2-3 (August): 151-160.
- [50] นัฐธัญ เจริญศรีวิไลวัฒน์ และประณิต โอบนະ โสกิต. (2551). “การประยุกต์ใช้อิเล็กโทรสปิน นิ่งพอลิเมอร์นาโนไฟเบอร์” บทความฟื้นฟูวิชาการ สำหรับการศึกษาต่อเนื่องทาง เกสัชศาสตร์ 4, 2 (ธันวาคม): 1-14.
- [51] Small & Strong Materials Group. (2552). **สาระน่ารู้ Electrospinning ตอนที่ 2.** เข้าถึงเมื่อ 2 เมษายน. เข้าถึงได้จาก <http://nano.kku.ac.th/ssmg/?q=node/35>
- [52] เดิศพงษ์ บุญชู (2548) “การพัฒนาระบบวัดความไวของแบคทีเรียต่อสารต้านจลน์ชีพโดยเทคนิค Disc Diffusion” วิทยานิพนธ์ปริญญาวิทยาศาสตรมหาบัณฑิต สาขาวิชาอุปกรณ์ การแพทย์ ภาควิชาฟิสิกส์อุตสาหกรรมและอุปกรณ์การแพทย์ สถาบันเทคโนโลยีพระ จอมเกล้าฯ พระนครเหนือ
- [53] F. Yang., et al. (2005). “Electrospinning of nano/micro scale poly(l-lactic acid) aligned fibers and their potential in neural tissue engineering.” **Biomaterials** 26, 15 (November): 2603-2610.
- [54] Kwangsok Kim., et al. (2004). “Incorporation and controlled release of a hydrophilic antibiotic using poly(lactide-co-glycolide)-based electrospun nanofibrous scaffolds” **Journal of Controlled Release** 98 (April): 47– 56.
- [55] Xiuling Xu. et al. (2005). “Ultrafine medicated fibers electrospun from W/O emulsions” **Journal of Controlled Release** 108 (September): 33-42.
- [56] P. Frutos. et al. (2000). “A validated quantitative colorimetric assay for gentamicin.” **Journal of Pharmaceutical and Biomedical Analysis** 21 (July): 1149–1159.
- [57] H.-I. Chang. et al. (2008). “Controlled release of an antibiotic, gentamicin sulphate, from gravity spun polycaprolactone fibers.” **Journal of Biomedical Materials Research Part A.** 84A, 1 (January): 230-237.
- [58] Orawan Suwantong., Uracha Ruktanonchai., and Pitt Supaphol. (2008). “Electrospun cellulose acetate fiber mats containing asiaticoside or centellaasiatica crude

- extract and the release characteristics of asiaticoside.” **Polymer** 49 (July 19): 4239–4247.
- [59] C. Schmidt., et al. (1995). “Antibiotic in vivo/in vitro release, histocompatibility and biodegradation of gentamicin implants based on lactic acid polymers and copolymers.” **Journal of Controlled Release** 37 (April): 83-94.
- [60] ศักดิ์ แซ่บวงศ์ และคณะ (2552). “การเตรียมและการพิสูจน์เอกสารของแผ่นเส้นไยพสม พอลิแลคติกแอคทิก-พอลิอ็อกโซฮิลิน ไกลคอลเพื่อใช้สำหรับการนำส่งยาเจนตามวัชชินด้วยเทคนิคการปั๊มเส้นไยด้วยไฟฟ้าสถิตย์.” วิทยานิพนธ์ปริญญาวิศวกรรมศาสตร์บัณฑิต สาขาวิชาปีโตรเคมีและวัสดุพอลิเมอร์ ภาควิชาวิทยาการและวิศวกรรมวัสดุ มหาวิทยาลัยศิลปากร.
- [61] Ramakrishna, Seeram. et al. (2005). **An Introduction to Electrospinning and Nanofibers.** Singapore: World Scientific Publishing.
- [62] M.Y. Krasko. et al. (2006). “Gentamicin extended release from an injectable polymeric implant” **Journal of Controlled Release** 117 (October): 90–96.
- [63] Yamagushi, Masayuki., et.al. (2010). “Modification of orientation birefringence of cellulose ester by addition of poly(lactic acid).” **European Polymer Journal** 46, 12 (December): 2269-2274.
- [64] Kasinee Hemvichian, Naotsugu Nagasawa and Masao Tamada (2009) “Effects of radiation-induced crosslinking on the thermal stability of polylactic acid and cellulose acetate blends.” **Conference on Nuclear Science and Technology**, PC05-1-PC05-10. July 2-3.
- [65] Walenkamp, Geert H I M. (2007) **Local Antibiotics in Arthroplasty: State of the Art from an interdisciplinary point of view** Stuttgart: Georg Thieme Verlag.
- [66] กิตติพงษ์ พนิคชัยศักดิ์ และคณะ (2549). “อิทธิพลของฟิล์มเคลือบต่อ การปลดปล่อยตัวยาที่ละลายน้ำได้เนื้อยางามีเดคօส โนดิกปีมชนิดรูปrun.” วิทยานิพนธ์ปริญญาเอกสัชศาสตร์บัณฑิต คณะเภสัชศาสตร์ มหาวิทยาลัยมหิดล.

- [67] เสิร์ฟพงษ์ นุญชู. (2548). “การพัฒนาระบบวัดความไวของแบนกีเรียต่อสารต้านจุลชีพโดยเทคนิค Disc Diffusion.” วิทยานิพนธ์วิทยาศาสตร์มหาบัณฑิต ภาควิชาฟิสิกส์ อุตสาหกรรมและอุปกรณ์การแพทย์ มหาวิทยาลัยเทคโนโลยีพระจอมเกล้าฯ พระนครเหนือ
- [68] Kumari, Sudarshan., and Ichhpujani, R.L. (2000) **Guidelines on Standard Operating Procedures for Microbiology** New Delhi SEARO WHO.
- [69] Chuang-long He. et al. (2006). “Coaxial electrospun poly(l-lactic acid) ultrafine fibers for sustained drug delivery.” **Journal of Macromolecular Science, Part B: Physics** 45 (January): 515–524.

ភាគី

ภาคผนวก ก  
ตัวอย่างการคำนวณการเตรียมสารละลายน้ำมันเครื่อง

### การเตรียมสารละลาย PLA ปริมาณ 200 g ที่ความเข้มข้น 10 wt.%

ในการเตรียมสารละลาย PLA ปริมาณ 200 g จะต้องซึ่งเม็ดพลาสติก PLA ปริมาณ  $200 \times \frac{10}{100} = 20$  g ส่วนตัวทำละลาย DCM:DMF ที่ใช้จะเตรียมในอัตราส่วนคงที่ที่ 70:30 เพื่อใช้ละลาย PLA โดยซึ่ง DCM  $200 \times \frac{70}{100} = 140$  g และซึ่ง DMF  $200 \times \frac{30}{100} = 60$  g นำตัวทำละลาย DCM ผสม DMF และเติมลงใน PLA ปริมาณ 20 – (140+60) = 180 g ก็จะได้สารละลาย PLA ปริมาณ 200 g ที่ความเข้มข้น 10 wt.%

### การเตรียมสารละลาย PLA ผสม CA 1 wt.% ในปริมาณ 200 g

ในการเตรียมสารละลาย PLA ผสม CA จะต้องคงที่ปริมาณ PLA ไว้ที่ความเข้มข้น 10 wt.% แสดงว่าถ้าต้องเตรียมสารละลาย PLA ผสม CA ในปริมาณ 200 g จะต้องซึ่ง PLA 20 g ส่วนการซึ่ง CA จะให้คิดจากน้ำหนักของพอลิเมอร์ทั้งหมดที่ใช้ โดยให้ PLA 20 g เท่ากับ 99% ของพอลิเมอร์ทั้งหมดที่ใช้ ซึ่งจะได้พอลิเมอร์ทั้งหมดเท่ากับ  $\frac{20}{99} \times 100 = 20.202$  g ดังนั้น ปริมาณ CA ที่ต้องซึ่งจะเท่ากับ  $20.202 - 20 = 0.202$  g และเติมตัวทำละลาย DCM ผสม DMF ที่อัตราส่วน 70 : 30 ให้มีน้ำหนักรวมเท่ากับ  $200 - 20.202 = 179.798$  g ก็จะได้สารละลาย PLA ผสม CA 1 wt.% ในปริมาณ 200 g

### การเตรียมสารละลายพอลิเมอร์ที่มีการเติมยา GS

ปริมาณยา GS ที่ใช้จะคงที่การเติมที่ 0.1 %wt ของน้ำหนักสารละลายพอลิเมอร์ทั้งหมดถ้าเตรียมสารละลายพอลิเมอร์ 200 g จะต้องใช้ยา  $\frac{0.1}{100} \times 200 = 0.2$  g หรือเท่ากับ 200 mg แต่ยา GS เป็นสารละลายบรรจุอยู่ในแอมพลูปริมาณ 2 ml ที่ความเข้มข้น 40 mg/ml ดังนั้น ถ้าต้องการใช้ยาปริมาณ 200 mg จะต้องเติมยาในสารละลายพอลิเมอร์  $\frac{1}{40} \times 200 = 5$  ml

ภาคผนวก ๖  
ข้อมูลการทดสอบ

ตารางที่ ข.1 ค่าความหนืดของสารละลายน้ำ CA และ PLA ผสม CA ที่ปริมาณ 1, 3, 5, 7, 10, 20, 30 และ 40 wt.% ที่ไม่มีการเติมยา GS

	Viscosity (mPa.s)	SD.
PLA	167	2.1
PLA/CA1	331	22.7
PLA/CA3	362	25.6
PLA/CA5	398	24.9
PLA/CA7	408	2.3
PLA/CA10	429	16.3
PLA/CA20	785	36.8
PLA/CA30	1454	185.3
PLA/CA40	3860	424.3

ตารางที่ ข.2 ค่าความหนืดของสารละลายน้ำ CA และ PLA ผสม CA ที่ปริมาณ 1 และ 3 wt.% ที่มีการเติมยา GS

	Viscosity (mPa.s)	SD.
PLA/GS	283	0.8
PLA/CA1/GS	266	0.9
PLA/CA3/GS	293	11.3

ตารางที่ ข.3 ค่าการนำไฟฟ้าของสารละลายน้ำ CA และ PLA ผสม CA ที่ปริมาณ 1, 3, 5, 7, 10, 20, 30 และ 40 wt.% ที่ไม่มีการเติมยา GS

	Conductivity ( S/cm)	SD.
PLA	1.17	0.021
PLA/CA1	1.03	0.073
PLA/CA3	1.12	0.073
PLA/CA5	1.17	0.075
PLA/CA7	1.30	0.002
PLA/CA10	1.53	0.184
PLA/CA20	1.87	0.083

PLA/CA30	2.07	0.008
PLA/CA40	2.25	0.103

ตารางที่ ข.4 ค่าการนำไฟฟ้าของสารละลายน้ำ CA และ PLA ผสม CA ที่ปริมาณ 1 และ 3 wt.% ที่มีการเติมยา GS

	Conductivity ( S/cm)	SD.
PLA/GS	12.15	0.055
PLA/CA1/GS	11.54	0.225
PLA/CA3/GS	10.33	0.305

ตารางที่ ข.5 เส้นผ่านศูนย์กลางเฉลี่ยของแผ่นเส้นใย PLA และ PLA ผสม CA ที่ปริมาณ 1, 3, 5, 7, 10, 20, 30 และ 40 wt.% ที่ไม่มีการเติมยา GS

	Average diameter ( m)	SD.
PLA	0.73	0.103
PLA/CA1	0.95	0.187
PLA/CA3	0.80	0.073
PLA/CA5	0.91	0.191
PLA/CA7	1.09	0.138
PLA/CA10	1.15	0.151
PLA/CA20	1.04	0.148
PLA/CA30	1.10	0.132
PLA/CA40	1.89	0.426

ตารางที่ ข.6 เส้นผ่านศูนย์กลางเฉลี่ยของแผ่นเส้นใย PLA และ PLA ผสม CA ที่ปริมาณ 1 และ 3 wt.% ที่มีการเติมยา GS

	Average diameter ( m)	SD.
PLA/GS	0.747	0.128
PLA/CA1/GS	0.767	0.106
PLA/CA3/GS	0.727	0.099

ตารางที่ ข.7 ความหนาเฉลี่ยของแผ่นเส้นใย PLA และ PLA ผสม CA ที่ปริมาณ 1, 3 และ 5 wt.%

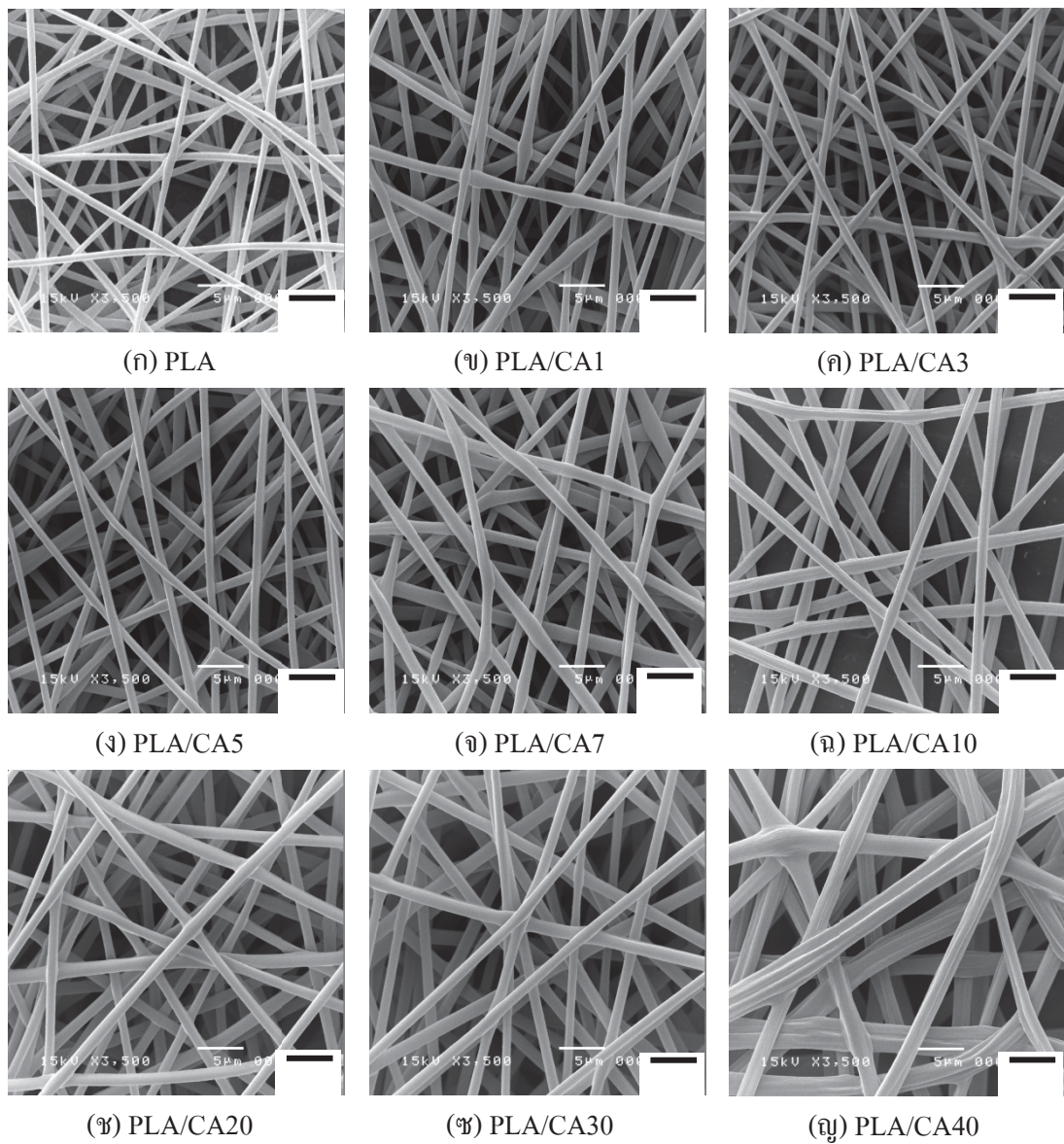
	Thickness ( m)	SD.
PLA	0.043	0.016
PLA/CA1	0.058	0.014
PLA/CA3	0.061	0.009
PLA/CA5	0.055	0.009

ตารางที่ ข.8 ค่าความถ่วงจำเพาะของแผ่นเส้นใย PLA และ PLA ผสม CA ที่ปริมาณ 1, 3 และ 5 wt.%

	Specific gravity	SD.
PLA	1.48	0.28
PLA/CA1	1.29	0.18
PLA/CA3	1.28	0.13
PLA/CA5	1.26	0.18

ตารางที่ ข.9 สมบัติเชิงกลของแผ่นเส้นใย PLA และ PLA ผสม CA ที่ปริมาณ 1, 3 และ 5 wt.%

	Ultimate tensile strength		% Strain at maximum load		Young's modulus	
	Normaliz e	Non- normalize	Normalize	Non- normalize	Normalize	Non- normalize
PLA	3.10±0.32	2.10±0.22	122.27±24.47	82.77±16.57	76.19±4.57	51.58±3.09
PLA/CA1	2.71±0.20	2.10±0.15	123.60±18.52	95.73±14.34	87.67±5.73	67.90±4.44
PLA/CA3	2.53±0.14	1.98±0.11	122.15±21.32	95.60±16.69	93.52±7.68	73.19±6.01
PLA/CA5	1.75±0.07	1.39±0.05	78.14±14.35	61.85±11.36	68.59±6.20	54.30±4.90



ภาพที่ ๔.1 SEM micrographs ของเส้นใย PLA และ PLA ผสม CA ที่ปริมาณ ก) 1, ψ) 3, κ) 5, ι) 7, ψ) 10, η) 20, ψ) 30 และ η) 40 wt.% ที่กำลังขยาย 3,500 เท่า

ตารางที่ ๔.๑๐ ความหนาเฉลี่ยของแผ่นเส้นใย sPLA-cPEG, sPLA/CA1-cPEG และ sPLA/CA3-cPEG

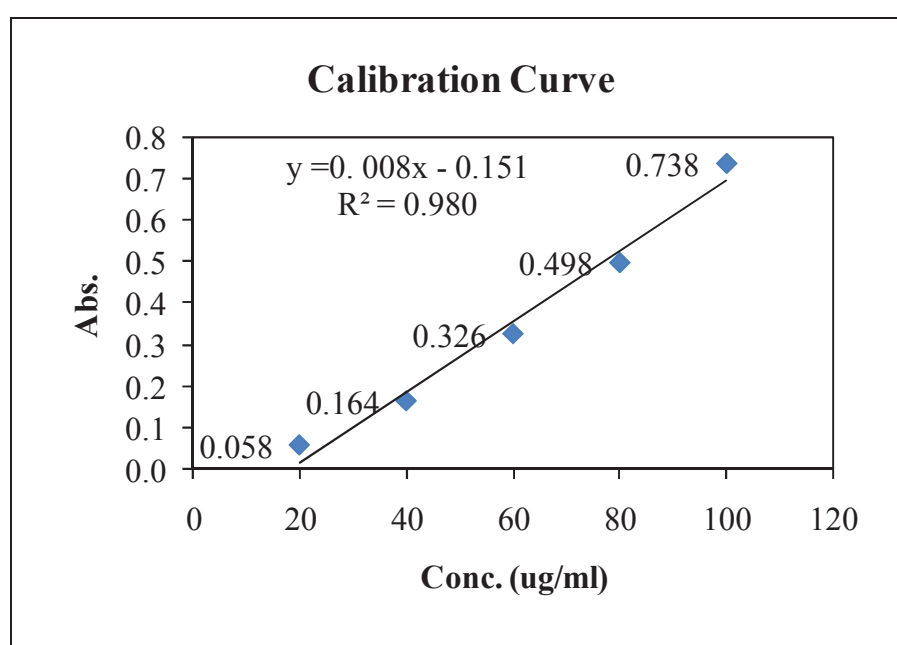
	Thickness ( m)	SD.
sPLA-cPEG	0.062	0.027
sPLA/CA1-cPEG	0.050	0.010
sPLA/CA3-cPEG	0.064	0.020

ตารางที่ ข.11 ค่าความถ่วงจำเพาะของแผ่นเส้นใย sPLA-cPEG, sPLA/CA1-cPEG และ sPLA/CA3-cPEG

	Specific gravity	SD.
sPLA-cPEG	1.37	0.27
sPLA/CA1-cPEG	1.32	0.27
sPLA/CA3-cPEG	1.38	0.16

ตารางที่ ข.12 สมบัติเชิงกลของแผ่นเส้นใย sPLA-cPEG, sPLA/CA1-cPEG และ sPLA/CA3-cPEG

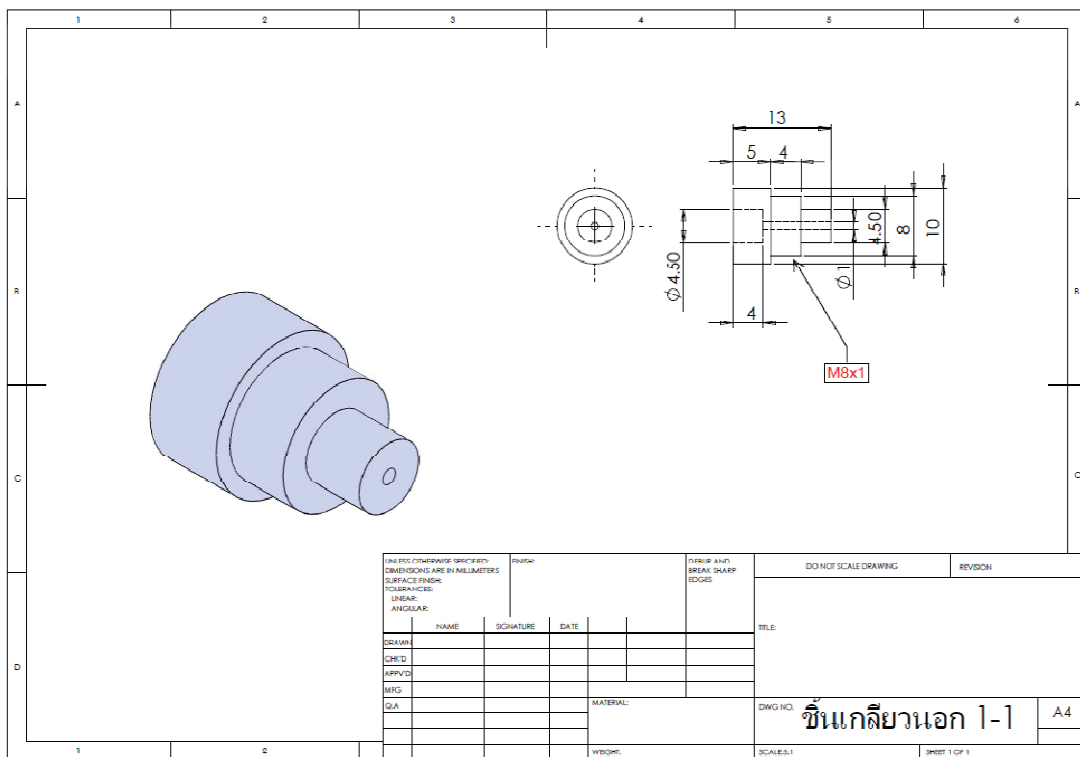
	Ultimate tensile strength		% Strain at maximum load		Young's modulus	
	Normalize	Non-normalize	Normalize	Non-normalize	Normalize	Non-normalize
sPLA-cPEG	1.28±0.18	1.75±0.25	29.46±10.10	40.28±13.80	57.61±4.04	78.76±5.52
sPLA/CA1-cPEG	1.45±0.18	1.92±0.18	17.18±4.05	22.69±5.34	59.95±6.43	79.20±8.49
sPLA/CA3-cPEG	1.72±0.12	2.37±0.17	24.30±7.40	33.49±10.19	38.79±5.40	53.44±7.45



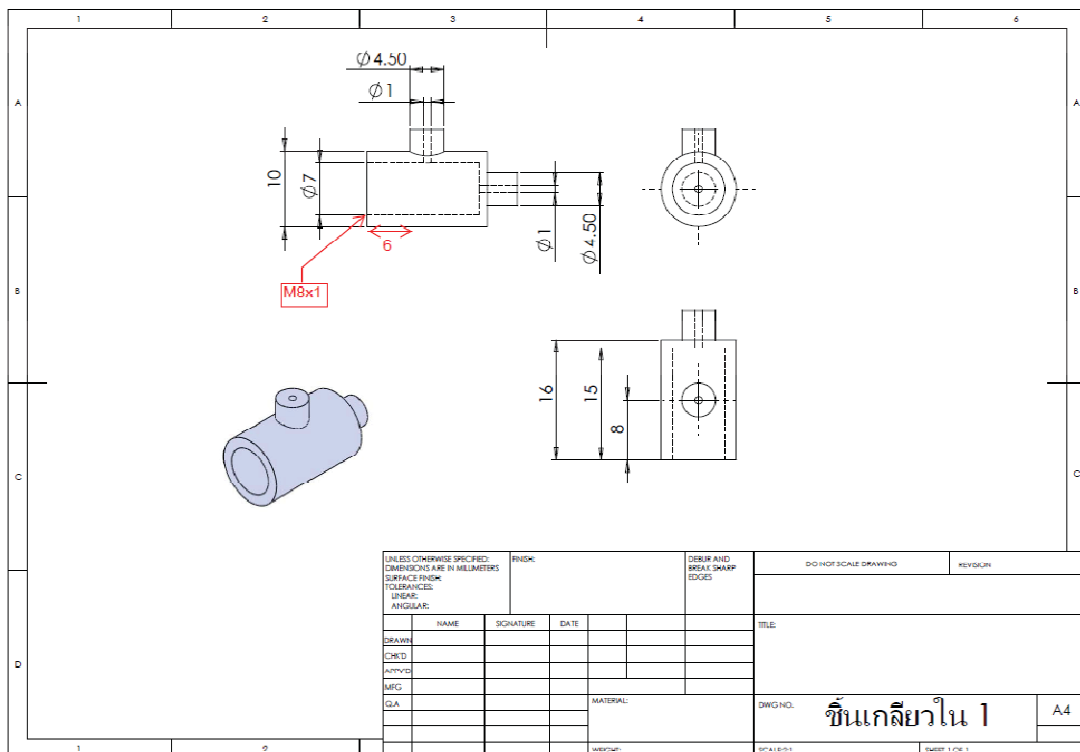
ภาพที่ ข.2 กราฟแสดงความสัมพันธ์ระหว่างความเข้มข้นของยา GS ที่ทราบความเข้มข้นกับค่าการดูดซับรังสียูวีที่ความยาวคลื่น 400 nm

## ภาคผนวก ๑

ตัวจับยึดเบ็มฉีดยาโลหะ (Coaxial holder)



ภาพที่ ค.1 ขนาดชิ้นส่วนเกลี้ยวนอกของตัวจับยึดเข็มปืนด้วยโลหะ



ภาพที่ ค.2 ขนาดชิ้นส่วนเกลี้ยวนอกของตัวจับยึดเข็มปืนด้วยโลหะ

### ประวัติผู้วิจัย

ชื่อ-สกุล ที่อยู่	นายกรีบี วิชิตโชค 82 ซอยโภสรุณ ใจ 7 แขวงค่อนเมือง เขตค่อนเมือง กรุงเทพมหานคร 10210
----------------------	--

#### ประวัติการศึกษา

พ.ศ. 2550	สำเร็จการศึกษาปริญญาวิศวกรรมศาสตรบัณฑิต สาขาวิศวกรรมพลาสติก จากมหาวิทยาลัยเทคโนโลยีราชมงคลชั้นนำ
พ.ศ. 2551	ศึกษาต่อระดับปริญญาโทที่สาขาวิชาการและวิศวกรรมพอลิเมอร์ มหาวิทยาลัยศิลปากร

#### ทุนที่ได้รับระหว่างการศึกษา

พ.ศ. 2551-2552 ทุนผู้ช่วยอาจารย์รายวิชา Polymer Technology Laboratory, Polymer Science Laboratory และ Chemical Engineering Laboratory ภาควิชาวิทยาการและวิศวกรรมวัสดุ คณะวิศวกรรมศาสตร์และเทคโนโลยีอุตสาหกรรม มหาวิทยาลัยศิลปากร

#### ผลงานวิจัย

1. Koravee Vichitchote, Poonsub Threepopnatkul, SakSaewong, Thongchai Tangsupanan, and Supakij Suttiruengwong. “Effect of PEG Content on Morphology and In-Vitro Drug release of Electrospun PLA/PEG Fiber Mats” 14<sup>TH</sup> European Conference on Composite Materials (ECCM-14), Budapest, Hungary, 7-10 June 2010.
2. Koravee Vichitchote, Poonsub Threepopnatkul, Sak Saewong, Thongchai Tangsupanan, Chanin Kulsetthanchalee, and Supakij Suttiruengwong. “Effect of PEG on Mechanical Property and Antibacterial of Electrospun PLA Mats” The Sixth Thailand Materials Science and Technology Conference (MSAT-6), Bangkok, Thailand 26-27 August 2010